Universidad de Costa Rica

Facultad de Ciencias

Escuela de Biología

Comportamiento reproductivo y crecimiento de la tilapia aurea (Oreochromis aureus Steindachner) a altas densidades de siembra y en condiciones de cultivo semi-intensivas.

Práctica dirigida presentada para optar al título de Dicenciado en Biología

por

Antonio Porras Porras

Práctica dirigida presentada en la Escuela de Biología, de la Universidad de Costa Rica, como requisito parcial para optar al grado de Licenciatura en Biología.

Aprobada Myrna I. Lopez S., Lic. Directora de Práctica dirigida Alvaro Castaing R., M.Sc. Subdirector Escuela de Biología Pedro León A., Dr. Miembro de Tribunal Carlos Villalobos S., M.Sc. Miembro de Tribunal Miembro de Tribunal

Sustentante

Antonio Porras Porras

Reconocimiento

Al Ministerio de Agricultura y Ganadería, a través del Departamento de Acuacultura por las facilidades brindadas para la realización de este trabajo.

A la Fundación Internacional para la Ciencia (I.F.S.) por su apoyo económico.

A la Lic. Myrna I. López S. por su apoyo y orientación en este trabajo de graduación.

Al Dr. Pedro León A., al Lic. Juan Bautista Chavarría y a los señores miembros del Comité Asesor y Tribunal de Traba jo de graduación por su tiempo, sugerencias y comentarios.

Al Centro Regional Latinoamericano de Acuicultura y su cuerpo docente, por las enseñanzas inculcadas.

A la Lic. Auxiliadora Vargas Méndez por su ayuda en la revisión gramatical de este trabajo.

A la Bióloga Nazareth Vargas Aragonés por su colaboración y comentarios hechos a esta investigación.

A mis compañeros de trabajo, profesores y familiares que me estimularon a seguir adelante.

INDICE

Pacela de moduración gombost	PAGINA
Tribunal examinador	ii
Reconocimiento	iii
Indice	iv
Lista de figuras	vi
Lista de cuadros	xi
Resumen	
	xiv
Introducción	1
Objetivos	9
Materiales y método	10
Recolección	10
Análisis de datos	13
Relación Peso total y tamaño total	15
Curva de crecimiento en tamaño	9 18
Curva de crecimiento en peso	22
Curva de biomasa	24
Escala de desarrollo gonadal	
	27
Resultados y discusión	28
Análisis de datos	28
Relación peso total y tamaño total	29
Curva de crecimiento en tamaño	32
Curva de crecimiento en peso	39
Curva de biomasa	40
Ciclo reproductivo	/I/C

		PAGINA
Descrip	ción de gónadas	46
Escala	de maduración gonadal	47
Conclus	iones	54
Bibliog	rafía	
	Constant of the restant of the party of the same of th	65
	- Dodala (F.) Me or an analysis of the second secon	79
3	Relación Linear entre el la del peco sotal	73
	Andero 16 2	
	Verteción de los valdos estimados del nará	
	Vertaciones de los velores estimados del fec	83
	die er et instance B +45 (E, , ,) y en el	

Lista de figuras

FIGURA	No	PAGTNA
1	Curva de la relación peso total (Wm)/tamaño	
	total (Lm) de O. aureus. Ensayo No 1	79
2	Curva de la relación peso total (Wm)/tamaño	
	total (\bar{L}_{T}) de O. aureus. Ensayo No 2	80
3	Relación linear entre el ln del peso total	
	medio y el tamaño total medio de O. aureus.	
	Ensayo 1	81
4	Relación linear entre el ln del peso total	
	medio y el tamaño total medio de O. aureus	
	Ensayo Nº 2	82
5	Variación de los valores estimados del pará_	
	metro θ en relación a las diferentes densi_	
	dades de siembra de O. aureus	° 83
6	Variaciones de los valores estimados del fac	
	tor de condición (Ø) en relación a las dife_	
	rentes densidades de siembra de O. aureus	84
7	Variación de valores estimados del factor de	
	condición corregido (Ø) en función del tiem	
	po de cultivo de O. aureus en las diferentes	
	densidades de siembra	85
8	Relación linear entre el tamaño total prome	
	dio en el linstante T + Δ T (\bar{L}_{T} + Δ T) y en el	
	instante T (Lm) de O. aureus, en las	

FIGURA	N ^o Carrier de la carrier de	PAGIN
	diferentes densidades de siembra. Ensayo	
	N° 1	. 86
9	Relación linear entre el tamaño total medio	
	en el instante T + A T(L_{T+AT}) y en el instante	е
# # # # # # # # # # # # # # # # # # #	T (\bar{L}_T) de O. aureus, en las diferentes den_	
	sidades de siembra. Ensayo Nº2	. 87
10	Relación linear entre el tamaño relativo	
	(LT) y el tiempo relativo de cultivo (T*) de	
	O. aureus en las diferentes densidades de	
	siembra. Ensayo Nº 1	. 88
11	Relación linear entre el tamaño relativo	
	(LT) y el tiempo relativo de cultivo (T*)	
	de O. aureus en las diferentes densidades	
	de siembra. Ensayo Nº 2	. 89
12	Curva de crecimiento de O. aureus. Ensayo	•
	Nº 1. Densidad 5 peces por metro cuadrado	. 90
13	Curva de crecimiento de O. aureus. Ensa_	*
	yo No 1. Densidad 10 peces por metro cua_	
	drado	. 91
14	Curva de crecimiento de O. aureus. Ensayo	
	Nº1. Densidad 15 peces por metro cuadrado	. 92
15 .	Curva de crecimiento de O. aureus. Ensayo	
	Nº2. Densidad 5 peces por metro cuadrado	93

16 Curva de crecimiento de O. aureus. Ensayo

Nº2. Densidad 10 peces por metro cuadrado.. 94

17 .	Curva de crecimiento de O. aureus. Ensayo
	N°2. Densidad 15 peces por metro cuadrado 95
18	Variación de los valores estimados del ta
	maño máximo (L, y del factor de condición
	medio (0) en relación a las diferentes den
	sidades de siembra de O. aureus 96
19	Variación de los valores estimados del peso
	total máximo (No) en relación a las diferen
	tes densidades de siembra de O. aureus 97
20a	Variación de los valores estimados del pará
	metro K en relación a los respectivos valo
	res de L en las diferentes densidades de
	siembra de O. aureus
20Ъ	Variación de los valores estimados del pará
	metro K en relación a los respectivos valo
	res de Was en las diferentes densidades de
	siembra de O. aureus 98
21	Curva de biomasa (Bp) de O. aureus. Ensayo
	Nº1. Densidad de 5 peces por metro cuadrado. 99
22	Curva de biomasa (Bm) de O. aureus. Ensayo
	Nº1. Densidad 10 peces por metro cuadrado 100
23	Curva de biomasa (Bp) de O. aureus. Ensayo
	N°1. Densidad 15 peces por metro cuadrado 101
24	Curva de biomasa (Bp) de O. aureus. Ensayo
	Nº2. Densidad de 5 peces por metro cuadrado.102
25	Curva de biomasa (Bm) de O. aureus. Ensayo

FIGURA	N ^o	GINA
	Nº2. Densidad 10 peces por metro cuadrado	103
26	Curva de biomasa (B _T) de O. aureus. Ensayo	
	Nº2. Densidad 15 peces por metro cuadrado	104
27	Variación de los valores estimados de bio	
	masa máxima (Bm), tiempo de biomasa máxima	
	(T_{Bm}) e indice de rendimiento en biomasa (I_{B})	
	de siembra	105
28	Variación de la temperatura media en grados	
	centigrados (T °C) en función del tiempo de	
	cultivo para las diferentes densidades de	
	siembra de O. aureus. Ensayo Nº1	106
29	Variación de la temperatura media en grados	
	centígrados (T °C) en función del tiempo de	
	cultivo para las diferentes densidades de	
	siembra de O. aureus. Ensayo Nº 2	107
30a	Variación del diámetro de los ovocitos estu	
	diados en gónadas de Oreochromis aureus con	
	respecto a sus frecuencias 1	08
30ъ	Variación del diámetro de los ovocitos estu	
	diados en gónadas de Oreochromis aureus con	
	respecto a sus frecuencias 1	09
31	Variación del diámetro de los ovocitos para	
	los diferentes estadios de desarrollo gona_	
	dal de Oreochromis aureus 1	10

FIGURA	No Etare de quadros	PAGINA
32	Variación de los valores promedios del	
	I.G.S. para los estadios de desarrollo gona	
	dal de hembras de O. aureus	
33	Enlaces endocrinos de la cadena entre la	
	recepción de los estímulos ambientales y	
	la ovulación. Tomado de Harvey and Hoar	
	(1980)	. 112
	missibpa	
		•
	rregido" (Ø) obtenido regiante el valor esti	
		. 60
	relaciones paso total tapaso total medica v	

Lista de cuadros

CUADRO	N ^O PAGINA
1	Datos de tamaño total medio (\overline{L}_{T}) y peso total
	medio ($\overline{\mathbb{W}}_{\mathrm{T}}$) de los ejemplares de <u>Oreochromis</u>
	aureus muestreados, quincenalmente, en ensa
	yo sobre el cultivo a altas densidades de
	siembra 65
2	Información general sobre el cultivo de Oreo
	chromis aureus a diferentes densidades 66
3	Datos de las regresiones entre los logaritmos
	naturales de LT y WT, para Oreochromis aureus
	en los cultivos a diferentes densidades de
	siembra 68
4	Parámetros Ø y O de la relación peso total-
	tamaño total y factor de condición medio "co .
19	rregido" $(\bar{\emptyset})$ obtenido mediante el valor esti
	mado de 0 total, de Oreochromis aureus, en
	las diferentes densidades de siembra 69
5	Valores quincenales del factor de condición
	$(\bar{p} \ 10^{-2})$ estimados a partir del valor de θ
	considerado constante para Oreochronis aureus
	en las diferentes densidades de siembra 70
6	Expresiones matemáticas de las curvas de las
	relaciones peso total-tamaño total medios y
	de las rectas de las regresiones lineares

CUADRO	No

T	100	0	-	-	14	-3
P	H	U	1	1	¥	A

	entre los logaritmos de esas variables, es
	tablecidas para Oreochromis aureus en culti
	vos a altas densidades de siembra 71
7	Regresiones lineales de la transformación
	de Ford-Walford: $\overline{L}_{T+\Delta T} = f(\overline{L}_{T})$ y de la re_
	lación entre los tamaños relativos La y los
	respectivos tiempos relativos de cultivo T*,
	con los valores estimados del coeficiente de
	correlación lineal de Pearson (r), para O.
	aureus, en las diferentes densidades de siem
	bra 72
8	Expresiones matemáticas de las curvas de cre
	cimiento en tamaño ($\overline{\mathbb{L}}_{\mathrm{T}}$) y en peso ($\overline{\mathbb{W}}_{\mathrm{T}}$) de
	O. aureus en las diferentes densidades de
	siembra 73
9	Expresiones matemáticas de las curvas de bio
	masa (B _T) de <u>O</u> . <u>aureus</u> en las diferentes de <u>n</u>
	sidades de siembra 74
10	Valores estinados de los parámetros Bm (va_
	lor teórico de biomasa máxima esperada), TB
	(tiempo requerido para alcanzar la biomasa
	máxima) e I (índice de rendimiento en bio_
	masa) obtenidos de los ensayos de cultivos
	de O. aureus a diferentes densidades de siem
	bra

Variación de los parámetros Temperatura am biental (°C) y precipitación en el período comprendido entre junio de 1985 y febrero de 1986 en la Estación Experimental "Los Diamantes".

y seas, oresipiente en temeso y peso, ; bicessa total? Se

opio de cada especie.

sella que nazimiza la producción de C. sureus en u

esológicos de productividad dicur 1 de un obtingue y en

la producción de ulevinos es esalizade con base en los

Se estudian aspectos del comportamiento reproductivo y del crecimiento de Oreochromis aureus a altas densidades de siembra y en condiciones de cultivo semi-intensivas. Durante el período de investigación que se extendió de junio a setiembre de 1985, y de noviembre de 1985 a febrero de 1986, se utilizó fertilización orgánica a base de cerdaza.

Con base en las características macroscópicas de los ovarios y en el diámetro de los ovocitos, se presenta una escala de desarrollo gonadal y se define a O. aureus como una especie que presenta desova parcial.

Se tipifica una metodología de análisis estadístico para la acuicultura, mediante la cual se obtienen las expresiones matemáticas de las curvas de la relación de tamaño y peso, crecimiento en tamaño y peso, y biomasa total. Se calculan los valores medios del factor de condición quincenal y los valores de la constante o relacionada con el crecimiento propio de cada especie.

Se presenta la densidad de 10 peces por metro cuadrado como aquella que maximiza la producción de <u>O</u>. <u>aureus</u> en un período promedio de 100 días de cultivo, basada en aspectos ecológicos de productividad natural de un estanque y en aspectos cuantitativos de ganancia en kilogramos.

La producción de alevines es analizada con base en las

tres diferentes densidades de siembra utilizadas (5,10 y 15 peces por metro cuadrado).

Se considera, con base en los resultados obtenidos, que el modelo de producción estudiado es aplicable en Costa Rica, y es recomendable como sistema alternativo de producción, con relación al sistema de producción de tilacias de tamaño comercial.

(Coll, 1983):

En cultiros memi-intensivos (mayores densidades), edera

and published restrictiones emplentales, el ractor que a

iona alimento en los especies de avitivo, pueden la verga

Foduccionea alrededer de 1.000 kg de biomana/Ha/ene (Bardec)

25 01, 1972) obteniendo así altes eficiencias en la conversión

no sólo de las especies, simo rembién de los individuos. Tem

in influye le cantided de alimento dispendinte, macrosit a

estificial. El arealmienvo es micho pas résido en las arus

licas en nutrimentes (Eset, 1987).

Cegún Vinates (1982), no es ben importente le cantidad de

tuncen en decerrinado tipras en mostas as meso que ellos al

duesto que asegura el rondiciento y la producción del estanços.

les tilapias son una importante fuente de alimentación

in muchos poloce broghestes y subtropicales (Guerrero, tosa),

la tilagia farres, Ortos promis sureus (remilta Sicalidae)

1. Introducción

En el cultivo extensivo en medio acuático, los alimentos naturales están constituidos por bacterias, fitoplancton, zoo plancton, insectos, crustáceos, peces y otros organismos. La producción natural de esos organismos depende fundamentalmente del agua, su temperatura e intensidad de radiación solar (Coll, 1983).

En cultivos semi-intensivos (mayores densidades), además de las posibles restricciones ambientales, el factor que más limita la producción de peces es el alimento; pero si se adiciona alimento en los espacios de cultivo, pueden lograrse producciones alrededor de 1.000 kg de biomasa/Ha/año (Bardach et al, 1972) obteniendo así altas eficiencias en la conversión.

El crecimiento de las tilapias varía mucho, dependiendo no sólo de las especies, sino también de los individuos. Tam bién influye la cantidad de alimento disponible, natural o artificial. El crecimiento es mucho más rápido en las aguas ricas en nutrimentos (Huet, 1983).

Según Vinatea (1982), no es tan importante la cantidad de peces que se cultiven, sino el tamaño y el peso que ellos al cancen en determinado tiempo. El peso es de vital interés, puesto que asegura el rendimiento y la producción del estanque.

Las tilapias son una importante fuente de alimentación en muchos países tropicales y subtropicales (Guerrero, 1982).

La tilapia áurea, Oreochronis aureus (Familia Cichlidae)

es endémica del continente africano y del medio este asiático. Su distribución natural es al oeste de Africa -de Senegal a Chad- (Philippart y Ruwet, 1982), sistema de ríos de Senegal y Nigeria, sistema pluvial del Río Nilo y Medio este asiático -Valle de Jordan y Siria- (Wohlfarth y Hulata, 1981).

Su distribución ha sido aumentada por la introducción artificial que desde 1950 se ha venido efectuando en muchos países, tales como Filipinas, Taiwán, El Salvador, Puerto Rico, Estados Unidos, Chipre y Costa Rica (Philippart y Ruwet, 1982).

O. aureus fue introducida en Costa Rica, procedente de El Salvador, en 1966 y posteriormente, en 1979, de Taiwán (Ruiz, 1980).

Las tilapias presentan muchas características que favore cen su cultivo: tasas rápidas de crecimiento, buena producti vidad por unidad de volumen de agua, eficiente conversión ali menticia, gran tolerancia a condiciones ambientales desfavorables, facilidad de cría, resistencia a enfermedades, al ma nejo y a bajas concentraciones de oxígeno disuelto. Son organismos que crecen en un amplio ámbito de alimentos, tanto na turales como artificiales, aprovechando bien los desechos orgánicos; toleran condiciones de aguas pobres (Kohler y Pagan-Font, 1978; Wohlfarth y Hulata, 1981; Caulton, 1982; Guerrero, 1982; Pullin et al, 1982).

La reproducción incontrolada y la madurez sexual tempra na perjudican la tasa de crecimiento (Wohlfarth y Hulata, 1981;

Guerrero, 1982).

Las densidades de siembra de tilapias en estanques oscila entre 1 a 2 por metro cuadrado y se sabe que a densidades mayores producirían muchos peces al cabo de 8 a 10 meses, pero de poco tamaño y peso. Lo anterior debido a los factores limitantes de productividad natural, demanda bioquímica de oxigeno y espacio vital para los peces. El control de la densidad de población y la utilización de la alimentación suplementaria, son dos de los factores más importantes que afectan la producción en los estanques de cultivo. Las más altas producciones son obtenidas a determinadas densidades de peces; por lo tanto las alteraciones en la densidad, influyen directamente en la producción. Con bajas densidades los recursos alimenticios no son totalmente utilizados, ocasionando pérdidas a nivel de producción; con altas densidades, la capacidad sustentable podrá ser alcanzada y la producción sufrirá disminuciones considerables (Hepher, 1978).

Debido a la importancia de la calidad del agua en el cultivo de peces, 4 factores principales deben ser controlados: temperatura, mínimo de oxígeno, suministro de alimento y remoción de metabolitos. Si se controlan estos factores adecuadamente, se posibilita el aumento de la t.sa de siembra en los estanques, sin reducción de la tasa de crecimiento individual y con obtención de altas producciones (Verani, 1980).

O. aureus, en sistemas controlados, comienza a reproducirse a los 85 días, lo cual afecta la producción de los estanques

al aumentar de este modo la densidad en forma no controlada; de ahí que se utilicen técnicas tales como el monosexado, la hibridación y el cultivo en jaulas flotantes; Swingle (1960) citado por Guerrero (1982) y Allison et al (1979) citados por Hepher y Pruginin (1982), sugieren el control de la reproducción mediante el uso de tasas de siembra a altas densidades. Estos mismos autores experimentaron con la misma especie, usando densidades altas de 5, 10 y 20 peces por m². El deso ve libre decreció con el incremento de la densidad y la producción fue alta (cerca de una tonelada por hectárea en la densidad más baja, y 17.3 toneladas/Ha en la densidad más alta).

El incremento en las tasas de siembra de alevines hizo decrecer las tasas de reproducción (Guerrero, 1982). Sugie re el mismo autor, la presencia de un factor represivo que estaría afectando la reproducción. En Sarotherodon mossambicos se cree que la sustancia está presente en el mucus, ha biéndose encontrado que causa una respuesta alérgica en altas densidades (Herderson-Arzapalo et al, 1980).

En Israel, se observa un súbito incremento en la producción de tilapia, atribuida al desarrollo de métodos de cultivo con crecimiento intensivo a altas densidades, y a la adición de alimento rico en proteína -25% total de proteína (Sarig y Arieli, 1980). Estos autores concluyen que, si bien es cierto que el cultivo a altas densidades es sumamente ven tajoso, es recomendable encontrar una tasa de siembra óptima, con base en la tasa de crecimiento individual y en la producción

por unidad de área. O. aureus es fitoplantófaga, lo cual resulta importante en la determinación de la densidad de siembra óptima que se debe utilizar (Sarig y Arieli, 1980).

Por otra parte, Rappaport y Sarig (1975), trabajaron con crecimiento de tilapias a altas densidades (8 peces/ m²), logrando incrementos diarios individuales de 2 g a 2.1 g, y a 100 días de cultivo, pero este ensayo se realizó utilizando alimento suplementario y agua enriquecida con oxígeno, mediante el uso de aireadores.

De la literatura revisada, se deduce que algunos investigadores de Estados Unidos, Brasil, Filipinas e Israel han estudiado el tema y han señalado la necesidad de buscar un mayor aprovechamiento del ecosistema que constituye un estanque, mediante el cultivo a altas densidades. Esto lo han logrado utilizando alimentos suplementarios y sistemas de aereación.

En Costa Rica estos factores no son aplicables a corto plazo, debido a los altos costos de los alimentos concentrados y a la falta de recursos económicos para la compra de equipos. Por ello se considera fundamental consolidar investigaciones básicas en este campo, adaptadas a las condiciones económicas de nuestro país.

La región atlántica de Costa Rica, aunque es rica en recursos acuáticos, es pobre a nivel de pesca, por lo que un alto porcentaje de los peces que se consumen en la provincia de Limón, provienen del Oceáno Pacífico, repercutiendo en los costos y la calidad del producto. Esta situación

provoca apatía por parte del consumidor, quien se niega a consumir el producto. Mediante la acuicultura, se podría llenar el déficit proteico existente en la región, con la ventaja de que se generaría empleo rural y proteína de buena calidad a bajo costo.

Ante las ventajas que ofrece el cultivo de <u>O</u>. <u>aureus</u> en estanques, se hace necesario el conocimiento de diversas características biológicas inherentes a la especie, las cuales se deben considerar en el momento de efectuar el cultivo. Cabe destacar que la acuicultura es una rama de la Biología interdisciplinaria, ya que para su buena aplicación requiere del apoyo de la fisiología, ictiología, nutrición, limnología, bioestadística, ictiopatología y anatomía entre otras.

Dentro de los conocimientos que se requieren para conocer el cultivo de un pez, el comportamiento reproductivo es fundamental, ya que no se puede efectuar un cultivo, sin contar con la semilla y sin conocer los factores que influyen en el desarrollo y producción de esta semilla.

Como se mencionó, las tilapias son muy prolíferas desde temprana edad; algunas especies de cíclidos, con la temperatura adecuada, son capaces de reproducirse cada 4 a 6 semanas (Jalabert y Zohar, 1982). Sin embargo, se requiere producir gran cantidad de alevines para satisfacer las necesidades de éstos; de ahí, que se haga necesario conocer su comportamiento reproductivo.

Los machos de O. aureus hacen nidos en el fondo del estanoue

y así atraen a las hembras, (Philippart y Ruwet, 1982). La hembra expulsa los huevos y una vez fecundados por el macho, los recoge con la boca (Ricker, 1968) y los conserva en ella hasta que eclosionen (Woynarovich y Horvath, 1981).

La producción de gametos es baja, pero esto es superado por la alta eficiencia del cuido parental. En Oreochromis los huevos son más grandes que en Tilapia, no son viscosos y su número es proporcional al cuadrado del largo en centímetros.

La temperatura, la intensidad de luz y los factores sociales (tales como estímulos visuales, producción de sonidos, contactos a través de la línea lateral) se han señalado como responsables del aumento en la frecuencia de desove, y quizás también en la precocidad sexual (Jalabert y Zohar, 1982). La relativa asincronía entre los ciclos sexuales de las hem bras podría ser un problema, cuando se requiere producción en masa de alevines homogéneos para el cultivo intensivo de peces.

Un factor que, aunque en este trabajo no se estudió, juega un papel de gran importancia dentro del desarrollo go_nadal es la acción hormonal. Existe bastante evidencia de que los peces producen dos tipos diferentes de hormonas gona dotrópicas. La acción ovulatoria se circunscribe sólo a una de ellas, cuyo contenido de glucoproteína es alto. La vite logénesis estaría regulada por la otra gonadotropina que posee bajo contenido de glucoproteína (Harvey y Hoar, 1980).

La reproducción en los peces, conlleva una serie de

cambios somáticos y fisiológicos que originan, entre otras cosas, el desarrollo de las gónadas del pez, culminando con el desove. Así las gónadas liberan su contenido y se inicia la primera etapa en la vida de toda una nueva generación de individuos, con la formación del gameto (Oliva et al, 1982).

Este trabajo debe entenderse como un intento por explicar el comportamiento reproductivo de O. aureus; sin embargo el autor es consciente de que se requieren estudios futuros y una metodología más precisa para poder analizar y comprender dicho comportamiento y la influencia de la densidad poblacional sobre el mismo.

2 Objetivos

- 2.1 Obtener una tasa de siembra óptima para el cultivo de

 O. aureus a altas densidades de siembra y con
 fertilización orgánica a base de cerdaza y a cien días de cultivo.
- 2.2 Evaluar estadísticamente el crecimiento de O. aureus.
- 2.3 Obtener información referente al comportamiento reproductivo de O. aureus en estanques de cultivo a altas densidades.
- 2.4 Correlacionar los parámetros físico-químicos que intervienen en la ecología de los estanques, con los aspectos de crecimiento y reproducción.

Los nuestreos fueron el ezer, recolectáciose un rinino

ce 1 5 de la población, con una ved de 25 metros de targo m

entidetros. Una ver que se anestesiamentos reces mediente

Devon pessons on combines, on one reason any companion

10 Milos empe, el peno sobul se decembré en Severas. Causas

Divermedida se comminaro despe la punta de la boga haste el

Elevero libre de la alete caudel. Los penés dus més del

wellers bionétrico, y de la recureración de la amendesia,

to desacrock or estendie.

3. Materiales y método

3.1 Recolección

El material que sirvió como base a este trabajo, se obtuvo de muestreos periódicos quincenales, realizados en 3 estanques de fondo de tierra. Se cultivó <u>Oreochromis aureus</u> en densidades de siembra de 5, 10 y 15 peces por m².

El ensayo se efectuó en dos oportunidades: de mayo a setiembre de 1985, la primera vez, y de noviembre de 1985 a febrero de 1986, la segunda.

Los estanques de cultivo poseen un área de 1,065 m², 990 m² y 870 m², con una profundidad media de 1 metro. Están localizados en la Estación acuícola "Los Diamantes", del Ministerio de Agricultura y Ganadería, en Guápiles, Limón.

Los muestreos fueron al azar, recolectándose un mínimo de 1 % de la población, con una red de 25 metros de largo x 2 metros de ancho, con malla de 0.5 centímetros x 0.5 centímetros. Una vez que se anestesiaron los peces mediante inmersión en solución con éter dietílico al 1% los ejemplares fueron pesados en conjunto, en una romana con capacidad para 20 kilogramos; el peso total se determinó en gramos. También fueron medidos para obtener la longitud total en centímetros. Esta medida se consideró desde la punta de la boca hasta el extreno libre de la aleta caudal. Los peces después del análisis biométrico, y de la recuperación de la anestesia, fueron devueltos al estanque.

el agua utilizada para el abastecimiento de los estanques

proviene de una presa artificial, a través de un canal de irrigación abierto. Durante todo el ensayo, el nivel de agua de los estanques se mantuvo constante. Parámetros físico-químicos como la temperatura, el ph y oxígeno disuelto se midieron de lunes a viernes (a las 7 am y a las 11 am), para lo que se utilizaron medidores de oxígeno YSI Modelo 57 y de ph tipo tres Corning.

En estos ensayos no se utilizó alimento suplementario, sino únicamente fertilización orgánica a base de cerdaza (estiércol de cerdo), el cual fue pesado en estañones sobre una romana con capacidad para 200 kilogramos. El estiércol se agregó en los estanques en horas de la mañana de lunes a viernes y en diferentes puntos de los mismos, correspondiendo: 65.3 kgrs. al estanque con 10 peces/m², 35 kgrs. al estanque con 5 peces/m² y 86 kgrs. al estanque con 15 peces/m² (los pesos corresponden a peso húmedo). La cantidad de cerdaza suministrada fue constante durante todo el período de estudio; y corresponde a una modificación de la relación cerdos-peces en cultivos integrados (130 kilogramos de cerdo por hectárea por día).

La siembra del ensayo N^O1 fue hecha el día 22 de mayo de 1985 y se realizó así:

Densidad N	° de alevines	Pamaño promedio inicial (cm)	Ambit	0	(cm)
5 peces/m ²	5325	8.70	7.0	а	12.0
10 peces/m ²	9900	7.21	5.5	a	9.5
15 peces/m ²	13050	9.80	8.0	a	13.0

^{*} Solo durante el segundo ensayo

El ensayo Nº2 fue sembrado el 6 de noviembre de 1985 y se realizó así:

	N ^o de alevines	Tamaño promedio inicial (cm)	Ambito (cm)
5 peces/m ²	5325	6.05	4.0 a 8.0
10 peces/m ²	9900	7.79	5.0 a 10.0
15 peces/m ²	13050	4.20	2.5 à 6.0

La relación teórica esperada de hembras-machos de los alevines sembrados es de 1:1.

El ensayo Nº1 tuvo una duración de 106 días, y el ensayo Nº2 de 91 días. Al final de cada uno de ellos, los peces fueron contados y pesados, y una muestra de al menos 1 % medidos; se determinó para cada estanque la tasa de sobrevivencia y de mortalidad, producción total en kilogramos por hectérea por año y el número de alevines producidos.

Para el análisis de gónadas, en el ensayo Nº2, a partir del día 16 de enero de 1986 y luego los días: 22 de enero de 1986, 29 de enero de 1986, 6 de febrero de 1986 y 12 de febrero de 1986, se recolectaron 10 ejemplares hembras, los cuales fueron analizados en el laboratorio de la estación acuícola.

De cada ejemplar se anotaron los datos de tamaño total en centímetros y peso total en gramos. Luego con ayuda de equipo de disección, se hizo una incisión ventral de los peces para efectuar el estudio del estadío de maduración gonadal. Los aspectos de las características macroscópicas de las gónadas,

tales como color, transparencia, vascularización superficial, medida de la gónada y peso de ella (con una Balanza analítica digital marca Ohaus 400), fueron utilizados en la caracterización de los estadios para la elaboración de la escala de madurez.

Las gónadas fueron retiradas y preservadas en una solu_
ción de formalina al 5% y solución salina para la posterior
determinación del diámetro de los óvulos.

De cada gónada se separaron 50 ovocitos de la región cen tral de la misma, los cuales fueron medidos en el Museo de Zoología de la Escuela de Biología de la Universidad de Costa Rica. Se utilizó un estereoscopio marca American Optical Mod. 569 con oculares 0.7 a 3.0 x y objetivos de 10 x, con micró metro adaptado.

Los datos climatológicos, fueron suministrados por la estación metereológica de la Estación Experimental "Los Diaman tes", ubicada en Latitud Norte 10° 12' 56'', Longitud Oeste 83° 46' 32'' y una altitud de 249 metros sobre el nivel del mar. 3.2 Análisis de datos

Los parámetros básicos estimados en este trabajo fueron los siguientes:

- Lo = Tamaño total máximo que, en promedio, los individuos pueden lograr en el cultivo. Corresponde al valor asin tótico de la curva de crecimiento en tamaño.
- Ψ_∞ = Peso total máximo que, en promedio, los individuos pue den lograr en el cultivo. Corresponde al valor asintótico

de la curva de crecimiento en peso.

- K = Parámetro relacionado con la tasa de crecimiento.
- T_e = Factor de corrección del tiempo de cultivo (T); paráme tro relacionado con el tamaño total medio de los individuos, en el instante de siembra (\overline{L}_e).
- O = (Del griego=cita) Constante de la relación Peso/tamaño, relacionada con la forma del cuerpo de los individuos.
- Ø = (Del griefo= fi) Factor de condición relacionado con el grado de engorde de los individuos.
- S* = Tasa de sobrevivencia.
- M = Coeficiente de mortalidad.
- B_m = Biomasa máxima. Corresponde al punto máximo de la cur va de biomasa.
- TBm = Instante de biomasa máxima.
- IB = Indice de rendimiento en biomasa.

El análisis cuantitutivo aplicado a la piscicultura in_
tensiva, tiene como finalidad principal, la determinación de
la curva de biomasa, que facultará la evaluación del momento
más propicio para la cosecha final, y el establecimiento de
la mejor producción en relación al peso total y la cantidad
de individuos (Verani, 1980).

La metodología aplicada (Santos, 1978) para todos los estanques, obedeció a los siguientes tópicos:

- 1- Obtención de la expresión matemática de la relación Peso total/tamaño total.
- 2- Determinación de la curva de crecimiento en tamaño por la

aplicación del modelo matemático de von Bertalanffy (Bertalanffy, 1938), con muestreos en intervalos de tiempo constantes.

- 3- Obtención de la curva de crecimiento en peso, por el método deductivo.
- 4- Determinación de la curva de biomasa y a través de su análisis, la obtención de los valores estimados de biomasa máxima y del instante de biomasa máxima.
- 5- Obtención de los índices de rendimiento en biomasa y optimización de las tasas de siembra, en función de estos índices.

El grado de desarrollo de los ovarios fue cuantificado por el cálculo de la relación gonado-somática (RGS), dado por la siguiente ecuación:

RGS =
$$\frac{W_g}{W_t}$$
 X 100, donde: W_g = Peso de las gónadas. W_t = Peso total del cuerpo.

3.2.1 Relación Peso total y Tamaño total

El cálculo de los parámetros de la relación entre el peso $(\overline{w}_t=$ peso total medio) y el tamaño $(\overline{L}_t=$ tamaño total medio) de los individuos cultivados (T= tiempo de cultivo), tiene como objetivo, en primera instancia, determinar cual es la expresión matemática que se ajusta mejor a los datos de la relación entre las dos variables involucradas, e indicar la condición de los individuos, mediante los valores estimados del factor de condición σ . Es a la vez una de las premisas básicas del método deductivo para obtener la curva de crecimiento en peso

de los individuos.

Basado en el método inductivo (Santos, 1978), los valores empíricos de esas variables fueron graficadas (diagrama de dispersión), tomándose el tamaño total medio (Lt), como la variable independiente y el peso total medio (Wt), como la variable dependiente. La tendencia de los puntos empíricos sugirió que la relación obedecía a la expresión: $\bar{W}_{t} = \phi \bar{L}_{t}^{\theta}$, donde a se estimo un value único del productivo ex

- W_{t} = Peso total medio de los individuos en el tiempo T de cultivo.
- L_{t} = Tamaño total medio de los individuos en tiempo T de cultivo ques debido à ros en uno de ellos, los velores
- Ø = Factor de condición, relacionado con el grado de engorde de los individuos.
- 8 = Constante relacionada con el tipo de crecimiento de los individuos.

Para proceder a estimar los valores øy 0, se efectuó la transformación logarítmica de los datos resultando la expresión: $\ln \bar{W}_{t} = \ln \phi + \theta \ln \bar{L}_{t}$

Los valores de Ø y Ø fueron estimados por el método de los mínimos cuadrados, aplicado a la relación lineal, y se obtuvo el valor del coeficiente de correlación linear de Pearson (r), para obtener el valor de significancia estadística mediante la "t" de student.

Al obtener las expresiones matemáticas, se pasó a ajustar las siguientes curvas, para cada estanque:

- Curva de la relación linear entre el logaritmo natural del peso total medio (ln $\overline{\mathbb{W}}_{t}$), y el logaritmo natural de tamaño total medio (ln $\overline{\mathbb{L}}_{t}$).
- Curva de la relación entre el peso total medio $(\overline{\mathbb{W}}_t)$, y el tamaño total medio $(\overline{\mathbb{L}}_t)$.

Al ser θ un valor relacionado con el tipo de crecimiento de los individuos, debe ser constante para una determinada especie, por lo que se estimó un valor único del parámetro θ , para lo que se utilizaron los valores empíricos de $\overline{\mathbb{W}}_t$ y $\overline{\mathbb{L}}_t$ de los individuos muestreados en 5 de los 6 estanques de cultivo, analizados simultáneamente (no se utilizaron los datos de los 6 estanques debido a que en uno de ellos, los valores se alejaban mucho del promedio).

Con el valor de θ obtenido, se calcularon los valores quincenales del parámetro θ^{\bullet} (factor de condición corpegido) en cada estanque:

$$\emptyset^* = \frac{\overline{W}_t}{\overline{L}_t^{\Theta}}$$

Los valores de \emptyset se lanzaron en gráfico en función de los períodos de muestreo, estimándose, para cada estanque, un valor medio (\emptyset) para el período total de cultivo

$$\bar{\emptyset} = \underbrace{\sum_{i=1}^{\infty} \emptyset^*}_{n}$$
, donde;

 $\bar{\emptyset}$ = valor medio del parámetro \emptyset *.

i = indice indicativo del número de muestras (1, 2, 3,...,n).

n = número total de muestras.

alcanzar (L₀). El parámetro to asume también valor despreciable (to = 0), pues es estimado por la expresión matemática:

 $t_9 = \frac{1}{K} \left(\frac{L_{\bullet} - \overline{L}_0}{L_{\bullet}} \right)$

lo que no altera el ajuste de la curva teórica a los datos empíricos.

- En vista de que la edad de los individuos en piscicultura intensiva, corresponde a la edad de los individuos en el instante de la siembra (t_e) sumada al tiempo de cultivo (T), la edad real de los individuos (t) quedará descompuesta en T + t_e (t= T + t_e).
- Los individuos en la fase de presiembra se encuentran en condiciones ambientales diferentes a las de cultivo. En el paso de la fase de presiembra a la de cultivo probablemente ocurrirá una modificación de la curva de crecimiento, debido a que influyen básicamente los factores espacio y alimento.
- En la etapa de cultivo se necesita analizar la variación del tamaño de los individuos, en función del tiempo de cultivo y no de la edad real de los mismos; por lo cual será introducido un factor de corrección del tiempo de cultivo (T), en la expresión matemática de la curva de crecimiento. Este sustituye al parámetro "edad de individuos en el instante de siembra (t_e)". El simbolizado por T_e, sere stimado mediante l

obtenidos de la relación lineal entre el tiempo relativo de cultivo (T*) y el tamaño relativo correspondiente a ese tiempo ($L_{\rm T}^*$).

De esta forma, la expresión matemática de la curva de crecimiento de von Bertalanffy, adaptada al cultivo intensivo, quedará representada por la ecuación:

$$\bar{L}_{T} = L_{\infty} \left[1 - e^{-K(T + T_{e})} \right]$$
, donde;

 \overline{L}_{T} = Tamaño total medio de los individuos en el tiempo T de cultivo.

Le Tamaño total máximo que, en promedio, pueden alcanzar los individuos en el cultivo, correspondiendo al valor asintótico de la curva.

e = Base de los logaritmos neperianos.

K = Parámetro relacionado con la tasa de crecimiento.

T = Tiempo de cultivo.

Te = Factor de corrección del tiempo de cultivo (T).

Con el objeto de probar la validez de esta expresión con relación a los datos de este trabajo, se utilizó la transformación de Ford-Walford (Walford, 1946), donde se comprueba la existencia de relación lineal entre el tamaño de los individuos en un instante $t(L_t)$, y el tamaño de los individuos en un instante subsiguiente t + 4t(L(t+4t)), considerándose Δt constante.

En esta investigación se verificó la existencia de relación lineal con los datos de tamaño total medio de los

individuos en intervalos constantes de tiempo de cultivo (AT). Así se comprobó que es válida la expresión matemática de la curva de crecimiento de von Bertalanffy, adaptada al cultivo intensivo.

Estimados los parámetros A y B de la expresión matemática de la relación lineal: \bar{L} (T + Δ T) = A + B \bar{L}_T , donde; \bar{L} (T + Δ T) = Tamaño total medio en el instante T + Δ T de cultivo . \bar{L}_T = Tamaño total medio en el instante T de cultivo.

A = Coeficiente linear de la recta.

B = Coeficiente angular de la recta.

Por el método de los mínimos cuadrados, se obtuvo el valor del parámetro L_{∞} , estimado por la fórmula: $L_{\infty} = \frac{A}{1-B}$

El valor del coeficiente de correlación lineal de Pearson (r) fue calculado.

La metodología de estimación del factor de corrección de la edad de los individuos (t_1) en poblaciones naturales descrita en Santos (1978), se adoptó para estimar el valor del factor de corrección del tiempo de cultivo $(T_{\rm e})$.

Se relacionó el tiempo relativo de cultivo (T) con el tamaño relativo correspondiente a ese tiempo (L_T), siendo L_T = ln L_T

Estimados los parámetros A' y B' de la expresión ratemática de la relación lineal, por el método de los mínimos

cuadrados, se obtuvo:

 L_T^* = Tamaño relativo correspondiente al tiempo relativo de cultivo (T^*).

A' = Coeficiente linear de la recta.

B' = Coeficiente angular de la recta.

Se determinó el valor de K, siendo K=-B', y se estimó el valor del factor de corrección del tiempo de cultivo $(T_{\rm e})$, a través de la fórmula:

Con los valores estimados de Lo, K y Te, se obtuvo para cada estanque, la expresión matemática de la curva teórica de crecimiento en tamaño y se comprobó gráficamente, la adherencia à los puntos empíricos.

3.2.3 Curva de crecimiento en peso

La curva de crecimiento en peso adaptado al cultivo intensivo, según Santos (1978), es la relación entre el peso total medio ($\overline{\mathbb{W}}_{T}$) y el tiempo de cultivo (T).

El modelo matemático de esta curva es deducido (método deductivo), a partir de dos premisas (modelos matemáticos) básicas pre-establecidas:

- la expresión matemática de la relación peso-tamaño $\overline{\mathbb{W}}_{\mathrm{T}} = \emptyset \, \overline{\mathbb{L}}_{\mathrm{T}}^{\theta}$
- la expresión matemática de la curva de crecimiento en tamaño

$$\bar{L}_{T} = L_{\bullet} \left[1 - e^{-K(T + T_{e})} \right]$$

resultando la expresión natemática de la curva de crecimiento

en peso:
$$\overline{W}_{T} = W_{\infty} \left[1 - e^{-K(T + T_{e})} \right]^{\Theta}$$

con el valor Wo estimado por la ecuación:

$$W_{\infty} = \emptyset L_{\infty}^{\Theta}$$
 a estimate les valores de W_{∞} , W_{∞} W_{α} W_{α} W_{α}

donde, W = peso total máximo que, en promedio, los individuos pueden alcanzar en el cultivo. Corresponde al valor asintótico de la curva de crecimiento en peso.

Para esta investigación se consideró el valor de la constante θ estimada, por lo cual se utilizaron simultáneamente los valores empíricos de peso total medio $(\overline{\mathbb{W}}_T)$, y tamaño total medio $(\overline{\mathbb{L}}_T)$ de todos los individuos muestreados en los estanques de cultivo. También se usaron los valores medios del factor de condición $(\overline{\emptyset})$ de cada estanque, obtenido con los valores quincenales del factor de condición "corregido" (\emptyset^*) . O sea, se consideró:

 $\emptyset^* = \frac{\overline{W}_T}{\overline{L}_T}$; $\overline{\emptyset} = \frac{\overline{i} = 1}{n}$; $W_{\infty} = \overline{\emptyset} L_{\infty}^{\Theta}$, donde;

 θ = Constante estimada con el total de los valores empíricos de $\overline{\mathbb{V}}_T$ y $\overline{\mathbb{L}}_T$, por el método de los mínimos cuadrados.

Ø = Valor medio del parámetro Ø*, en cada estanque.

i = Indice indicativo del número de muestras.

n = Número total de muestras.

- W_∞ = Peso máximo, que en promedio, los individuos pueden alcanzar (asíntota de la curva de crecimiento en peso).
- Lo = Tamaño total máximo, que en promedio, los individuos pueden alcanzar (asíntota de la curva de crecimiento en tamaño).

Una vez estimado los valores de W_{∞} , K, $T_{\rm e}$ y θ , se obtuvo para cada estanque, la expresión matemática de la curva teórica de crecimiento en peso y se comprobó, gráficamente, la adherencia a los puntos empíricos.

Los valores de K fueron lanzados en gráfico, en función de los respectivos valores estimados de W_o, para comprobar la posible relación existente entre ellos. Para este análisis, se consideraron también las correspondientes densidades de siembra.

3.2.4 Curva de biomasa

Es la relación existente entre la variación de la biomasa total (B_T) en función del tiempo de cultivo (T). Para obtener la expresión matemática de esta curva, a partir de la curva de crecimiento en peso (W_T) , se requiere el cálculo de las tasas de sobrevivencia a intervalos de tiempo de cultivo (ΔT) .

La tasa de sobrevivencia se determinó con base en la relación entre el número de alevines sembrados (R) y el número de peces cosechados (N); la tasa de sobrevivencia quincenal (SAT) se supuso que fue constante durante el período de

cultivo (Δ T). Esta tasa fue estimada en base a la tasa de sobrevivencia $\left(\frac{N}{R}\right)$ calculada para el período total del experimento, mediante el uso de la fórmula:

$$S_{AT}^* = \sqrt[n]{\frac{N}{R}}$$
, donde;

SAT = Tasa de sobrevivencia en intervalos de tiempo de cultivo constantes (T en meses).

N = Número total de peces sobrevivientes en el momento de la cosecha.

R = Número total de alevines sembrados al inicio del cultivo.

n = Número de meses de cultivo.

Suponiendo constante la tasa de sobrevivencia SAT en el intervalo de tiempo AT de cultivo, se llega a la expresión matemática:

$$N_{T} = R S_{\Delta T}^{*T}$$
, donde;

N_T = Número de individuos en el instante T de cultivo.

Estando la biomasa definida por la expresión matemática:

$$B_{T} = N_{T} \overline{V}_{T}$$
, donde;

Bm = Biomasa total en el instante T de cultivo.

W_T = Peso total medio de los individuos en el tiempo T de cultivo.

Se deduce, con la introducción de la expresión matemática de la curva de crecimiento en peso, el modelo matemático de la curva de biomasa, expresado por:

$$B_{T} = R S_{AT}^{T} W_{\infty} \left[- e^{-K(T + T_{e})} \right]^{\theta}$$

En esta forma se obtiene, para cada estanque, la expresión matemática de la curva teórica de biomasa y se verifica gráficamente, la adherencia a los puntos empíricos.

Una de las características de la curva de biomasa es presentar un punto máximo, correspondiente al valor teórico de biomasa máxima, observado en un tiempo de cultivo dado. Este valor fue estimado al derivarse e igualarse a cero, la expresión matemática de la curva de biomasa, resultando:

$$B_{m} = R e^{MT_{\Theta}} \sqrt[M]{\frac{M}{M + K}} \sqrt[M]{\frac{M}{K}} \sqrt{\frac{\Theta K}{M + \Theta K}}^{\Theta}, \text{ donde;}$$

B_m = Biomasa máxima.

M = Coeficiente de mortalidad.

El coeficiente de mortalidad M se estimó a través de la tasa de sobrevivencia $S_{\Delta T}^*$, siendo:

$$M = - \ln S_{\Delta T}^*$$

El instante de biomasa máxima $T_{B_{\mathrm{m}}}$, por su parte, corresponde a:

$$T_{B_m} = -\frac{1}{K} \ln \left(\frac{M}{M + \Theta K} \right) + T_e$$

El indice de rendimiento en biomasa:

 $I_{B} = \frac{B_{m}}{T_{B_{m}}} \text{ , obtenido para cada estanque, permitió optimizar,}$ gráficamente, la densidad de siembra.

3.2.5 Escala de desarrollo gonadal

Los valores de diámetro de 7,500 ovocitos fueron graficados (diámetro en función de frecuencia), para determinar los valores en diámetro de cada estadio de desarrollo gonadal.

información referente a resultadon que se fundamentan en modelos matemáticos. Mediante esto se pueden extraer una serie de informaciones annarcadas denino de una metodología de astudio, lo que rosibilitaria ; de adopturse como rétodo de trabaje est la comunidad científica que labora en este usaço de investigación, importante sobra estado entre investigaciones arines, con conclusiones científicamente aroyados (Verant, 1900).

rectonte. Sin endange, en piscicul vure, yn nigunos prebacos nan ecoptedo la misca metodología equí utilizadar. Since (1979). Silva et al (1979). Silva et al (1979). Silva et al (1979). Couz y Araugo (1978). Pinelzonet al (1979). Costa y Rocha (1978). Relic et al (1979). Peret (1980), Paretra (1980). Verent (1980). De Paiva (1981).

exploración mas rectonel de la equicaltura, debido e que tende de la equicaltura, debido e que tende de la especión de la especión productividad de la especión de culturadas un las mismas condiciones, arbientetas, en electro de individuos a sembrar, la establicación de la Educación de

eliminar el sepiristo en la achientara.

4. Resultados y discusión

4.1.1 Análisis de datos

El análisis cuantitativo de la información proveniente de la investigación en piscicultura intensiva, permite obtener información referente a resultados que se fundamentan en modelos matemáticos. Mediante esto se pueden extraer una serie de informaciones enmarcadas dentro de una metodología de estudio, lo que posibilitaría, de adoptarse como método de trabajo por la comunidad científica que labora en este campo de investigación, importantes comparaciones entre investigaciones afines, con conclusiones científicamente apoyadas (Verani, 1980).

El estudio cuantitativo de cultivos acuáticos es bastante reciente. Sin embargo, en piscicultura, ya algunos trabajos han adoptado la misma metodología aquí utilizada: Silva (1975), Silva et al (1978), Cruz y Araujo (1978), Pineiro et al (1978), Costa y Rocha (1978), Mello et al (1979), Peret (1980), Pereira (1980), Verani (1980), De Paiva (1981).

Mediante el análisis cuantitativo, se efectúa una exploración mas racional de la acuicultura, debido a que brinda información sobre la mayor o menor productividad de las especies cultivadas en las mismas condiciones ambientales. El número óptimo de individuos a sembrar, la maximización de la biomasa en un determinado instante de cultivo, y quizás, lo más importante, es que esta línea de investigación ayuda a eliminar el empirismo en la acuicultura.

comerciales (de 1 a 1.5 pez/m2).

Iles (1970) al analizar poblaciones de S. niloticus en el lago Alberto en Uganda, encontró un L. de 49.0 cm y un valor de 0.5 para K en una subpoblación normal de dicho lago, mientras que para otra subpoblación de la misma especie, pero poco desarrollada, el valor de K fue de 2.77 y el de L. fue de 17.0 cm. Estos resultados parecen apoyar la idea expues ta anteriormente.

Beverton and Holt (1957) sugirieron que el parámetro Les es afectado por factores tales como alimentación y densidad poblacional, mientras que el parámetro K está determinado genética o fisiológicamente.

No obstante que entre K y L existe una interacción ma_
temática (el valor de L influencia el valor de K y esto cau
sa una variación de K, dependiente de la variación de L.).
No se encontró en la literatura algún método para evaluar
esa influencia con el fin de eliminarla, con lo que se podría
verificar si K es realmente común para la misma densidad de
siembra en diferentes ensayos.

Huet (1983) analizó el comportamiento de las tilapias y las describió como peces de agua caliente que presentan óptimos desarrollos en temperaturas superiores a los 20 °C y has ta alrededor de los 30 °C, encontrándose las temperaturas críticas entre los 12 °C y 13 °C.

Philippart y Auwet (1982), encontró que <u>Sarotherodon au</u> reus, posee un ámbito de tolerancia termal ubicado entre los

13 °C y 32 °C.

Los cuadros 11 y 12 y las figuras 28 y 29, muestran los valores medios de temperatura bajo los cuales se desarrolló el cultivo, los cuales permiten un buen desarrollo del cultivo de 0. aureus.

El crecimiento de las tilapias es bastante variable, tanto a nivel de especies como de individuos. El crecimiento es mucho más rápido en aguas ricas en alimento natural, y al igual que en otras especies, se encuentra ligado a la temperatura.

En esta investigación no se utilizó alimento suplementario, sino que se dependió exclusivamente de la productividad natural incrementada con cerdaza (estiercol de cerdo) en la proporción indicada.

Un estanque es un verdadero ecosistema, en el cual se desarrolla gran lactividad bioquímica y biológica. Son verdaderas maquinarias vivas de producción, en donde el agua es el medio ambiente, y donde cada organismo desempeña su papel estructural dentro de estos ecosistemas; así, los peces cumplen un papel regulador del equilibrio zooplancton-fitoplancton, consumen 02 y liberan CO2 y urea; las aves que llegan en busca de alimento funcionan como transportadores de organismos de un estanque a otro, y el hombre mediante el manejo, los mantiene funcionando de manera eficiente y direccionada.

Tundisi (1981) diseñó el modelo del ecosistema de una

4.1.2 Relación peso total y tamaño total

Las relaciones peso total y tamaño total, para todos los estanques, demostraron correspondencia a la expresión matemá tica: $\overline{W}_T = \emptyset$ \overline{L}_T^{Θ} , siendo las constantes estimadas mediante el método de los mínimos cuadrados aplicado a las transformaciones logarítmicas de las variables involucradas, que resultaron en relación linear del tipo:

 $\ln \overline{W}_{T} = \ln \emptyset + \theta \ln \overline{L}_{T}$ (cuadro 3 y 6; figura 1,2,3 y 4).

La relación peso y tamaño brinda dos aspectos de infor_ mación biológica:

- 1- La estimación del peso de un individuo a travez del cono_ cimiento de su tamaño.
- 2- Una medida de la variación del peso esperado para el tama_
 ño de un pez o un grupo de peces, indicando su condición,
 o sea, gordura, bienestar general y desarrollo gonadal (Rossi, 1974).

El parámetro O puede variar para peces de localidades diversas, sexos distintos o diferentes fases de crecimiento, pero generalmente es constante para peces en condiciones seme jantes dentro de cada uno de estos aspectos.

Rossi (1974), encontró en la literatura valores de θ que variaron de 2.5 a 4.0 para la mayoría de los peces.

El- Zarka et al (1970) encontró en el lago Maruit, Alejandría los siguientes valores de θ :

Sarotherodon niloticus: $\theta = 3.0762$

Tilapia galilea : θ= 3.1838

T. zillii : 0= 2.7254

T. nilotica (variedad x): θ = 2.9547

Los valores estimados de θ (cuadro 4, figura 5) para O. aureus, variaron de 1.9065 a 3.1069, siendo el valor de 1.9065, correspondiente al ensayo N°2 (densidad de 15 peces/m²); un valor que se aleja de θ= 2.71, lo que hace pensar que en ese estanque se cometió un error de muestreo. Sin embargo, se observa en los estanques restantes, que hay una variación pequeña en torno al parámetro θ, a nivel intraespecífica, lo que se supone, sea debido a las diferentes condiciones ambientales y a los aspectos biogenéticos inherentes a cada especie.

Se estimó un valor único de 0 (2.71) para O. aureus, el cual se considera constante para la especie.

El cuadro 5 muestra los valores estimados del valor de condición en cada estanque por período de muestreo. El cuadro 4 muestra un valor medio, para todo el tiempo de cultivo y todos los tratamientos.

La figura 6 permite observar las variaciones de los valores estimados del factor de condición, en relación con los tratamientos de O. aureus, a diferentes densidades de siembra; en tanto que la figura 7 muestra las variaciones de los valores estimados del factor de condición, en función del tiempo, para los tratamientos realizados. Los decrecimientos mostrados en los cultivos con densidades de 5 peces/m² (ensayo 1)

y 15 peces/m² (ensayo 2), indican que las condiciones de cultivo eran mejores en la etapa de presiembra que en las de postsiembra, aunque en ambos casos tienden a estabilizarse en los días finales de la investigación.

El tratamiento con 5 peces/m² (ensayo 2) muestra valores esperados en un cultivo con condiciones favorables para los peces ya que se muestra un decrecimiento inicial debido a un posible período de adaptación de los alevines a las nuevas condiciones de cultivo. Luego se presentan crecimientos y decrecimientos ocasionados probablemente por condiciones ambientales, comportamiento reproductivo y disponibilidad de alimento.

Los valores de para los tratamientos de 10 peces/m² (ensayo 1), 15 peces/m² (ensayo 1) y 10 peces/m² (ensayo 2) muestran un comportamiento similar, destacando el hecho de que al parecer, los peces mejoraron sus condiciones de cultivo en la etapa de investigación, con respecto a la etapa de presiembra.

Si comparamos los valores de Ø de los tratamientos con 15 peces/m², podemos observar que son inversos en su crecimiento, pero en el cuadro 2 apreciamos que en el estanque del ensayo 2, se produjeron 764 alevines, contra tan solo 29 del estanque del ensayo 1. Esto pudo afectar el desarrollo de los peces a nivel de gasto de energía en cuidados parentales y desarrollo gonadal, así como de competencia intraespecífica.

El factor de condición puede ser afectado por factores

tales como la edad, el sexo, estado se madurez, ambiente, alimento y enfermedades, entre otros.

Los valores medios del factor de condición (\emptyset) en los diferentes tratamientos de cultivo, se presentan en el cuadro 4, figura 6. Estos resultados parecen demostrar la influencia de la densidad de población en el cultivo de 0. aureus.

4.1.3 Curva de crecimiento en tamaño

Mediante la transformación linear de Ford-Walford, aplicada a los datos de los muestreos (cuadro 7, figura 8 y 9), se comprobó la validez de la expresión de von Bertalanffy para el ajuste de la curva de crecimiento en tamaño de <u>O. aureus</u>. Con la relación linear existente en E_T y T* (cuadro 7, figura 10 y 11), y con el uso de la metodología citada, se estimaron todos los parámetros involucrados, y obtenidas las expresiones matemáticas de las curvas de crecimiento en tamaño (cuadro 8), se verificó, gráficamente, la adherencia de las curvas teóricas a los puntos empíricos (figuras 12,13, 14,15,16 y 17).

Los valores de Lo permiten observar el efecto de la densidad de población, tanto a nivel de siembra, como de producción de alevines. En el ensayo 1, encontramos un tamaño máximo de 16.29 cm, para el tratamiento con 5 peces/m², mientras que para el estudio con 10 peces/m² sólo llegó a 12.05 cm. El tratamiento con 15 peces/m² alcanzó un tamaño máximo de 12.78 cm, el cual es ligeramente superior al valor

de Los del tratamiento con 10 peces/m² (12.05 cm); pero se debe considerar que la producción de alevines fue bastante superior en el tratamiento con 10 peces/m² (cuadro 2).

Los valores de L_{∞} para el ensayo 2, están relacionados básicamente con el comportamiento del parámetro \emptyset * (figura 7), explicado anteriormente.

La variación de L_o, relacionada con las diferentes densidades de siembra de O. aureus (figura 18), presenta un punto máximo correspondiente al tratamiento con 5 peces/m² (ensayo 1), lo que daría lugar para pensar que en torno a esta densidad se obtendría la optimización del tamaño alcanzado en promedio. Sin embargo, desde el punto de vista de la velocidad para alcanzar el valor de tamaño máximo (figura 12,13,14,15,16 y 17), encontramos que es el tratamiento con 10 peces/m² (ensayo 1), el que lo hace en forma más rápida por lo que sería la densidad de cultivo más recomendable.

La figura 20a muestra la variación existente entre los valores de K y L., notándose que el mayor valor de L., corresponde al menor valor K. En esta misma figura se aprecia nuevamente la influencia de la densidad de siembra y la producción de alevines. Es de esperar que si disminuyéramos la densidad de siembra y la producción de alevines, mediante la siembra de sólo individuos machos, o la inclusión de depredadores, obtendríamos un valor de K más pequeño y un valor de L, más grande, llegándose a las condiciones de cultivo

laguna en el estado de São Paulo, Brasil, que presentaba eutroficación, por lo que de modo general, podría representar el ecosistema que se presenta en los estanques de cultivo de peces.

La fertilización orgánica en ecosistemas acuáticos tiene un origen milenario y es ampliamente utilizada; sin embargo, últimamente se vieme estudiando sus efectos de forma más sistemática y racional, llegándose a comprobar que los peces crecen mejor en estanques con fertilización, que en estanques sin ella (Bardach et al, 1972; Hickling, 1962; Rappaport et al, 1977; Aguiar, 1980; Pretto, 1980; Boyd, 1981; Porras, 1981, 1984).

En esta investigación se utilizó cerdaza en cantidades constantes y bastante altas comparadas con los siguientes estudios: Wahby (1974) utilizó estiércol de caballo como fertilizante orgánico en una tasa de 1852 kilogramos por hectárea por año; Burns y Stickney (1980) utilizaron gallinasa (materia seca) en proporción de 100 kg/Ha/día y obtuvo una producción de 16.2 kg/Ha/día de tilapia áurea. En el nordeste de Brasil han obtenido producciones de 4000 kg/Ha y en El Salvador producciones de 2500 kg/Ha, utilizando en ambos casos fertilización orgánica a base de cerdaza, con el objeto de incrementar la producción y reducir los costos de producción (F.A.O., 1975). Porras (1981) recomienda de 500 a 1500 kg/Ha/semana de cerdaza.

El cuadro 2 muestra las producciones teóricas esperadas para las diferentes densidades de siembra de O. aureus, en las que no se consideró para su cálculo la mortalidad, por considerer que ésta, está en función del manejo que se brinde a los peces.

Tundisi (1976) señala que la eutroficación ocasionada por la entrada de mutrientes a un ecosistema acuático, aumenta la producción primaria por unidad de volumen y ocasiona cambios cualitativos y cuantitativos en el zooplancton herbiboro. Wetzel (1981) considera que cuando se presente eutroficación por el aporte de nutrientes, existe una gran tendencia a que el crecimiento del fitoplancton alcance el máximo dentro de las limitaciones de luz y temperatura existentes. Almazan, citado por Boyd (1981), encontró que existe una alta correlación entre las diferentes medidas de densidad de plancton y la producción de tilapia áurea, en estudios efectuados en la Universidad de Auburn, Alabama, y justifica dicha correlación entre la producción de plancton y el crecimiento de la tilapia áurea en el hecho de que ésta se alimenta directamente de plancton. Philippart y Ruwet (1982), encontraron que al parecer la tilapia aurea es omnivora, aunque Lovshin (comunicación personal, 1983) considera a O. aureus como fitoplantófaga; Spataru y Zorn (1978) obtuvieron datos que muestran que esta especie es principalmente zooplanctófaga. En este trabajo no se

efectuó análisis de contenido estomacal; sin embargo, los estanques que se utilizaron para esta investigación, se mantuvieron con el agua de color verdoso, lo que indica un buen equilibrio entre el zooplancton y el fitoplancton; eso también sugiere que la tasa de fertilización utilizada, suministró el alimento requerido por los peces a nivel de productividad natural.

Royce (1972), considera que el crecimiento de cualquier animal es influenciado por muchos factores, tanto endógenos (durante su desarrollo -desde embrión hasta senilitud-) como embientales. Bowering (1978), afirma que dentro de estos factores, el suministro de alimento es el más importante, ya que sólo cuando el alimento disponible es suficiente, el pez puede alcanzar su tamaño máximo en las condiciones ambientales existentes.

Peret (1980), in Verani (1980) considera que hay parametros de la expresión de crecimiento de von Bertalanffy, basada en anabolismo y catabolismo, que estarían influenciados por la variación de la densidad de población; considera que aunque el catabolismo es constante, puede ser afectado por la densidad de población en pequeña escala. El anabolismo está directamente relacionado con la tasa de consumo de alimento, y deberá ser esta constante la que principalmente refleje el efecto de la densidad de población sobre el crecimiento. Es de esperar que además de la

influencia de la densidad poblacional sobre el crecimiento de los peces, también hayan influido sobre el parámetro L_{∞} , otros factores tales como espacio vital, comportamiento reproductivo y oxígeno disponible.

4.1.4 Curva de crecimiento en peso

El cuadro 8 muestra las expresiones matemáticas de las curvas de crecimiento en peso, las cuales, al igual que el peso total máximo que en media pueden alcanzar los individuos (W_{ω}) , fueron determinadas por el método deductivo.

Mediante la obtención de la curva de crecimiento en peso, se puede calcular teóricamente el peso total medio de los individuos $(\bar{\mathbb{W}}_T)$, correspondiente a un instante determinado de cultivo (T); este peso además, se utiliza integralmente en la determinación de las expresiones matemáticas de la curva de biomasa (B_T) .

En la acuicultura es valiosa la información referente al crecimiento de los individuos (en tamaño y peso), ya que permite verificar el efecto de la densidad de población y otros efectos derivados de ella, tales como competencia.

Mediante la figura 19, se pueden apreciar las variaciones de Wo en función de las diferentes densidades de siembra, y la probable influencia de otros factores como la reproducción, edad de los individuos al momento de sembrarse y el cultivo de peces machos y hembras conjuntos. Los valores de Wo fueron

de 131.2211 g, 17.1037 g y 25.4313 g para las densidades de 5, 10 y 15 peces/m² respectivamente, en el ensayo Nº1 y en el ensayo Nº 2, fueron de 49.0180 g, 43.4604 g y 207.1099 g para las densidades de 5, 10 y 15 peces por metro cuadrado respectivamente.

Al comparar los valores de K (constante relacionada con la tasa de crecimiento) con los valores respectivos de W_{∞} , tiende ha haber una relación inversamente proporcional ya que es de esperar que los mayores valores de W_{∞} correspondan a los menores valores de K ya que W_{∞} se calculó con la fórmula $W_{\infty} = \overline{\emptyset} \ L_{\infty}^{\Theta}$. Pero como Θ se mantuvo constante (Θ = 2.71) y los valores de K no participaron directamente del cálculo de W_{∞} , la influencia de los valores medios del factor de condición ($\overline{\emptyset}$) no se puede despreciar en este análisis. Las figuras 18 y 19 muestran que los valores mayores de L_{∞} y $\overline{\emptyset}$, corresponden a los valores mayores de W_{∞} , lo que puede indicar que cuando mejoran las condiciones de los ejemplares en cultivo, esa mejoría se traduce en ganancia en peso (figura 6).

La figura 20b permite observar esa relación inversa entre los parámetros K y Wo. Un comportamiento similar es presentado en la figura 20a para K y Lo. Estos criterios dan una idea del comportamiento de los peces en el cultivo.

4.1.5 Curva de biomasa

Con los valores estimados de las tasas de sobrevivencia

y de los parámetros de las curvas de crecimiento en peso de los individuos (Cuadro 2 y 8), se determinaron las expresiones matemáticas de la curva de biomasa de O. aureus en las diferentes densidades de siembra (cuadro 9). Gráficamente (figuras 21,22,23,24, 25 y 26), se trató de verificar la adherencia de las curvas teóricas con los puntos empíricos, encontrándose que la única curva que mostraba cierta adherencia a los puntos empíricos, fue la correspondiente a la figura 24 (ensayo N°2, densidad 5 peces/m²), mientras que en las otras figuras (21, 22, 23, 25 y 26), no hubo correspondencia entre los datos empíricos y los datos teóricos.

Como fue explicado anteriormente, la obtención de las curvas de crecimiento en peso (cuadro 8), curva de biomasa (cuadro 9), así como los valores estimados de biomasa máxima (B_m), tiempo de biomasa máxima (T_{B_m}), e índice de rendimiento en biomasa (T_{B_m}) (cuadro 10, figura 27), se efectúan con base en el análisis de la relación peso total medio-tamaño total medio, y en la expresión matemática de la curva de crecimiento en tamaño, a través del método deductivo. En dicho análisis quedó demostrada la adherencia de los puntos empíricos a los teóricos y la validez de las relaciones: peso total medio/tamaño total medio, T_m / $T_{(T+\Delta T)}$ y entre T^* y T_m . Para verificar la existencia o no, de relación significativa, se utilizó el test "t" de Student, a nivel de 5 % (Daniel, 1980). Con base en el razonamiento expuesto anteriormente, la no

concordancia de los puntos teóricos con los empíricos ya mencionada, podría deberse no tanto a la metodología utilizada para el análisto cuantitativo aplicado a la piscicultura intensiva, si más bien a los siguientes factores:

1- Errores de mestreo. La población de peces que se introduce en un estanque de cultivo, una vez que se ha introducido, no puede evaluarse en forma total sino hasta el momento de la cosecha. Por lo que se debe recurrir a muestreos períodicos y sistemáticos, los cuales, acompañados de información limnológica, permiten inferir el desarrollo de los peces en los estanques.

Estos muestreos no pueden incluir un porcentaje muy alto de la población, debido a los problemas que el manejo ocasiona a los peces, y que puede resultar en un aumento de la tasa de mortalidad o en una disminución de la producción. Como se puede observar en el cuadro 1, la información obtenida no evidencia problemas a nivel de ganancia en peso y tamaño; sin embargo, se puede observar que el peso promedio final de muestreo fue diferente en todos los tratamientos, al peso promedio final de la población (cuadro 2). Esto indica la posible existencia de errores experimentales de muestreo.

2- La siembra fue efectuada con peces de edades diferentes ya que por la gran cantidad de alevines requeridos, es muy difícil obtener semilla de la misma edad, talla y peso;

- aunque se introdujo un factor de corrección (T_e) , el factor edad pudo afectar.
- 3- El análisis de datos correspondió a sexos conjuntos. En
 O. aureus como en muchas otras especies, el macho crece
 mucho más que la hembra (Aguiar et al, 1980), debido a
 factores de carácter genético y al comportamiento
 reproductivo. Las hembras pasan hasta una semana sin
 alimentarse, incubando los huevos en su boca; esto provoca
 disminución en peso, no así en tamaño, lo cual alteraría
 la información del muestreo.
- 4- El cuadro 2 muestra la producción de alevines en cada tratamiento, aunque durante el período de cultivo pudo haber mortalidad no cuantificada (se encontraron estómagos llenos de ovocitos y alevines recién eclosionados). Además pudo presentarse el fenómeno de enanismo en algunos peces (Vinatea, 1982), que hiciera que individuos sembrados para este estudio fuesen confundidos con alevines.
- 5- El factor de condición (Ø) fue afectado por los puntos antes expuestos y por la densidad de población, lo cual es probable que sea lo que ocasionó la no concordancia de los puntos empíricos con los puntos teóricos; sin embargo, se considera que la metodología utilizada es aplicable a la acuicultura.

El cuadro 2 muestra la ganancia en kilogramos para cada tratamiento, correspondiendo la más alta en los dos ensayos efectuados, a los tratamientos con densidad de 10 peces/m²

(183.61 kg para el ensayo N°1, y 201.50 kg para el ensayo N° 2), por lo que ésta sería la densidad de siembra más recomendable para este estudio. Posteriormente seguiría la densidad de 15 peces/m², que obtuvo 163.73 kg en el ensayo N° 1, y 172.90 kg de ganancia en el ensayo N° 2. Los tratamientos con densidad de 15 peces/m² ocuparon el último lugar en ganancia, obteniéndose 89.44 kg en el ensayo N° 1, y 100.85 kg en el ensayo N° 2.

El análisis de los resultados en ganancia en kg/Ha/año (cuadro 2), indica que el tratamiento con 15 peces/m², obtuvo el valor más alto (12169.71 kg), seguido por el tratamiento con 10 peces/m² con valores de 11888.97 kg y 9117. 70 kg para los ensayos p² 2 y Nº 1, respectivamente. El tratamiento con 15 peces/m², en el ensayo Nº 1, ocupó un cuarto lugar, al alcanzar la cifra de 7582.88 kg; los últimos lugares fueron para el tratamiento con 5 peces/m², que obtuvieron una ganancia en kg/Ha/año de 5180.42 kg y 3783.22 kg para los ensayos Nº2 y Nº 1, respectivamente.

No obstante que el valor más alto correspondió a la densidad de 15 peces/m² (ensayo Nº 2), se considera más recomendable la densidad de 10 peces/m². En el cuadro Nº2 se puede apreciar que fue mayor la producción de alevines con la densidad de 10 peces/m², ya que se obtuvieron 7571 y 5494 alevines para el ensayo Nº1 y Nº 2, respectivamente, en comparación con el tratamiento de 15 peces/m² que obtuvo una producción de 29 alevines en el ensayo Nº 1, y 764 en el

ensayo Nº 2. En los cultivos de peces para tella comercial es indeseable la producción de alevines durante el período de cultivo, mientras que en esta investigación sí reviste importancia la producción de alevines durante el período de cultivo. En este estudio lo que interesa es la producción en biomasa, sin interesar que los peces alcancen tamaños comerciales; lo que importa es la información resultante a nivel de producción de alevines, ya que estos serán utilizados para resembrar los estanques de cultivo, con el objeto de reducir los costos de producción. De esta manera se estaría cerrando un ciclo energético, en el cual, con la biotecnología desarrollada sobre el cultivo integrado peces-cerdos, se podría utilizar el producto de los estanques para alimentación de cerdos y las excretas de los cerdos, para fertilizar los estanques de cultivo. Así se reducirían los costos de producción de los cerdos y sobrarían excretas para la fertilización de otros estanques destinados a la producción de peces con interés comercial.

La recomendación resultante de utilizar una densidad de 10 peces/m², está respaldada por el número de alevines utilizados (100000 por hectárea), ya que éste es un 33 % menor que la densidad de 15 peces/m² (150000 por hectárea). Por eso se considera que el margen de superioridad a nivel de ganancia en kg/Ha/año, obtenido por la densidad de 15 peces/m², se debe a la mayor densidad de siembra, lo cual no compensa los rendimi tos alcanzados por la densidad de 10 peces/m².

Los cuadros 11 y 12 muestran los valores medios de los parámetros fisicoquínicos analizados. Los valores de pH y temperatura están dentro de los límites de tolerancia de O. aureus, considerándose inclusive que se contó con una bue na temperatura para el cultivo de O. aureus. En lo que respecta a los valores medios de oxígeno disuelto, vemos como fueron decreciendo conforme aumentaba el período de cultivo, lo cual era esperable y solucionable, mediante la adición de agua a los estanques de cultivo; sin embargo, el único valor preocupante fue el correspondiente al período de muestreo del acumulado medio al 22-02-85, ya en las postrimerías del período de investigación.

- 4.2 Ciclo reproductivo
- 4.2.1 Descripción de las gónadas

Tanto los testículos como los ovarios, son órganos pares, aunque en algunas hembras se encontró sólo un ovario. En O. aureus se localizan en la región dorsal de la cavidad abdo minal, uno a cada lado de la vejiga natatoria, por debajo del riñón. Las gónadas están revestidas por una lámina delgada de peritoneo que se prende a las paredes abdominales. En ellas se observan ovocitos de diferentes diámetros, entremez clados desde la región posterior hasta la región anterior. Los ovarios se encuentran sostenidos en la cavidad celómica por un par de mesenterios.

La coloración de los ovarios varía con el grado de madurez gonadal, yendo desde filamentos transparentes en los jóvenes,

proditor; un procediciento similar fue utilizado vor de Palve

hasta ovarios gruesos, color café-carne, que ocupan un gran porcentaje de la cavidad abdominal en el estadio maduro.

En la época de desova, los óvulos son liberados de la cavidad corporal y eliminados a través del poro genital (De Paiva, 1981).

- O. aureus presenta dimorfismo sexual, fácilmente perceptible en el momento de la reproducción; la hembra sufre modificaciones a nivel bucal para la incubación oral de los huevos, además de la diferenciación a nivel de papila genital que muestra el oviducto, a diferencia de los machos. Los ovarios de O. aureus presentan un ovario hueco que se continúa con un oviducto, directamente hacia el exterior (condición cystoaria), en donde los huevos pasan a través de un canal hacia la apertura genital.
- O. aureus, se reconoce por su coloración azulada y sus puntuaciones brillantes en la aleta caudal.

 4.2.2 Escala de maduración gonadal

Naumov (1956) citado por De Paiva (1981) enfatiza la necesidad de una escala de madurez gonadal adaptada a cada especie, considerando que esta escala debe describir las gónadas de forma simple, presentar pocos estacios, de acuerdo con características macroscópicas y microscópicas; además, debe ser adecuado para su uso en el campo.

Para la elaboración de esta escala de maduración, en hembras de O. aureus, se utilizó el criterio macroscópico, considerándose la apariencia externa y el diámetro de los ovocitos; un procedimiento similar fue utilizado por De Paiva

(1981).

Joven: ovarios filiformes, transparentes, sin irrigación evidente. Núcleo visible, ovocitos de color blanquecino. Abundante presencia de oogonias.

Diámetro de los ovocitos: 0.26 mm - 0.68 mm.

Maduración inicial: ovarios delgados y alargados, los ovocitos se observan a simple vista como puntos blanco-amarillentos claros. Núcleo difícil de observar.

Vascularización apenas perceptible. Ovocitos presentan primeras vesículas o vacuolas vitelinas.

Diámetro de los ovocitos: 0.54 mm - 1.07 mm.

Maduración intermedia: ovarios tienden a engrosar. Ovocitos adquieren una coloración amarillo-brillante que impide la observación del núcleo. Es una etapa vitelogónica. Ya se aprecia inervación. Se presenta los primeros gránulos de vitelo. Se aprecia un engrosamiento de los ovocitos con respecto a la maduración inicial.

Diámetro de los ovocitos: 0.80 mm - 1.82 mm.

Maduración avanzada: overios gruesos con inervación evidente, generalmente un ovario más largo y más grueso que el otro. Ovocitos de color amarillo intenso, de consistencia aceitosa (debido probablemente a la deposición de vitelo).

Diámetro de los ovocitos: 1.21 mm - 2.35 mm.

Maduro: ovarios gruesos, ocupando un alto porcentaje de la cavidad celómica, fuertemente adheridos a la vejiga

natatoria y a las paredes abdominales. La pared del ovario se vuelve muy delgada y trasparente. Los ovocitos de forma ovoide, color café-carne, se separan con facilidad.

La irrigación sanguínea es rica y muy evidente. Se aprecia notoriamente, en la región dorso-central del ovario, un gran vaso que recorre longitudinalmente los ovarios.

Grado de vitelogénesis muy avanzado.

Diámetro de los ovocitos: 1.70 mm - 3.13 mm.

Reproducción: ovarios se vuelven delgados, sanguinolentos y en ellos se aprecian algunos ovocitos que no fueron eliminados y ovocitos de diferente diámetro, sin que haya una camada dominante.

La hembra mantiene modificaciones a nivel bucal, para la incubación oral de los huevos.

Diámetro de los ovocitos: 0.43 mm - 2.56 mm.

O. aureus, presenta desova fraccionada (Heterócromo), ya que durante el estudio se encontraron peces con ovocitos de diferentes tamaños dentro de un mismo ovario, y diferentes estadios de maduración dentro de una misma población.

A diferencia de la mayoría de los Teleósteos, los ovocitos de Oreochromis son ovoides (Jalabert y Zohar, 1982).

La ovogénesis se desarrolla en los ovarios e incluye la proliferación de las oogonias (células cúbicas que tienden a introducirse en el parénquima ovárico), mediante mitosis

y el desarrollo de ovocitos a partir de ellas. La oogonia se convierte en ovocito cuando da inicio la meiosis (Jalabert y Zohar, 1982; Oliva et al, 1982).

Cada ovocito primario aumenta en tamaño y se rodea de capas de células somáticas. Las células del epitelio folicular se diferencian para formar una zona granulosa glandular, separada del óvulo por una zona pellucida (radiata), no celular, y se desarrolla una teca a partir de los tejidos conectivos circundantes (fibroblastos penetrados por capilares) (Harvey y Hoar, 1980; Jalabert y Zohar, 1982; Oliva et al, 1982).

Jalabert y Zohar (1982) dividen el crecimiento del ovocito en dos fases: una previtelogénica, donde el ovocito aumenta de tama o a consecuencia de una vitogénesis endógena y una fase vitelogénica resultante de la acumulación rápida de vitelogenina; una lipofosfoproteina que es sintetizada en el hígado y liberada al torrente sanguíneo, de donde es incorporada por los ovocitos, mediante micropicnocitosis. Al final de la vitelogénesis se reasume la meiosis.

El esteroide 17d- hidroxi-20B-dihidroprogesterona (17d-20BPg) producida por la envoltura folicular, en respuesta a la gonadotropina pituitaria, se ha propuesto como el más probable mediador de la maduración de los ovocitos. Los corticoesteroides pueden desempeñar un papel indirecto, probablemente a través de la sensibilización de los ovocitos a la acción del 17d-20BPg.

La rupture foliculer y la expulsión del ovocito desnudo parece ser independiente del control hipofisiario y se han propuesto a las catecolaminas y a las prostaglandinas como nediadoras (Harvey y Hoar, 1980) (Figura 33).

Les figures 30e y 30b muestran les frecuencies de diámetro de los 7500 ovocitos medidos y aunque sugieren la existencia de varios temaños en la población, esto no se puede concluir, debido a que las muestras para el análisis de gonadal de Q. aureus, citada anteriormente, y en la figura 30, aparecen los valores mínimos y máximos encontrados para información podemos apreciar que conforme avanza el desarrollo gonadal, y del análisis de dicha información podemos apreciar que conforme avanza el desarrollo fonadal, se incrementa la variación de conforme evanza el desarrollo valores mínimos y máximos de los diferentes estados de los valores máximos de los diferentes estados de los valores más altos de frecuencia conforma figuras 30a y valores de las frecuencias que presentan las figuras 30a y valores de las frecuencias que presentan las figuras 30a y valores más altos de frecuencia corresponden a modes de los estados de desarrollo gonadal.

El cuadro 15 y la figura 52 permiten observar, la variación de los promedios de la relación entre el peso del individuo y el peso de la gónada para los 150 ejemplares estudiados, encontrándose que conforme avanza el pez en su desarrollo gonadal, aumentan los valores del Indice Gonado-Somático (y sus respectivas desviaciones estandar) hasta legar a la etapa de reproducción, en la que el pez ya ha

desovado, y por ende, se encuentra iniciando un nuevo ciclo de desarrollo gonadal. La información del cuadro 13 y la figura 32 valoriza la escala de desarrollo gonadal con los estadios propuestos. El incremento en los valores del I.G.S., se deben probablemente, al aumento del peso de las gónadas, ocasionado por el aumento en tamaño y en reservas alimenticias de los ovocitos, que componen dichas gónadas.

La influencia de la densidad de población sobre el desarrollo gonadal, no se puede esclarecer con certeza, debido al hecho, de no contar con peces de la misma edad en los diferentes tratamientos estudiados, no obstante, esto se intentó realizar mediante el uso de pilas de concreto de 8 m2 cada una, y que fueron sembradas con peces de cero días a las diferentes densidades estudiadas; por problemas de alimentación y crecimiento con respecto al tiempo disponible para la conclusión, de este trabajo, se debió prescindir de dicha investigación. Sin embargo, el cuadro 2 muestra la cantidad de alevines producidos en las diferentes densidades de siembra investigadas, notándose, que en la densidad de 15 peces/m2 (ensayo Nº1 y Nº2), se obtuvieron las producciones más bajas, lo cual ya ha sido citado y propuesto como mecanismo de control poblacional por otros autores (Allison et al, 1979; Henderson-Arzapalo et al, 1980; Guerrero, 1982).

Los resultados obtenidos en lo referente a desarrollo gonadal permitirán al autor trabajar, en futuras investigaciones,

con mayor criterio y con una base más sólida, obtenida de la experiencia en la realización de este trabajo.

die, production serve and the emphasisment of findance of the emp

5. Conclusiones

- 5.1 El producto de las cosechas de peces de 100 días de cultivo, puede utilizarse para enlatarlas tipo sardinas, ensilar la en unión de una fuente de carbohidrato para la alimentación de animales de consumo humano (cerdos, por ejemplo), o bien, sexarlo y utilizar los machos para cultivarlos a densidades de siembra de 1.5 pez/m² y las hembras enlatarlas o bien ensilarlas.
- 5.2 El cultivo de <u>O</u>. <u>aureus</u> a altas densidades por 100 días, permite un aprovechamiento máximo de los recursos del ecosis tema, ya que con una densidad baja de siembra se están desper diciando recursos alimenticios a nivel de productividad natural.
- 5.3 El cultivo de <u>O</u>. <u>aureus</u> a altas densidades influye en la producción de alevines, obteniéndose a una densidad de 15 pe_ces/m², una escasa producción de alevines.
- 5.4 El método inductivo en el análisis cuantitativo de los datos, fue perfectamente aplicable.
- 5.5 La densidad de siembra de 10 peces/m², fue la que optimizó los rendimientos en ganancia en kilogramos y producción de alevines.
- 5.6 Las variaciones morfológicas macroscópicas de las gona das, conjuntamente con las variaciones en diámetro de los ovo citos, permitieron establecer una escala de desarrollo gonadal basada en 6 estadios: joven, maduración inicial, maduración

intermedia, maduración avanzada, maduro y reproducción.

- 5.7 Los factores físico-químicos se mantuvieron dentro del ámbito aceptable para el crecimiento de O. aureus.
- 5.8 El hecho de analizar los datos conjuntos de hembras y machos, afectó el establecimiento de curvas de crecimiento en peso, y curvas de biomasa total.
- 5.9 De los resultados obtenidos se concluye que el cultivo de O. aureus a altas densidades de siembra (5, 10 y 15 peces por m²) en condiciones de cultivo semi-intensivas, es factible; por tanto, se recomienda su implantación en nuestro país como biotecnología paralela a biotecnología desarrollada para la producción de O. aureus, a nivel comercial, dejando la elección del sistema de producción al acuicultor, con base en sus necesidades y objetivos.

6. Bibliografía

- Aguiar, R.; Ileana Bencomo y Olga González. 1980. Cultivo de <u>Tilapia nilotica</u> con diferentes densidades de siembra. Rev. Lat. Acui. Lima-Perú. Nº 5: 24-26.
- Allison, R. et al. 1979. Effects of high density culture and form of feed on reproduction and yield of Tilapia aurea, p. 168-170. In: T.V.R. Pillay and W.A. Dill (eds.). Advances in aquaculture. Fishing News Books Ltd., Farnham, Surrey, England. 412 p.
- Bardach, J.E.; J.H.Ryther and W.O. McLarney. 1972. Aquaculture, Wiley-Interscience, New York, N.Y. 868 p.
- Bertalanffy, L. von. 1938. A quantitative theory of organic growth. Hum. Biol. 10(2): 181-213.
- Beverton, R.J.M. and Holt, S.J. 1957. On the dynamics of exploited fish populations. Fishery Invest.

 London. 19(2): 533.
- Bowering, W.R. 1978. Age and growth of the Breenland halibut,

 Reinhardtius hippoglossoides (Walbaum). In: ICNAF

 surbareas 2-4. Res. Bull. Int. Comn. NW. Atlant.

 Fish. (13): 5-10.
- Boyd, C.E. 1981. Water quality in warmwater fish ponds.

 Oraftmaster Print s, Inc. Opelika, Alabama. 359 p.
- Burns, R.P. and R.R. Stickne . 1980. Growth of <u>Tilapia aurea</u> in ponds receiving poultry wastes. Aquaculture.

- 20: 117-121.
- Caulton, M.S. 1982. Feeding, metabolism and growth of
 tilapias: some quantitative consideration, p. 157180. In: R.S.V. Pullin and R.H. Lowe-McConnell
 (eds.). The biology and culture of tilapias.ICLARM.
 Conference Proceedings 7, International Center for
 Living Aquatic Resources Management, Manila,
 Philippines. 432 p.
- Coll, M.J. 1983. Acuiculture Marina Animal. Ediciones Mundi-Prensa. Castelló, 37. Madrid-1. 275 p.
- Costa, F.J.C.B. e I. de P. Rocha. 1978. Aspectos cuantitativos de cultivo de Tainha (<u>Mugil curema</u> Valenciennes, 1936), Itamaracape. <u>In</u>: Resume do I Simp. Bras. de Aquic. Recife, WFPE/SUDENE. 114 p.
- Cruz, J.F. e R.A. Araújo. 1978. Cultivo experimental de

 Tainha (<u>Mugil curema</u>) Valenciennes, 1836. <u>In</u>:

 Resumos do I Simpósio Brasileiro de Aquicultura.

 Recife, UFPE/SUDENE. pp. 81-82.
- Daniel, W.W. 1980. Bioestadística. Base para el análisis de las ciencias de la salud. Editorial Limusa.

 México. 485 p.
- F.A.O. 1975. Informe sobre acuicultura en América Latina.

 Montevideo, Uruguay, 26 de nov.-2 de dic. de 1974.

 Rome, F.A.O. 44 p.
- Guerrero, R.D. III. 1982. Control of tilapia reproduction, p. 309-316. <u>In</u>: R.S.V. Pullin and R.H. Lowe-

- McConnell (eds.). The biology and culture of tilapias. ICLARM. Conference Proceedings 7,
 International Center for Living Aquatic Resources
 Management, Manila, Philippines. 432 p.
- Harvey, B.J. y W.S. Hoar. 1980. Teoría y práctica de la reproducción inducida en los peces. Ottawa, Ont., CIID. 48 p.
- Henderson-Arzapalo, A. et al. 1980. Inmune hypersensitivity in intensively cultured tilapia especies. Trans.

 Amer. Fish. Soc. 109: 244-247.
- Hepher, B. 1978. Ecological aspects of warm water fish ponds management. <u>In</u>: Ecology of Freshwater Fish Production. S.D. Gerking Ed. Blackwell Scientific Publication. 519 p.
- Hickling, C.F. 1962. Fish culture. Faber and Faber. London.
 295 p.
- Huet, M. 1983. Tratado de piscicultura. Tercera edición.
 Ediciones Mundi-Prensa. Castelló,37. Madrid-1.
 753 p.
- Iles, T.D. 1970. Dwarfing or stunting in the genus <u>Tilapia</u>

 (Cichlidae) a possibly unique recruitment

 mechanism. International council for the

 exploration of the sea, F.A.O. and ICNAF. A

 Symposium on Stock and Recruitment. 386 p.
- Jalabert, B. and Y. Zohar. 1982. Reproductive physiology in cichlid fishes, with particular reference to

- Tilapia and Sarotherodon, p. 129-140. In: R.S.V.

 Pullin and R.H. Lowe-McConnell (eds.). The biology

 and culture of tilapias. ICLARM. Conference

 proceedings 7, International Center for Livin

 Aquatic Resources Management, Manila, Philippines.

 432 p.
- Kohler, C.C. and F.A. Pagan-Font. 1978. Evaluations of rum distillation wastes, pharmaceutical wastes and chicken feed for rearing Tilapia aurea in Puerto Rico. Aquaculture. 14: 339-347.
- Mello, J.T.C.; F. Alzuguir e S.A. Toledo. 1979. Ensaio em piscicultura intensiva de <u>Tilapia rendalli</u>

 (Boulenger, 1896): analise quantitativa. Rev.

 Brasil. Biol. 39 (2): 377-381.
- Oliva, J.N.; W.V. Carvajal y A.A. Tresierra. 1982.

 Reproducción e Histología de Gónadas en Peces.

 Universidad Nacional de Trujillo. Departamente de Ciencias Biológicas. Trujillo, Perú. 93 p.
- Paiva, P. de. 1981. Ciclo reproductivo e crescimento de truta arco-íris, Salmo iredens Gibbons (Ostichthyes, Salmoniformes, Salmonidae) em cultivo intensivo.

 Dissertação de Mestrado. Departamento de Ciencias Biológicas. Universidade Federal de São Carlos.

 109 p.
- Pereira, J.A. 1980. Aspectos da fase de pré-estocagem em piscicultura intensiva. Universidade Federal de

- São Carlos, Departamento de Ciencias Biológicas.
 Dissertação de Mestrado. 68 p.
- Peret, A.C. 1980. Aspectos da influência da densidade

 populacional em cultivo intensivo com curimatā
 comun <u>Prochilodus cearensis</u> Steindachner

 (Prochilodontidae-Prochilodinae). Univ. Federal

 de São Carlos, Departamento de Ciencias Biológicas.

 Dissertação de maestrado. 87 p.
- Philippart, J-Cl. and J-Cl. Ruwet. 1982. Ecology and distributin of tilapias, p. 15-59. In: R.S.V.

 Pullin and R.H. Lowe-McConnell (eds.). The biology and culture of tilapias. ICLARM, Conference

 Proceedings 7. International Center for Living Aquatic Resources Management, Manila, Philippines. 432 p.
- Pineiro, F.A.; J.W.B. Silva e J.D. Chacón. 1978. Aálisis quantitativa em um ensaio de criação de bagre blanco (Selenasois herzbergii) Bloch, 1974, em viveiro do Centro de Pesquisas Ictiológicas "Rodolph von Ihering", Pentecoste, Ceará, Brasil. (Pisces: Osteichthyes, Cyprinniformes, Ariidae).

 In: Resumos de I Simp. Bras. de Aquic. Recife, UFPE/SUDENE. p. 83-84.
- Porras, D. 1981. Sobre la utilización en acuicultura de fertilizantes orgánicos (desechos y excretas).

 Rv.Lat. de Acui., México, D.F. Setiembre 1981.

- Nº 9: 6-10 p.
- a utilizar con los fertilizantes orgánicos en

 Acuicultura. Revista Latinoamericana de Acuicultura.

 Nº 20: 22-32.
- Pretto, R.M. 1980. Aprovechamiento de las aguas y excretas de la emplotación porcina para el cultivo de peces en Panamá. Rev. Lat. Acui. Lima, Perú. Nº 3: 29-35.
- Pullin, R.S.V. and R.H. Lowe McConnell. 1982. The biology and culture of tilapias. International Center for Living Acuatic Resources Management. Manila, Philippines. 432 p.
- Rappaport, U. and S. Sarig. 1975. The results of test in intensive growth of fish at the Genosar (Israel)

 Station Ponds in 1974. Bamidgeh. 27(3): 75-82.
- Rappaport, U. and Y. Bejarano. 1977. Observation on the use of organic fertilizers in intensive fish farming at the Genosar Station in 1976. Bamidgeh. 29: 57-70.
- Ricker, W.E. 1968. Methods for assessment of fish production in fresh waters. Willmer brothers limited. Great Britain. 313 p.
- Rossi, C.L. del B. 1974. Estudo das variações da relação peso total/ comprimento total em função do ciclo reproductivo e comportamento de Sardinella

- brasiliensis (Steindachner, 1879), da costa do Brasil entre 23° S e 28° S. São Paulo, Instituto de Biociências da U.S.P. Dissertação de mestrado. 50 p.
- Royce, W.F. 1972. Introduction to the fishery sciencies.

 New York, Academic Press. 351 p.
- Ruiz, R.B. 1980. Introducción de la tilapia en Costa Rica.

 Revista de la Asociación Bananera Nacional. 12(4): 7.
- Santos, E.P. 1978. Dinâmica de população aplicada à pesca e piscicultura. Hucitec, Ed. Universidade de São Paulo. 129 p.
- Sarig, S. and Y. Arieli. 1980. Grow capacity of tilapia in intensive culture. Bamidgeh. 32(3): 57-65.
- Silva, A.B. da; A.C. Dobrinho; L.L. Lovshin; J.W.B. Silva e

 F.R. Melo. 1978. Análise quantitative de um ensaio

 preliminar sobre a criação intensiva de pirapitinga

 Colossoma bidens Spix. In: Resumos do I Simpósio

 Brasileiro de Aquicultura. Recife. UFPE/SUDENE,

 69 p.
- Silva, J.E. 1975. Cultivo da tainha (<u>Mugil curema Valenciennes</u>, 1836) em condições experimentais. Estudo da variação da biomassa. Inst. Bioc. Departamento de Fisiología Geral USP.S.P. Dissertação de Mestrado. 74 p.
- Spataru, P. and M. Zorn. 1978. Food and feeding habits of

 <u>Tilapia aurea</u> (Steir chner) (Cichlidae) in Lake

- Kenneret (Israel). Aquaculture. 13: 67-79.
- Tundisi, J.G. 1981. Handbook of contemporary developments in World ecology. Eds. E.J. Kormondy and F. McCormick. Greenwood Press. pp. 3-22.
- Tundisi, J.G. e T.M. Tundisi. 1976. Produção orgânica em ecossistemas aquaticos. Revista Ciencia e Cultura. 28(8): 864-887.
- Verani, J.R. 1980. Controle populacional em cultivo intensivo consorciado entre a tilapia do Nilo, <u>Sarotherodon niloticus</u> (Linnaeus, 1757) e o tucunaré comun <u>Cichla ocellaris</u> Schneider, 1801. Aspectos quantitativos. Universidade Federal de São Carlos. Departamento de Ciencias Biológicas. São Carlos, São Paulo, Brasil. 116 p.
- Vinatea, J.E. 1982. Acuicultura Continental. Libreria Stadium. Lima, Perú. 229 p.
- Wahby, S.D. 1974. Fertilizing fish ponds. I Chemistry of the waters. Aquaculture. 3: 245-259.
- Walford, L.A. 1946. A new graphic method of describing the growth of animals. Biol. Bull. 90(2): 141-147.
- Wetzel, R.G. 1981. Limnología. Ediciones Omega, S.A.
 Casanova, 220. Barcelona-36. 679 p.
- Wohlfarth, G.W. and G.I. Hulata. 1981. Applied genetics of tilapias. ICLARM. Manila, Philippines. 21 p.
- Woynarovich, E. y L. Horváth. 1981. Propagación artificial de peces de aguas templadas: manual para extensionistas

F.A.O., Doc. Téc. Pesca. (201): 187 p.

los ejemplares de <u>Oreconnonts aureus</u> muestrendos, .

culhocomulmente, en ensego somos el culturo a situa dendifectes
de ciembro.

		es/e ²		
Pedna de muchtres				
22-05-85				
	9,92	19.44		25,21
			32,12	
05-00-85				
06-09-85				31.40
20-11-85	8.21	111.52		
2-01-56	11.28			24.16
	12,90	38.10		

Cuadro N° 1 Datos de tamaño tatal medio (\bar{L}_{T}) y peso total medio (\bar{W}_{T}) de los ejemplares de Oreochromis aureus muestreados, quincenalmente, en ensayo sobre el cultivo a altas densidades de siembra.

Densidad de siembra	a 5 pec	ces/m ²	10	peces/m2	15 pe	eces/m ²
Fecha de muestreo	Ē _T (cm))	W _T (g)	L _T (cm)	W _T (g)	Ī _T (cm)	W _T (g)
Ensayo Nº	1					1.75
22-05-85	8.70	15.60	7.21	6.19	9.80	15.70
07-06-85	9.12	16.85	9.77	19.26	10.68	24.19
21-06-85	9.92	19.44	10.27	20.41	11.17	25.21
09-07-85	11.36	28.40	10.91	25.20	11.44	27.06
24-07-85	12.19	33.40	11.35	26.18	12.15	33.26
08-08-85	12.75	39.25	11.83	32.12	12.19	32.65
22-08-85	13.07	39.10	12.18	33.33	12.42	34.48
04-09-85	27 5	-	12.23	30.40	-	
05-09-85	13.20	38.90	_	41.55	5 - 39 - 131	_24,72
06-09-85	21 05	-	-	-	12.51	31.40
Ensayo Nº	2					
06411-85	6.05	5.44	7.79	9.49	4.20	4.72
20-11-85	8.21	11.52	10.20	19.23	6.40	6.04
06-12-85	9.47	15.47	10.43	22.18	6.81	7.14
20-12-85	10.01	20.14	11.08	24.17	7.60	8.73
07-01-86	11.25	27.04	12.00	33.72	9.67	17.47
22-01-86	11.29	27.27	12.82	36.79	10.64	24.16
04-02-86	-	-	-	-	11.32	26.34
05-02-86	76,45	70_71	13.67	45.75	5 - 68.6	7 - 66.3
06-02-86	12.59	38.10	_		-	

Cuadro Nº 2

Información general sobre el cultivo de <u>Oreochromis aureus</u> a diferentes densidades.

Densidades		Ensayo N	0 1		Ensayo Nº	2
de siembra	peces/m ²	10 peces/m ²	15 peces/m ²	peces/m ²	10 peces/m ²	AF
lamaño de estanque m²)	1065	990	870	1065	990	870
de peces sembrados	5325	9900	13050	5325	9900	13050
lamaño ini- ial x (cm)	8.70	7.21	9.80	6.05	7.79	4.20
lamaño fi- ial x (cm)	13.20	12.23	12.51	12.59	13.67	11.32
anancia en tamaño (cm)	4.50	5.02	2.71	6.54	5.88	7.12
Peso ini- tial x (g)	15.60	6.19	15.70	5.44	9.49	4.72
eso final	37.57	32.42	30.52	31.555	39.131	24.725
anancia en peso (g)	21.97	26.23	14.82	26.115	29.641	20.005
ilogramos e peces embrados	83.07	61.28	204.880	28.968	93.951	61.596
ilogramos e peces otenidos	152.95	226.95	337.185	121.865	266.012	213.698
anancia en ilogramos	89.44	183.61	163.73	100.856	201.500	172.903
de sobre ivencia	76.45	70.71	84.66	72.53	68.67	66.23
de peces obrevivien es	4071	7000	11048	3862	6798	8643

Continuación cuadro Nº 2

Tensidades	Er	nsayo Nº1			Ensayo Nº2	2
te siembra -	seces/m ²	10 peces/m ²	15 peces/m ²	peces/m ²	10 peces/m ²	15 peces/m ²
Blogramos perdidos por morta- lidad	47.11	94.02	61.10	46.165	121.384	108.963
de mort <u>a</u>	23.55	29.29	15.34	27.47	31.33	33.77
anancia en gramos_ or día	0.2073	0.2498	0.1385	0.2839	0.3257	0.2223
anancia n gramos or m ²	0.0206	0.0265	0.0170	0.0245	0.0299	0.0230
anancia en Ha/año	3783.22	9117.70	7582.88	5180.42	11888.97	12169.71
de alev <u>i</u> es produ- idos	3195	7571	29	5494	3027	764
eríodo de	106	105	107	92	91	90

amplicud de la variable x (tamaño total medio- Lo

amplitud de la variable y (peso total medie-

valor del coeficiente angular de la regresion.

valor del coeficiente linear de la represion.

coeficiente de correlación linear de reasson.

Luadro N° 3
Latos de las regresiones entre los logaritmos naturales de \overline{L}_{T} y T, para Oreochromis aureus en los cultivos a diferentes densidades e siembra.

	-					
Densidad	N	A _X (cm)	A _y (gr)	ahaa O.a	ln Ø	lar
Ensayo Nº 1	9 10		OPENIDA E			
5 peces/m ²	8	8.70-13.20	15.60-38.90	2.3505	-2.3702	0.9960
10 peces/m ²	8	7.21-12.23	6.19-30.40	3.1069	-4.2463	0.9904
15 peces/m ²	8	9.80-12.51	15.70-31.40	2.9377	-3.8719	0.9687
nsayo N°2			2,5305	2.04	0.0000	
5 peces/m ²	7	6.05-12.59	5.44-38.10	2.6454	-3.1093	0.9972
o peces/m ²	7	7.79-13.67	9.49-45.75	2.8006	-3.5065	0.9967
5 peces/m ²	7	4.20-11.32	4.72-26.34	1.9065	_1.4943	0.9493

⁼ número de pares de datos empíricos analizados.

 $_{\rm x}$ = amplitud de la variable x (tamaño total medio= $\bar{\rm L}_{\rm T}$).

y = amplitud de la variable y (peso total medio= \overline{W}_T).

⁼ valor del coeficiente angular de la regresión.

In Ø = valor del coeficiente linear de la regresión.

⁼ coeficiente de correlación linear de Pearson.

valores quincensies del feater de condición (2 10⁻²)

Cuadro Nº 4

84402.05

Parámetros \emptyset y θ de la relación peso total-tamaño total y factor de condición medio "corregido" (\emptyset) obtenido mediante el valor estimado de θ total, de <u>Oreochromis aureus</u>, en las diferentes densitades de siembra.

Densidades de siembra de		Pará	metros	2.5/
o. aureus	Ø	е	e total	ø
Ensayo Nº1	6.6		105	2.98
5 peces/m ²	0.0935	2.3505	2.71	0.0682
10 peces/m ²	0.0143	3.1069	2.71	0.0201
15 peces/m ²	0.0208	2.9377	2.71	0.0255
Ensayo N ⁰ 2				
5 peces/m ²	0.0446	2.6454	20 2.71	0.0423
10 peces/m ²	0.0300	2.8006	2.71	0.0325
15 peces/m ²	0.2244	1.9065	25 2.71	0.1290

Cuadro N°5

Valores quincenales del factor de condición (Ø 10-2)

estimados a partir del valor de e considerado constante

para Oreochromis aureus (2.71) en las diferentes densidades

de siembra

Período de	Densidad	de siembra de C	aureus
muestreo •	5 peces/m ²	10 peces/m ²	15 peces/m ²
Ensayo N ^O 1	The state	in 9 _{pt} in	g = g in T _g
22-05-85	7.09	1.87	2.51
07-06-85	7.03	1.98	2.53
21-06-85	6.94	2.00	2.54
09-07-85	6.79	2.02	2.55
24-07-85	6.72	2.03	2.56
08-08-85	6.68	2.05	2.56
22-08-85	6.66	2.06	2.57
04-09-85	- /2.000	2.06	
05-09-85	6.65	2-8719 +	10777 22 52
06-09-85		_	2.57
Ensayo Nº 2			
5 odens/m o	.0445 7 (2.845)	-5,9095 +	P. SASA IN E.
06-11-85	4.29	3.20	16.79
20-11-85	4.25	3.24	13.65
06-12-85	4.23	3.24	13.29
20-12-85	4.23	3.25	12.71
07-01-86	4.21	3.26	11.62
22-01-86	4.21	3.27	11.24
04-02-86 .	-	-	11.01
05-02-86	_	3.25	
06-02-86	4.23		

Expresiones matemáticas de las curvas de las relaciones peso total-tamaño total medios y de las rectas de las regresiones lineares entre los logarítmos de esas variables, establecidas para Oreochromis aureus en cultivos a altas densidades de siembra

Densidad de siembra	$\overline{\mathbb{W}}_{\mathrm{T}} = \emptyset \ \mathbb{L}_{\mathrm{T}}^{\Theta}$	$\ln \overline{W}_{T} = \ln \emptyset + \theta \ln \overline{L}_{T}$
Ensayo Nº 1		9 4 1 9 9 9
5 peces/m ²	0.0935 L _T (2.3505)	-2.3702 + 2.3505 ln Ī _T
10 peces/m ²	0.0143 T _T (3.1069)	-4.2463 + 3.1069 ln L _T
15 peces/m ²	0.0208 L _T (2.9377)	-3.8719 + 2.9377 ln L _T
Ensayo Nº 2		26 22 26 1 1 8 1 2 1 2 1 2 1 2 1 2 1 2 1 2 1 2 1
5 peces/m ²	0.0446 L _T (2.6454)	-3.1093 + 2.6454 ln L _T
10 peces/m ²	0.0300 I _T (2.8006)	-3.5065 + 2.8006 ln L _T
15 peces/m ²	0.2244 I _T (1.9065)	-1.4943 + 1.9065 In L _T

relación entre los tamaños relativos L_T y los respectivos tiempos relativo T*, con los valores estimados del coeficiente de correlación lineal de Peat Regresiones lineales de la transformación de Ford-Walford: Inter= f (In) para O. aureus, en las diferentes densidades de siembra.

The state of the same of the s	1	
Densidad de siembra de O. aureus	Regresión lineal entre Lu y Lu+Au	Regresión lineal entre $L_{T} = \ln \begin{pmatrix} L_{\infty} - \frac{L_{T}}{L_{\infty}} \end{pmatrix}$ y T*
Ensayo Nº 1	18.054.1 L = -0.0444(2 +34.8704	
5 peces/m ²	5 peces/m ² I _{T+4} T =1.9856+0.8781 I _T 0.9724	LT= -0.7197 - 0.0096 T*
10 peces/m ²	L_L+AL 5.5739+0.5376 L_ 0.9480	IT= -0.6606 - 0.0444 T*
15 peces/m ²	15 peces/m ² I _{T+4T} = 3.6018+0.7182 I _T 0.9691	LT= -1.4016 - 0.0227 T*
Ensayo Nº 2		
5 peces/m ²	5 peces/m ² $L_{T+\Delta T} = 3.5651+0.7361 L_{T}$ 0.9468	IT= -0.5784 - 0.0198 T*
10 peces/m ²		LT= -0.7100 - 0.0229 T*
15 peces/m ²	LT+4T= 2.3525+0.8456 LT 0.9472	LTE -0.3047 - 0.0113 T*

Expresiones matemáticas de las curvas de crecimiento en tamaño $(\bar{\mathbf{L}}_{\mathrm{T}})$ y en peso $(\bar{\mathbf{w}}_{\mathrm{T}})$ de

O. aureus en las diferentes densidades de siembra.

Densidad de siembra de O. aureus	Curva de crecimiento en tamaño $\bar{L}_{T} = \bar{L}_{\omega} \left[1 - e^{-K(T + T e)} \right]$	Curva de crecimiento en reso $\bar{W}_T = W_o \left[1 - e^{-K} (T + T_e) \right]^2$
Ensayo Wo 1		
5 peces/m ²	5 peces/m ² 16.2888[1 - e-0.0096(T +74.9688)]	131.2211 [1 - e-0.0096(T + 74.9688)]F71
10 peces/m ²	12.0543[1 - e-0.0444(T +14.8784)]	17.1037 [1 - e-0.0444(T + 14.8784) 2.71
15 peces/m ²	15 peces/m² 12.7814[1 - e-0.0227(T +61.7445)]	25.4313 [1 - e-0.0227(T + 61.7445] ^{2.71}
Ensayo 110 2	101	
5 peces/m ²	5 peces/m ² 13.5093[1 - e-0.0198(T +29.2121)]	49.0180 [1 - e-0.0198(T + 29.2121]2.71
10 peces/m ²	14.2424 [1 - e-0.0229(T +31.0044)]	43.4604 [1 - e-0.0229(T + 31.0044)2.11
15 peces/m ²	15 peces/m ² 15.2364 [1 - e-0.0113(T +26.9646)]	207.1099 [1 - e-0.0113(T + 26.9646) ^{2.11}

Expresiones matemáticas de las curvas de biomasa ($\mathbb{B}_{\mathbb{T}}$) de $\underline{\mathbb{O}}_{\bullet}$ aureus en las diferentes densidades de siembra.

Densidad de siembra	Expresión matemática de la curva de biomasa $B_T = R S_{AT}^{\dot{T}} V_{\infty} \left[1 - e^{-K(T + T_e)} \right]^{\Theta}$
Ensayo Nº 1	
5 peces/m ²	5325(0.9975) ^T 131.2211 [1-e ^{-0.0096(T+74.9688)]^{2.7}}
10 peces/m ²	9900(0.9967) ^T 17.1037 [1-e-0.0444(T+14.8784)] ² .7
15 peces/m ²	13050(0.9984) ^T 25.4313 [1-e-0.0227(T+61.7445)] ^{2.71}
Ensayo Nº 2	
5 peces/m ²	5325(0.9965) ^T 49.0180 [1-e-0.0198(T+29.2121) ^{2.71}
10 peces/m ²	9900(0.9959) ^T 43.4604 [1-e-0.0229(T+31.0044)] ^{2.71}
15 peces/m ²	13050(0.9954) T207.1099 [1-e-0.0113(T+26.9646)]2.71

Valores estimados de los parámetros B_m (valor teórico de biomasa máxima esperada), T_B (tiempo requerido para alcanzar la biomasa máxima) y T_B (índice de rendimiento en biomasa) obtenidos de los ensayos de cultivo de \underline{O} . aureus a diferentes densidades de siembra.

Densidad de siem- bra de <u>O</u> . <u>aureus</u>	B _m (kg)	T _{Bm} (días)	I _B
Ensayo N ^O 1	1 1 1 1 1 1 1 1 1 1 1 1 1 1 1 1 1 1 1 1	9 7.28 4 9	a5.97 - 34
5 peces/m ²	348.698	328.47	1.0616
10 peces/m ²	126.266	96.48	1.3087
15 peces/m ²	263.752	223.55	1.1798
Insayo N° 2		10 - 10 - 10 - 10 - 10 - 10 - 10 - 10 -	
5 peces/m ²	148.684	170.30	0.873
10 peces/m ²	249.690	152.50	1.6373
15 peces/m ²	914.303	207.04	4.4161

Cuadro Nº 11

Variaciones de temperatura (T °C), oxígeno disuelto (O2) y pH*,

durante el período de cultivo de O. aureus en las diferentes

densidades de siembra.

Período		Densi	dad de	siembr	a de <u>O</u> .	. aure	us		
de muestreo	5 peces/m ²			10 peces/m ²			15 peces/m ²		
	T °C	ō ₂	рН	T °C	ō ₂	pH	Ī °C	ō2	pН
Ensayo Nº	1			162					
07-06-85	29.00	3.50	-	28.68	3.64		28.83	3.62	-
21-06-85	27.60	4.10	-	27.79	3.28	-	27.97	3.59	-
09-07-85	27.62	3.53	-	27.73	3.23	-	27.83	3.39	_
24-07-85	27.14	1.99	-	27.12	2.94	-	26.56	2.78	-
08-08-85	26.67	1.32	-	26.58	1.47	-	26.92	1.26	-
22-08-85	26.67	0.50	-	27.33	0.50	-	26.92	0.62	-
Ensayo N ^O	2							9	
20-11-85	26.60	5.31	6.92	26.54	5.23	6.90	26.39	4.90	6.90
06-12-85	26.33	5.00	6.70	26.48	4.71	6.90	26.42	4.83	6.35
20-12-85	26.50	4.80	6.73	26.30	4.41	6.52	26.35	4.50	6.60
07-01-86	25.56	4.27	6.42	25.61	4.00	6.53	25.70	4.15	6.48
22-01-86	24.42	4.50	6.74	24.54	4.02	6.82	24.62	4.59	6.65
04-02-86		-	-	-	-	-	24.91	3.55	6.04
05-02-86		-	-	24.98	3.41	6.53	-	_	
06-02-86	25.15	3.29	6.1	-	-	-	-	_	_

^{★ =} El pH no se cuantifi en el ensayo Nº1 debido a fallas en el equipo de medició:

Cuadro Nº 12

Variación de los parámetros Temperatura ambiental (°C) y

precipitación en el período comprendido entre junio de 1985

y febrero de 1986 en la Estación Experimental "Los Diamantes".

Meses	T.	máxima	T. minima	T. media	Lluvia
Junio	1985	28.4	21.2	24.8	673.9
Julio	1985	28.2	20.5	. 24.4	249.4
Agosto	1985	28.3	21.8	25.1	485.8
Setiembre	1985	29.4	20.2	24.8	345.9
Octubre	1985	28.6	20.0	24.3	367.6
Noviembre	1985	27.9	19.7	23.8	343.2
Diciembre	1985	27.3	20.0	23.7	228.1
Enero	1986	26.2	17.9	22.1	364.8
Febrero	1986	27.8	17.6.	22.7	51.0

Fuente: Estación Agrometereológica de Los Diamantes.

Cuadro Nº 13

Valores promedios del Indice Gonado-Somático (IGS) para los diferentes estadios de maduración gonadal de las hembras de O. aureus y sus respectivas desviaciones estandar.

stadío de desarrollo nadal	I.G.S. + Desvia- ción standar	n*
oven	0.3846 ± 0.2960	28
aduración inicial	0.7563 + 0.4985	19
aduración intermedia	1.8386 + 0.7066	22
aduración avanzada	2.2716 ± 0.8232	19
adura	4.0959 + 1.1597	44
eproducción	1.5233 + 1.0700	18
eproducción	1.5255 = 1.0700	18

^{* =} número de ejemplares

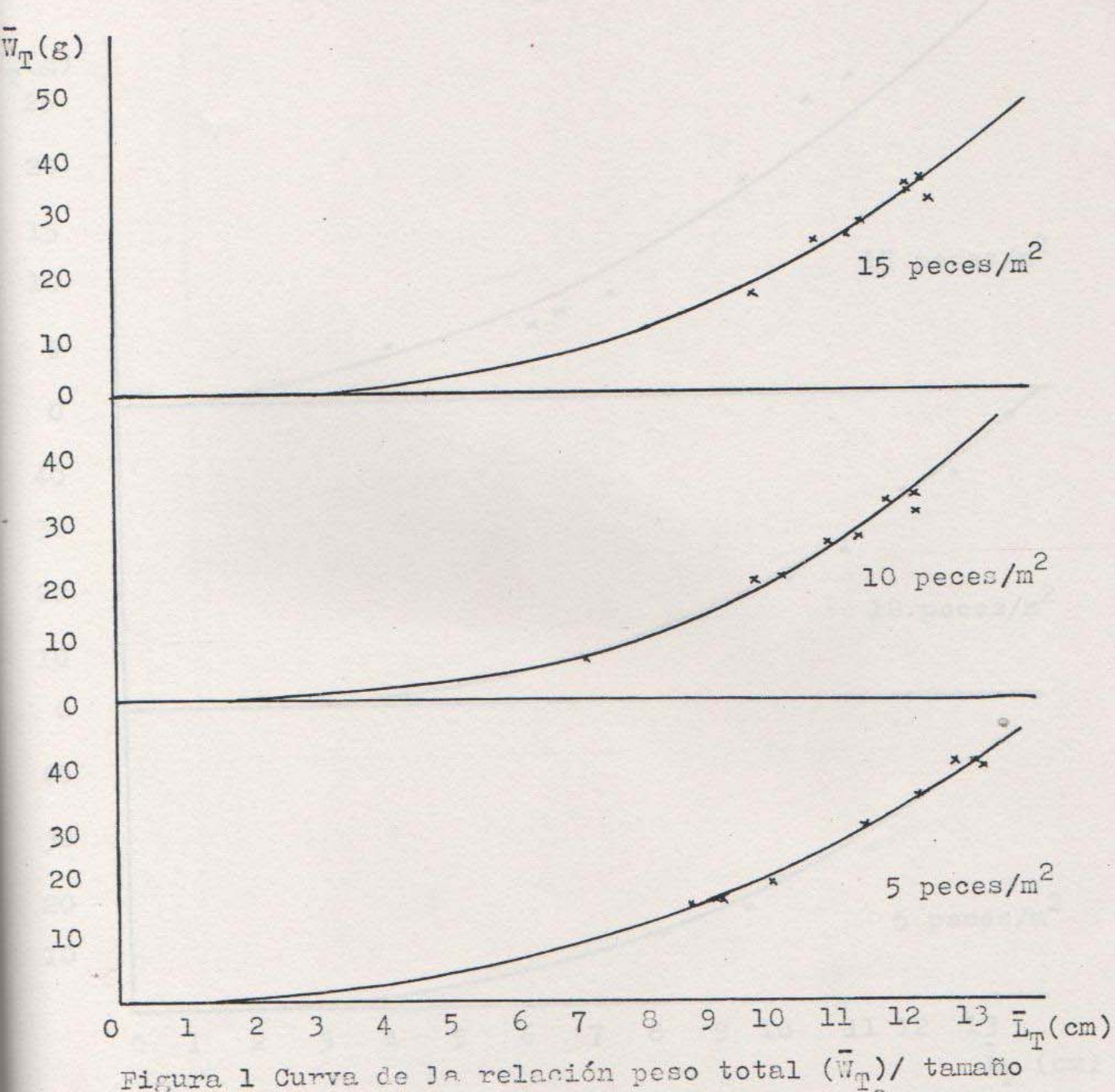


Figura 1 Curva de la relación peso total $(\overline{W}_{\mathrm{T}})/$ tamaño total (\overline{L}_{T}) de O. aureus. Ensayo \overline{N}° 1.

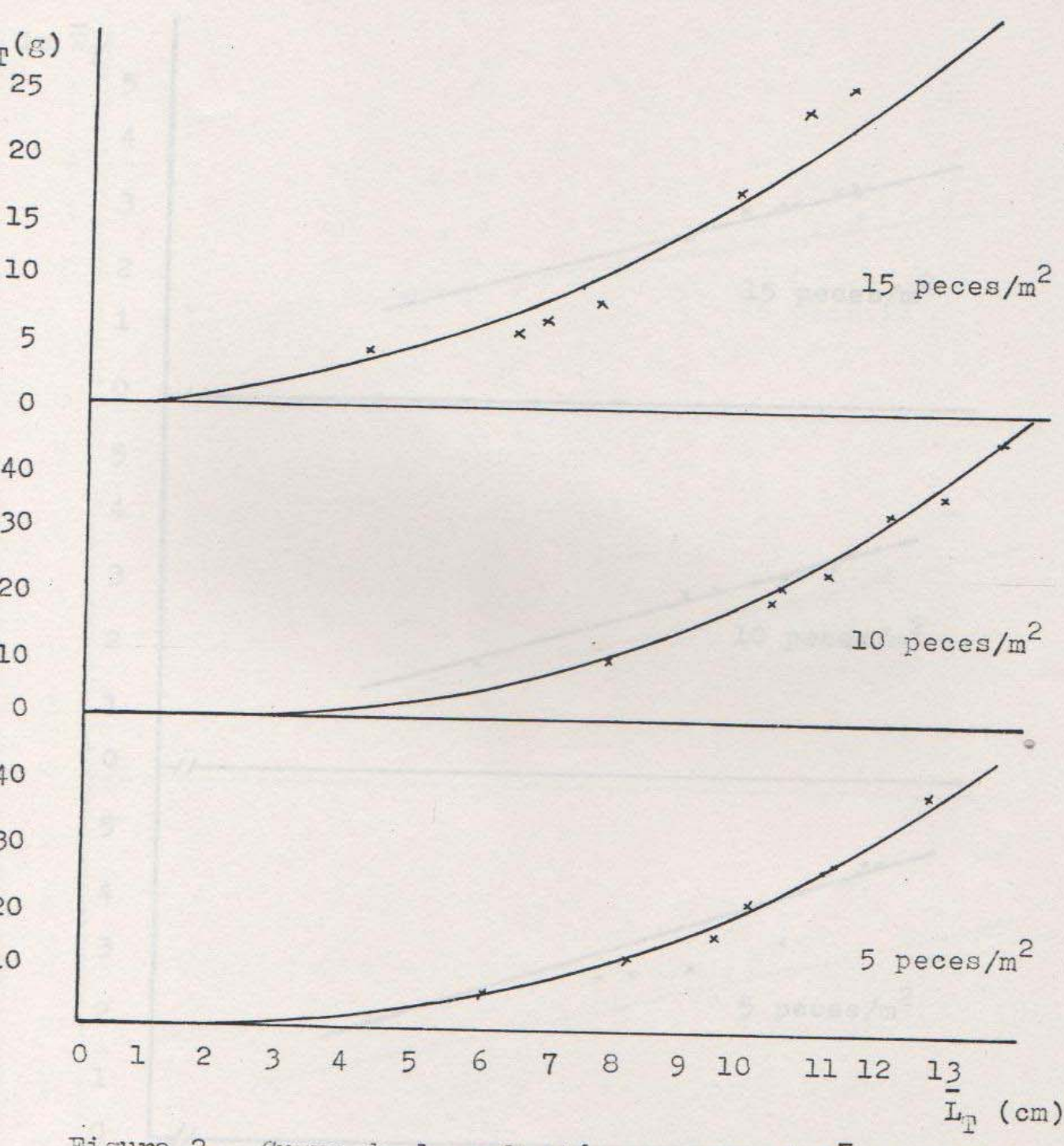


Figura 2. Curva de la relación peso Total (WT)/ tamaño total (LT) de O. aureus. Ensayo No 2.

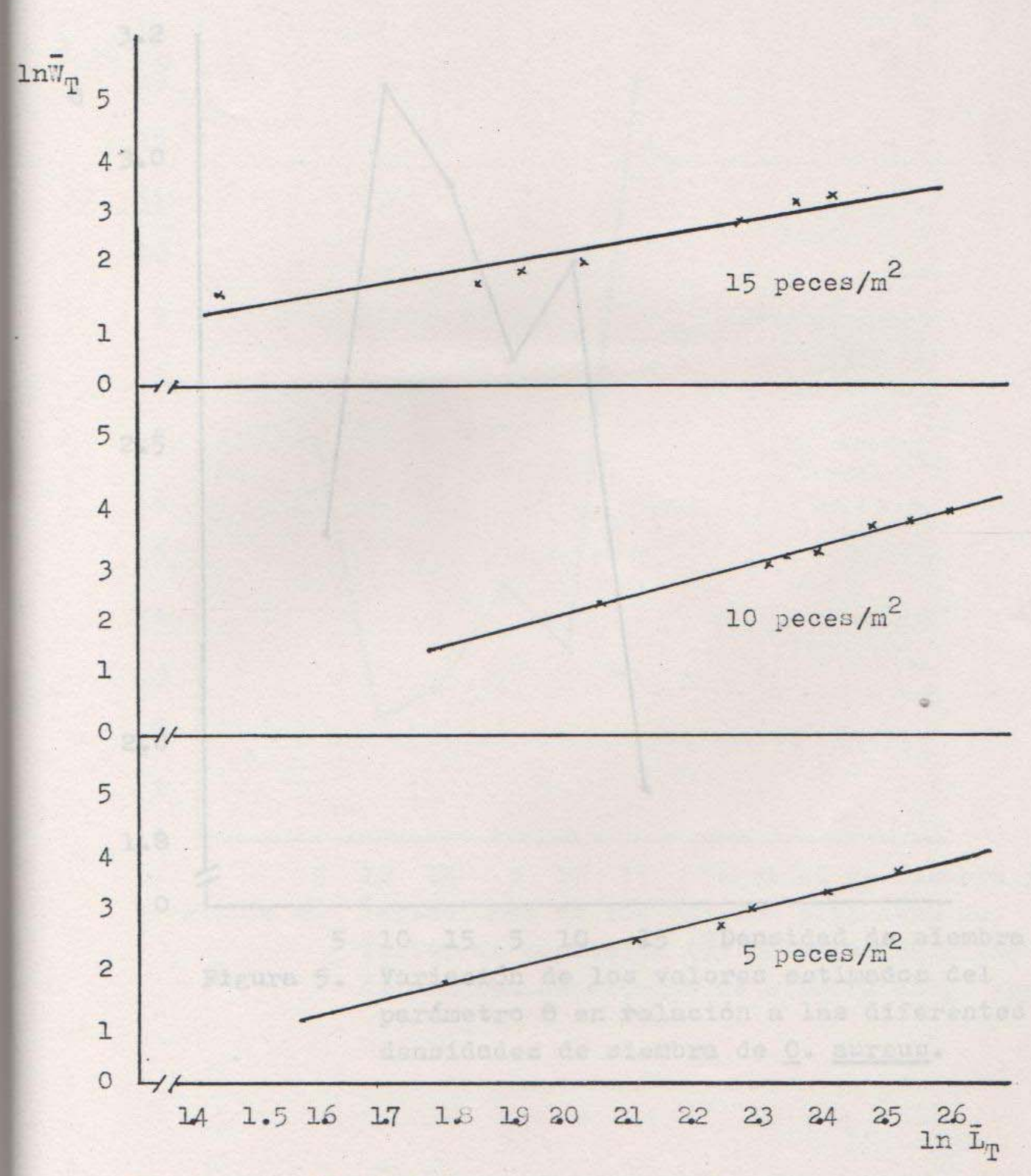


Figura 4. Relación linear entre el ln del peso total medio y el tamaño total medio de <u>O. aureus</u>.

Ensayo N^O 2.

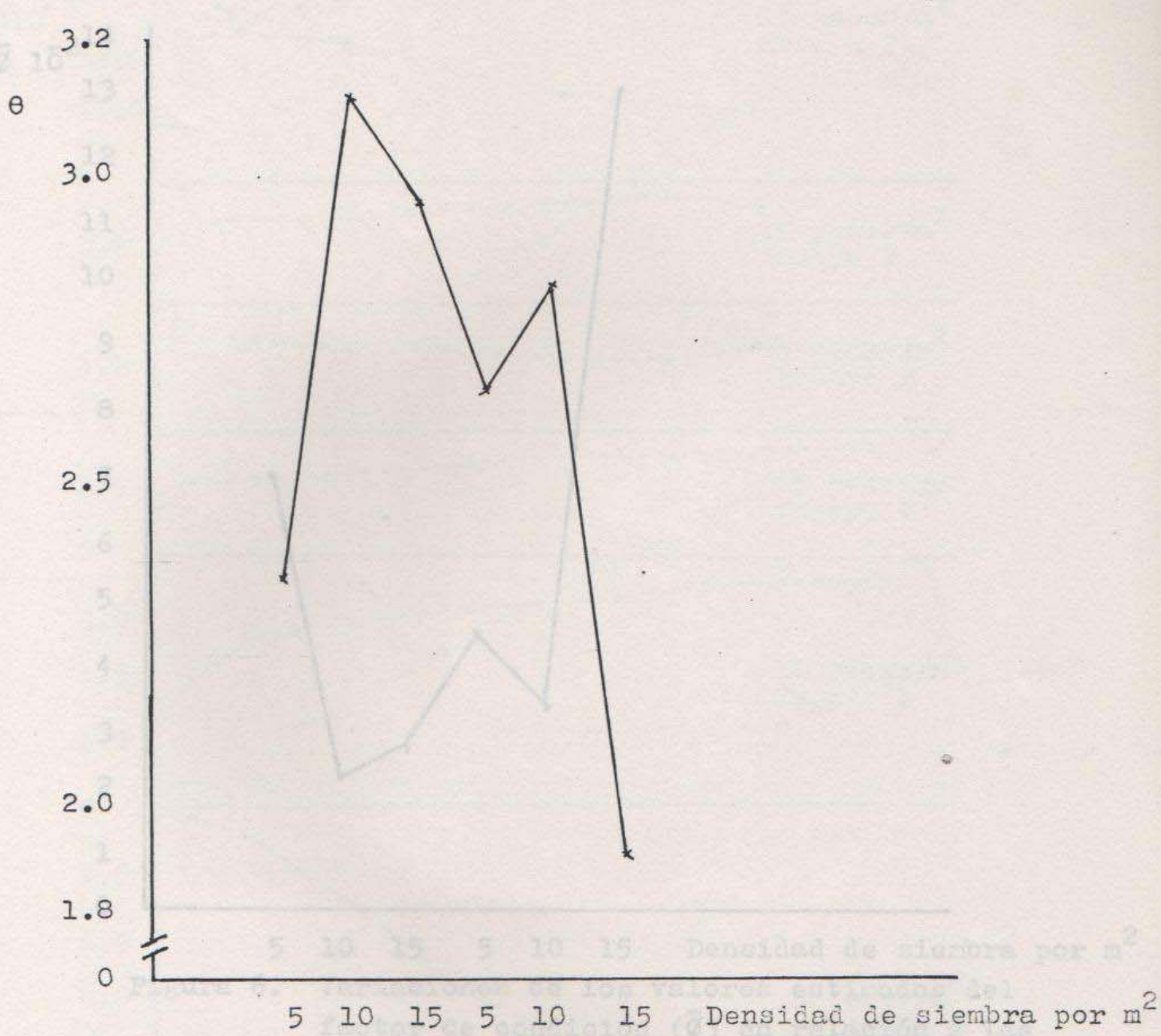
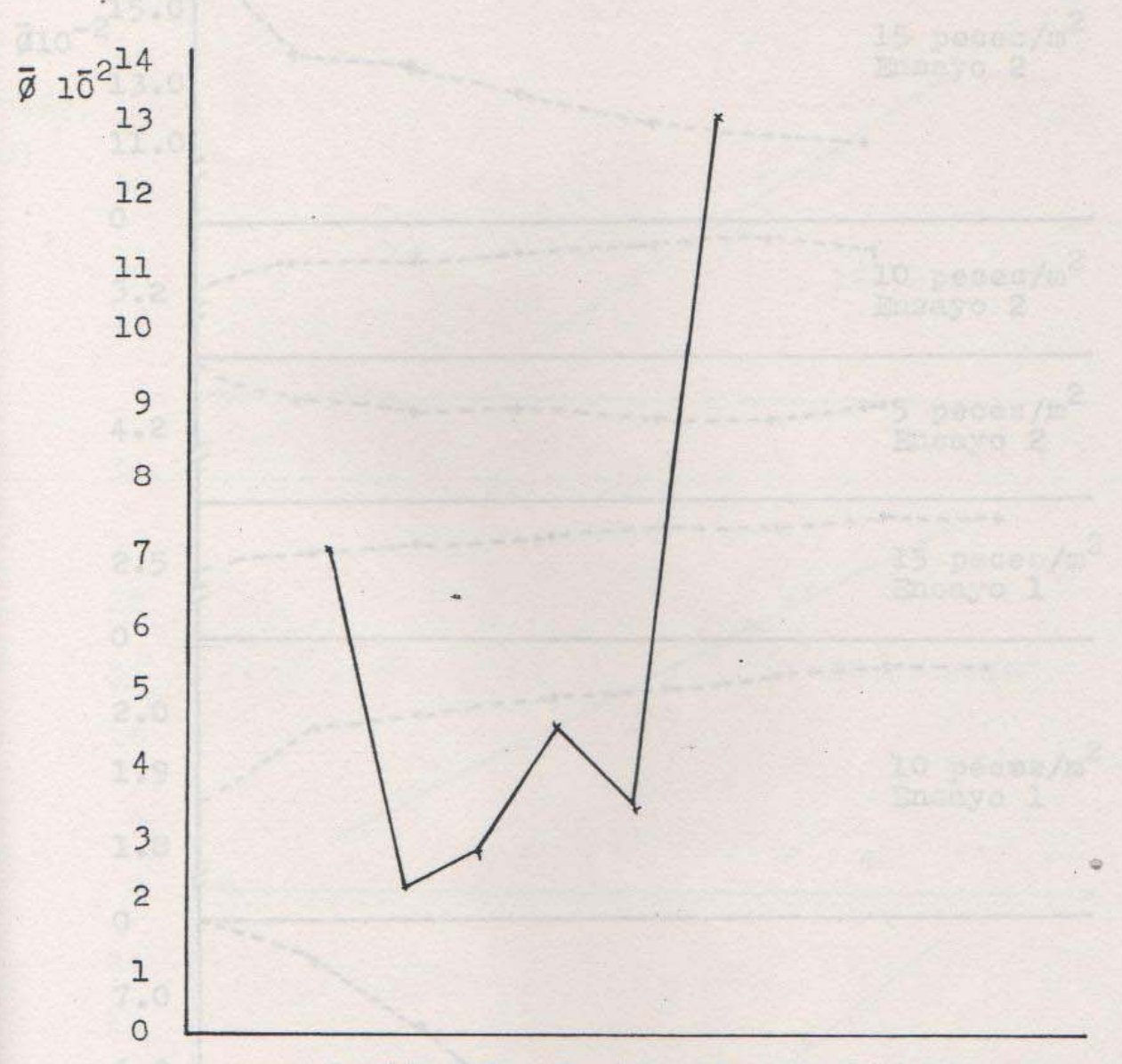


Figura 5. Variación de los valores estimados del parámetro θ en relación a las diferentes densidades de siembra de <u>O</u>. <u>aureus</u>.



10 15 5 10 15 Densidad de siembra por m² Figura 6. Variaciones de los valores estimados del factor de condición $(\bar{\emptyset})$ en relación a las diferentes densidades de siembra de O. aureus

tiense de culture de Commune en les

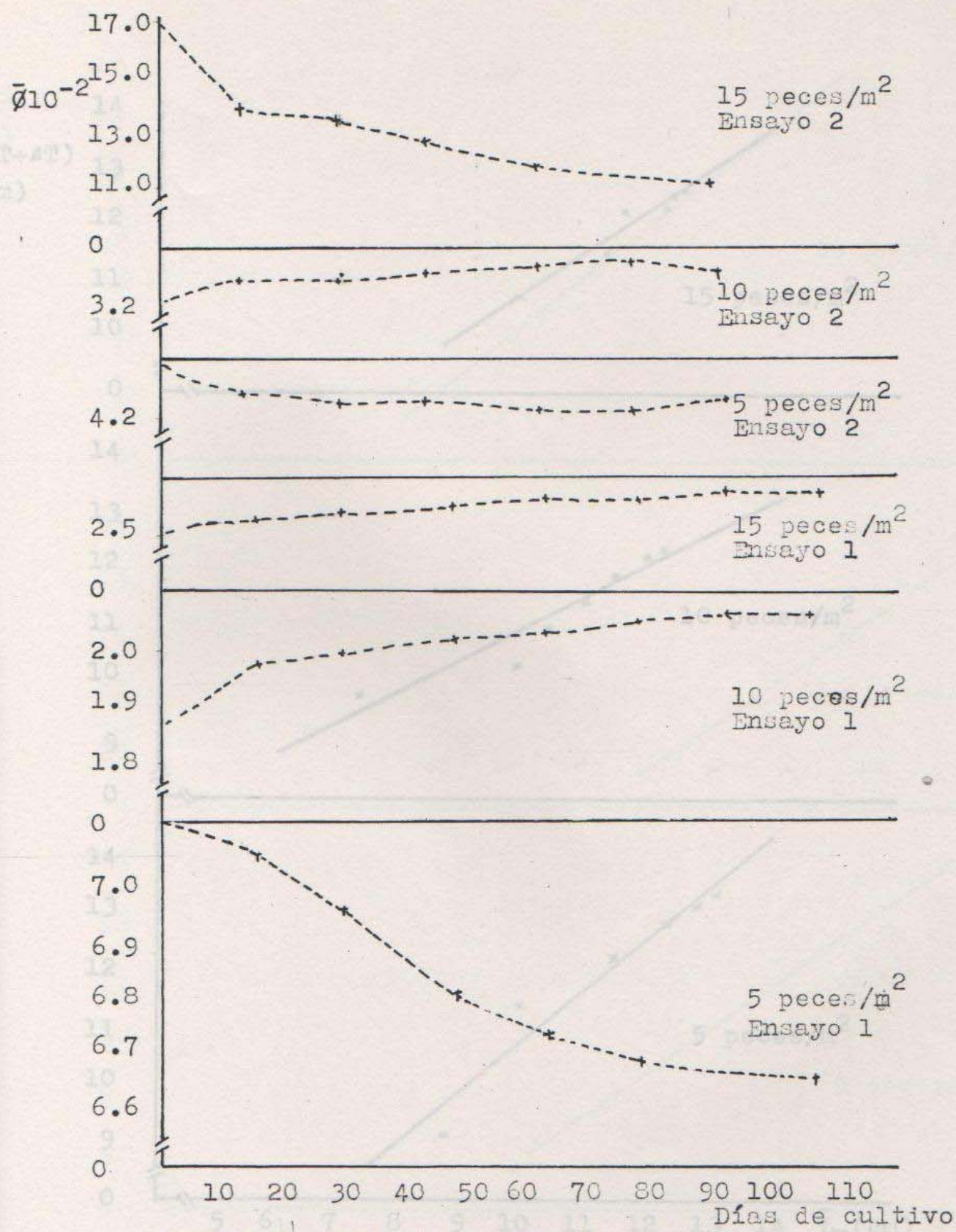


Figura 7. Variación de valores estimados del factor condición corregido (Ø) en función del tiempo de cultivo de O. aureus en las diferentes densidades de siembra.

entes Consideres de siemb

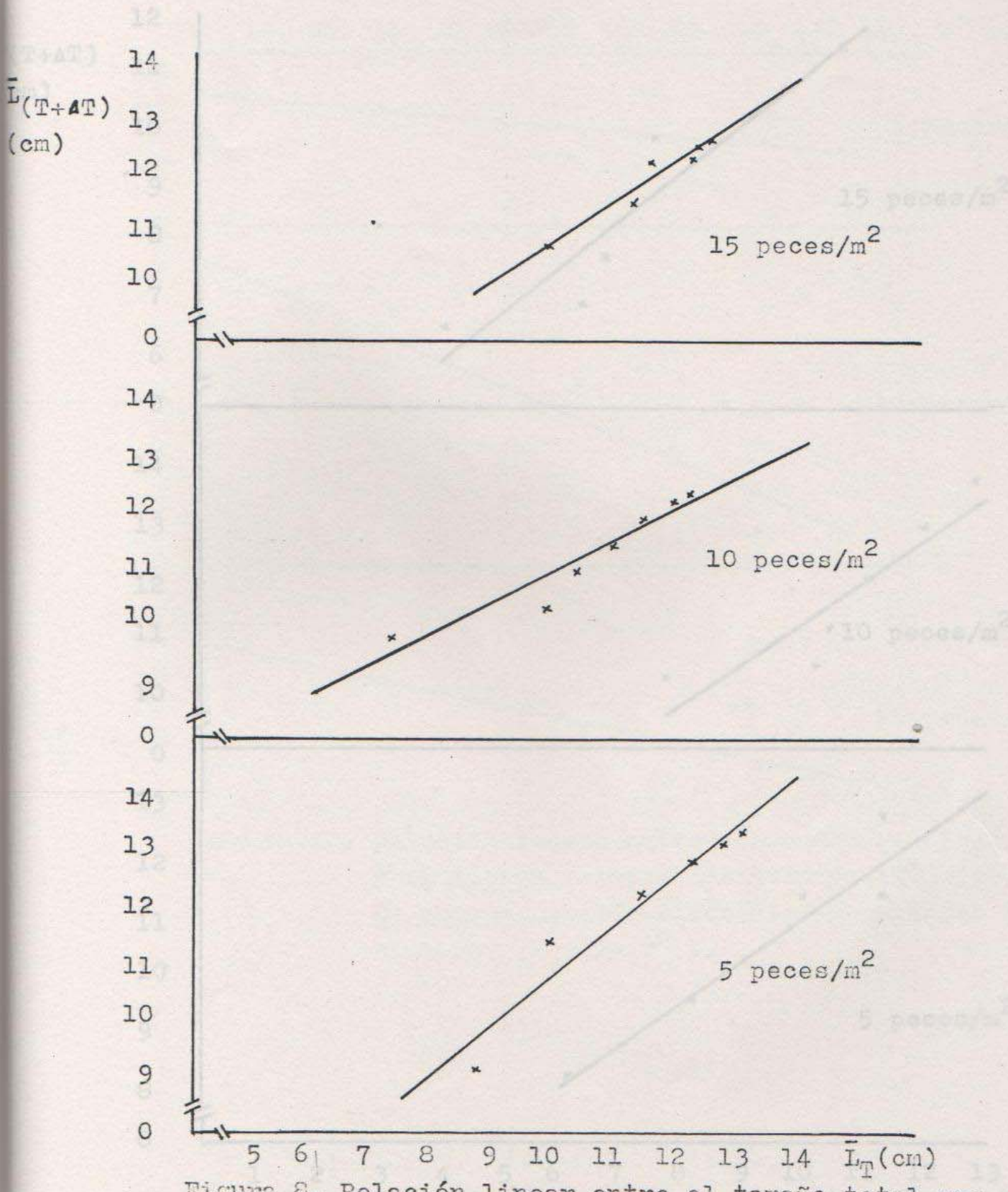
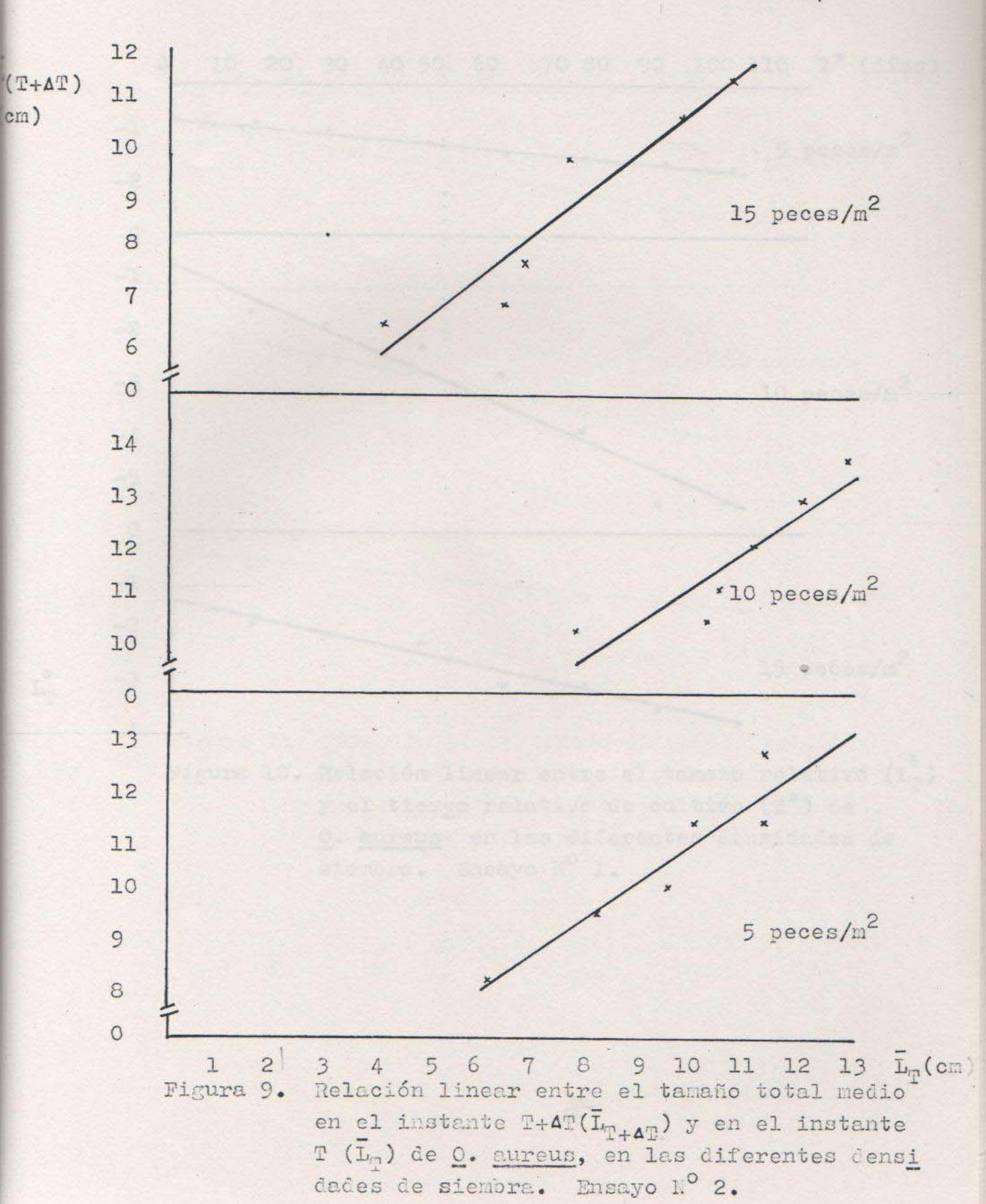


Figura 8. Relación linear entre el tamaño total promedio en el instante T+4T (LT+AT) y en el instante T (LT) de C. aurens, en las diferentes Censidades de siembra. Ensayo Nº1.



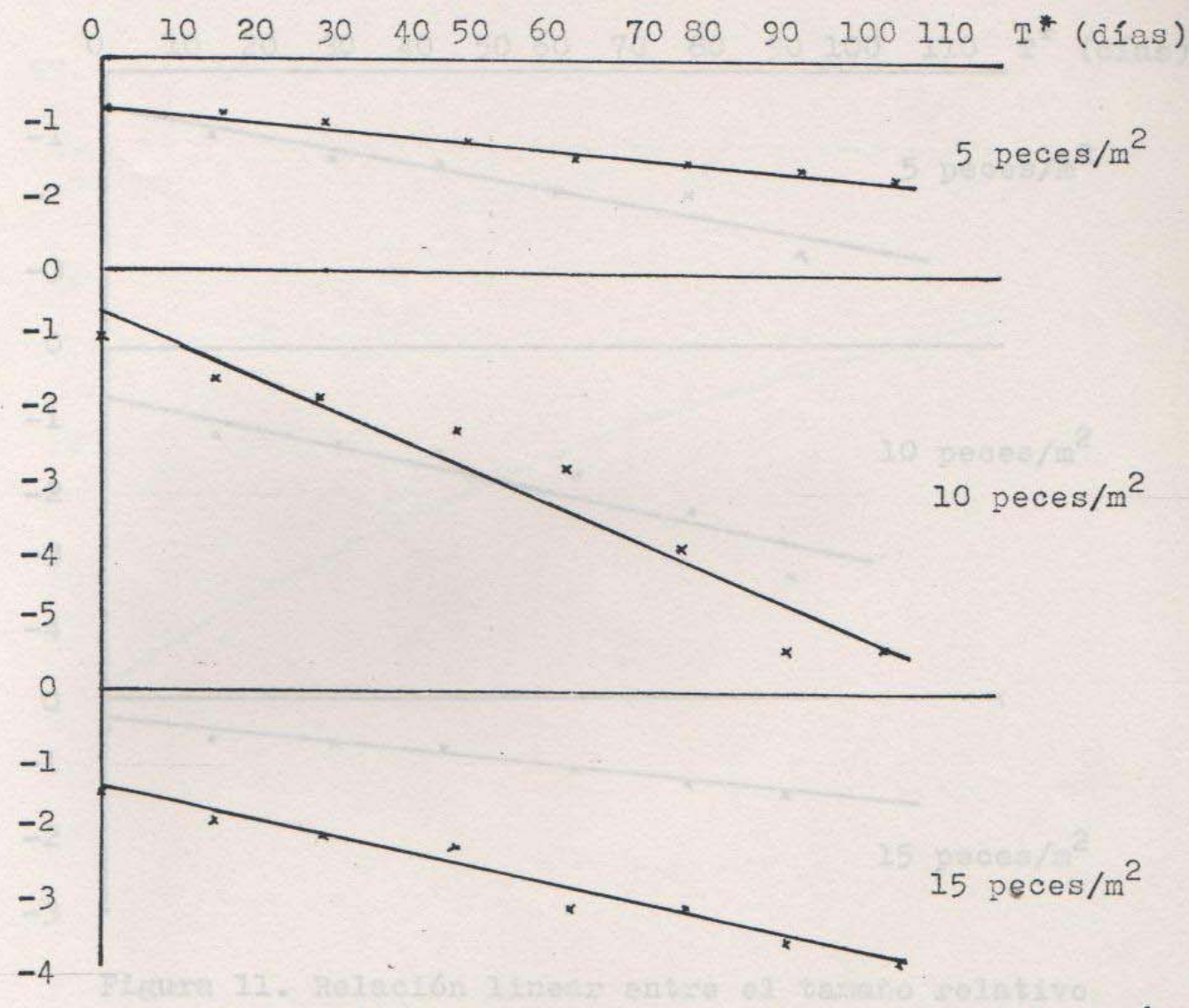


Figura 10. Relación linear entre el tamaño relativo (LT) y el tiempo relativo de cultivo (T*) de O. aureus en las diferentes densidades de siembra. Ensayo Nº 1.

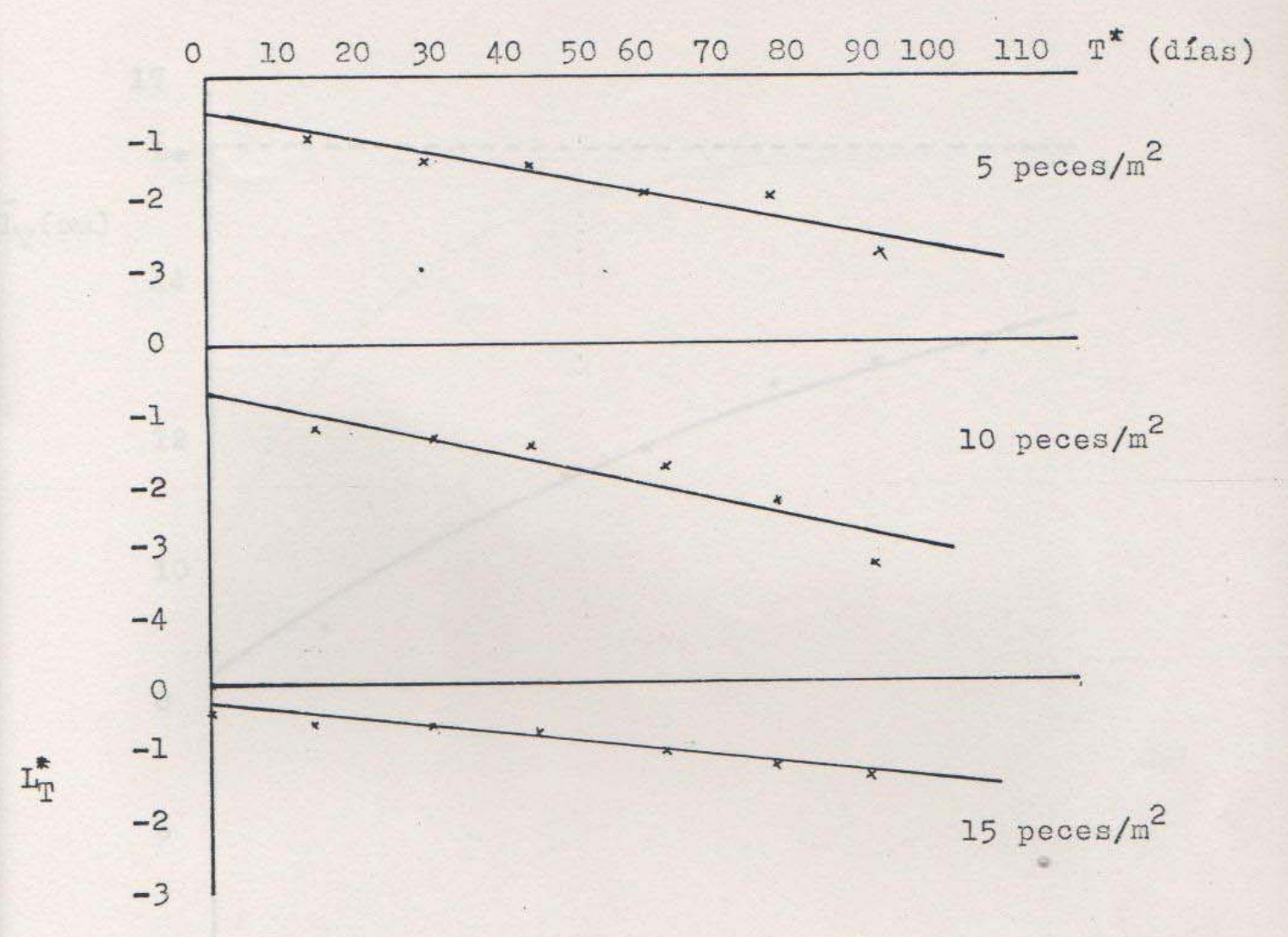


Figura 11. Relación linear entre el tamaño relativo (LT) y el tiempo relativo de cultivo (T*) de O. aureus en las diferentes densidades de siembra. Ensayo Nº 2.

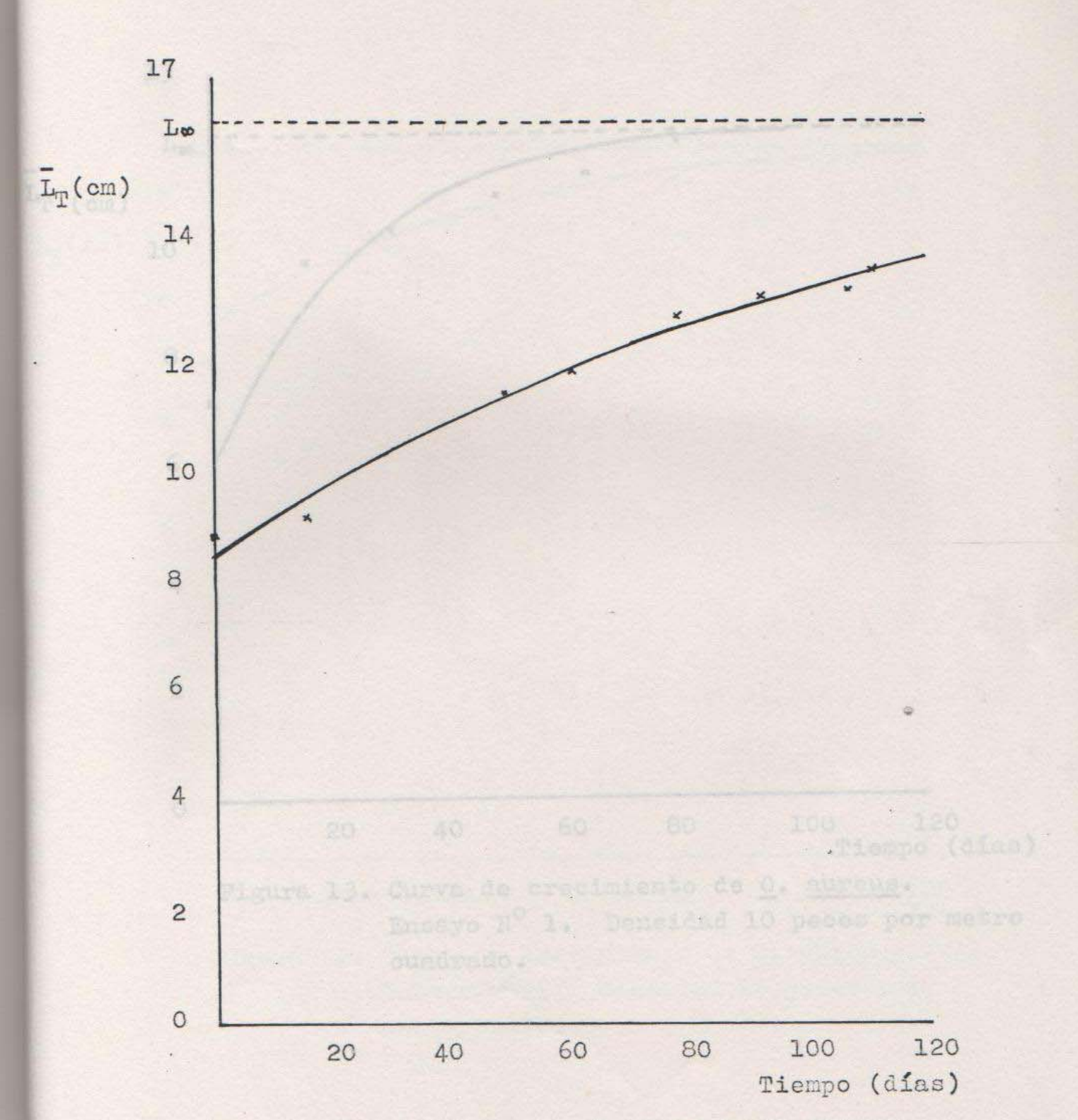


Figura 12. Curva de crecimiento de <u>O</u>. <u>aureus</u>. Ensayo N^O1. Densidad de 5 peces por metro cuadrado.

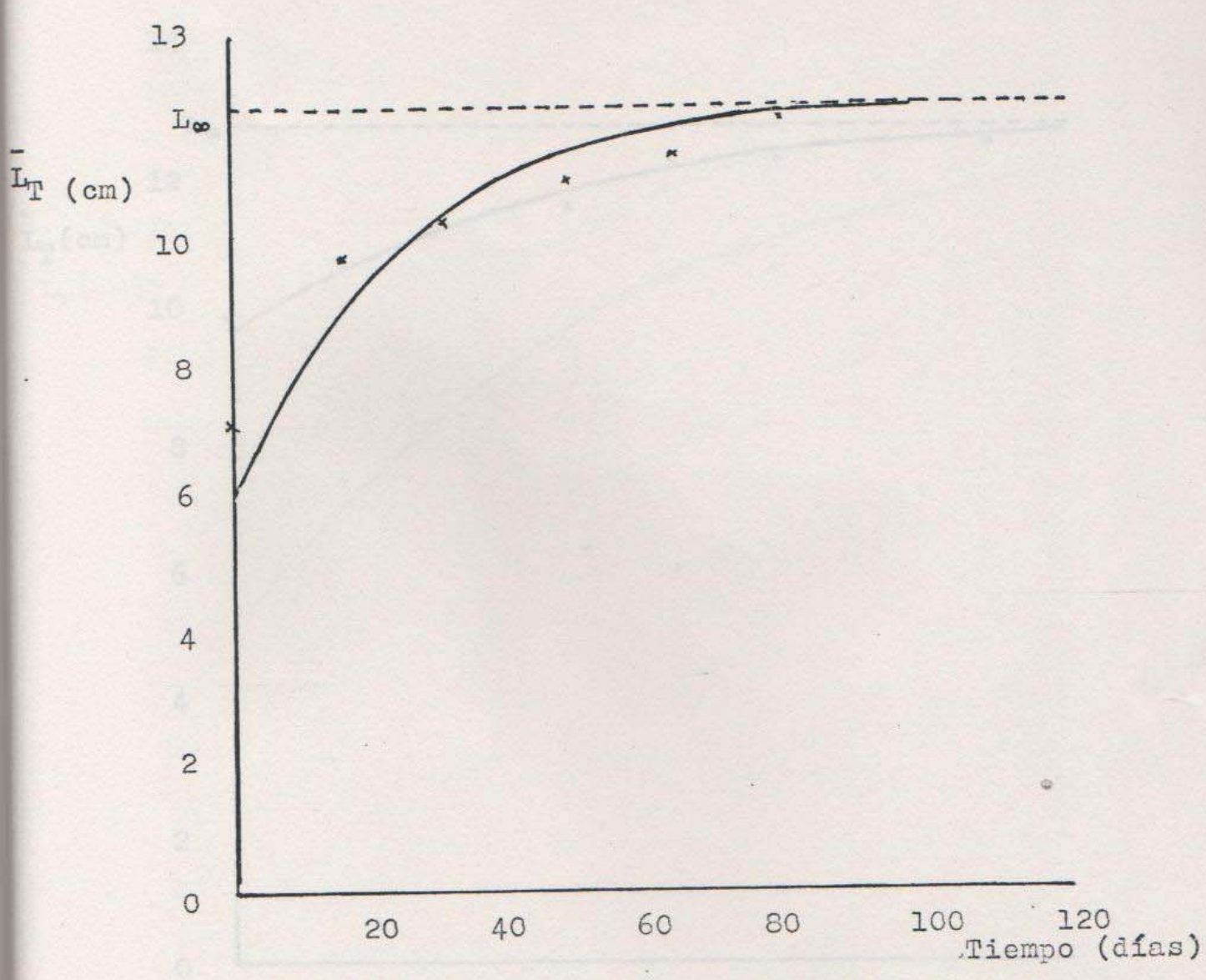


Figura 13. Curva de crecimiento de <u>O</u>. <u>aureus</u>. Ensayo N^O 1. Densidad 10 peces por metro cuadrado.

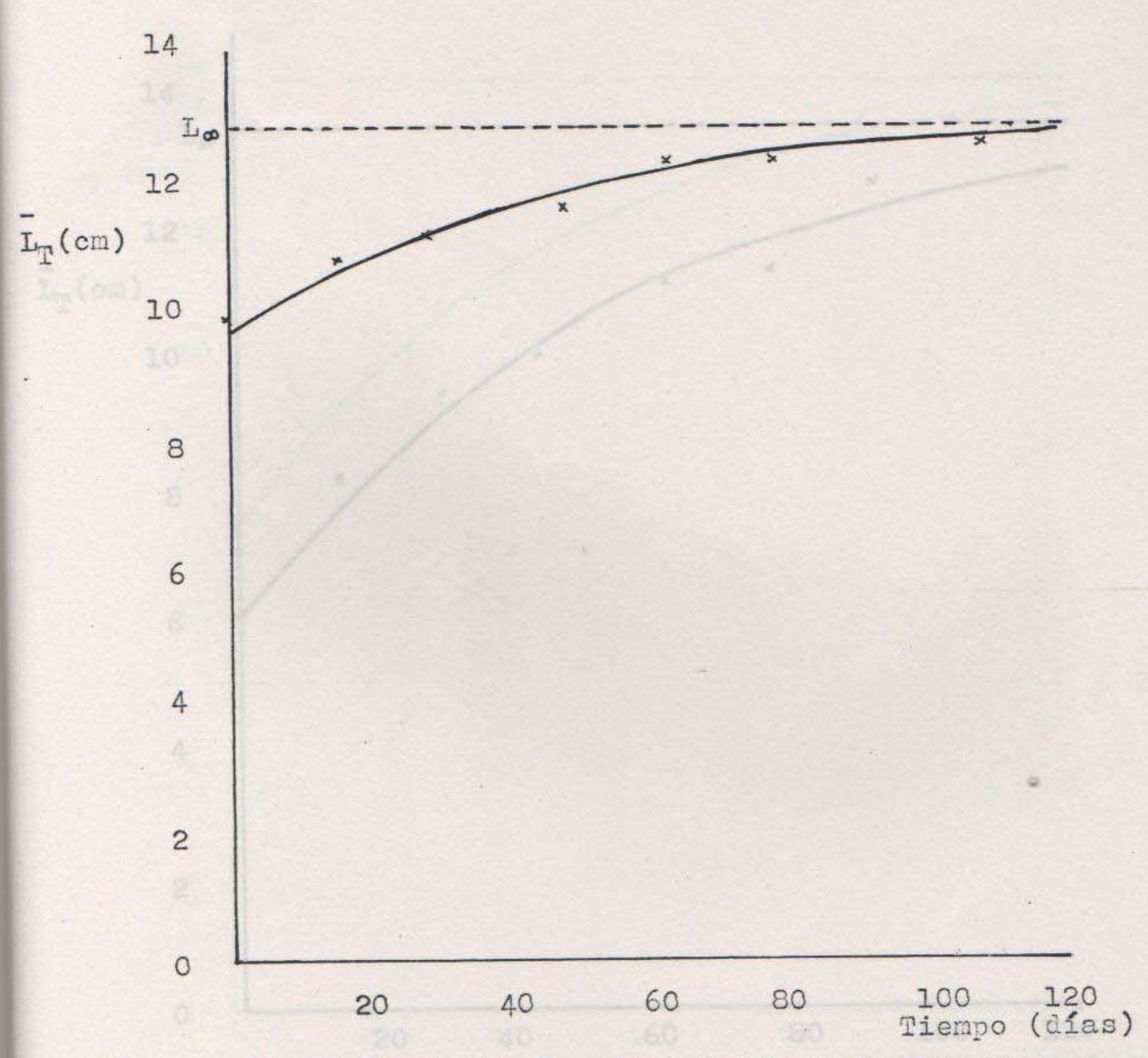


Figura 14. Curva de crecimiento de <u>O</u>. <u>aureus</u>.

Ensayo N^O 1. Densidad 15 peces por metro cuadrado.

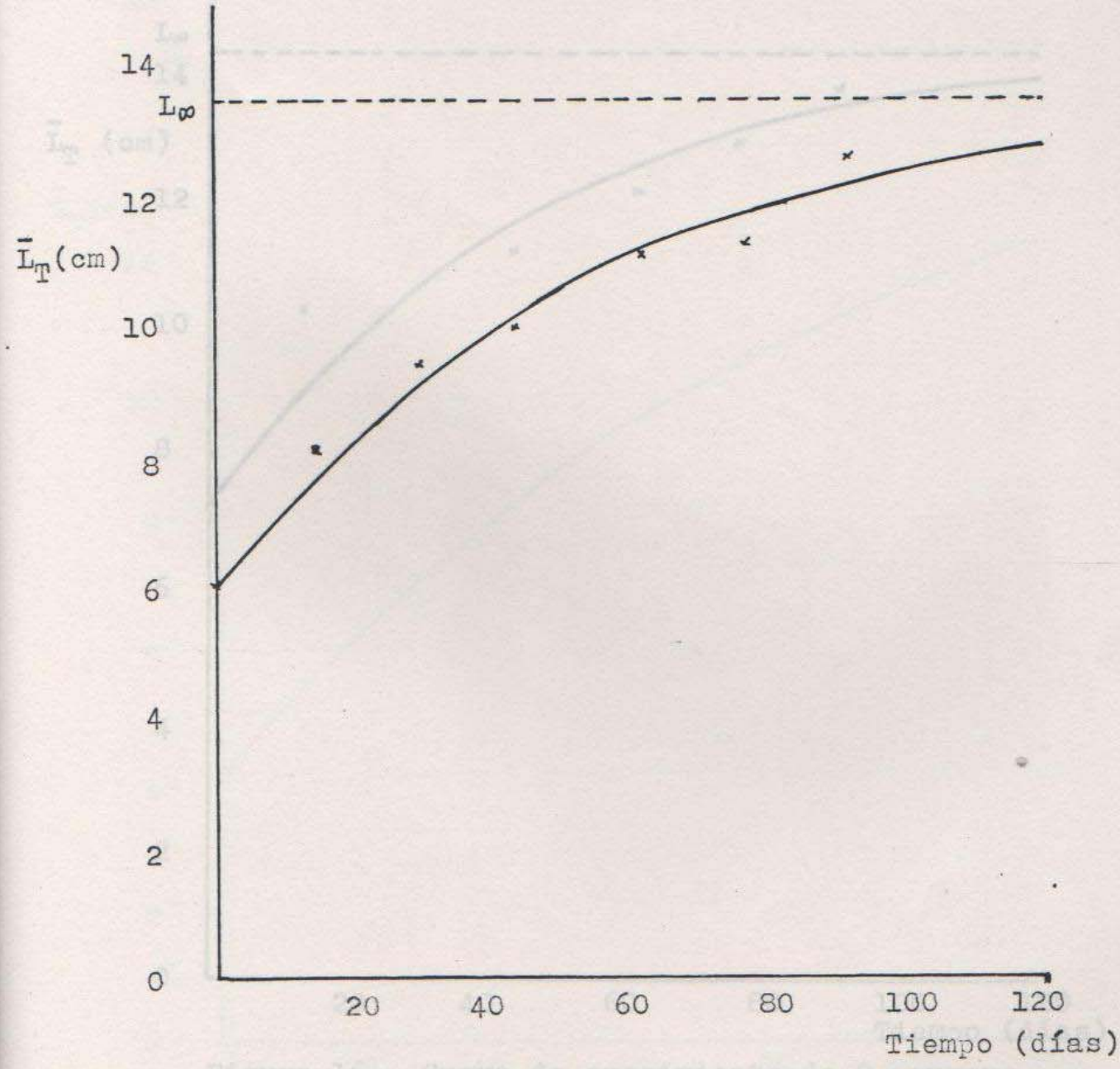


Figura 15. Curva de crecimiento de <u>O. aureus</u>.

Ensayo N^O 2. Densidad 5 peces por metro cuadrado.

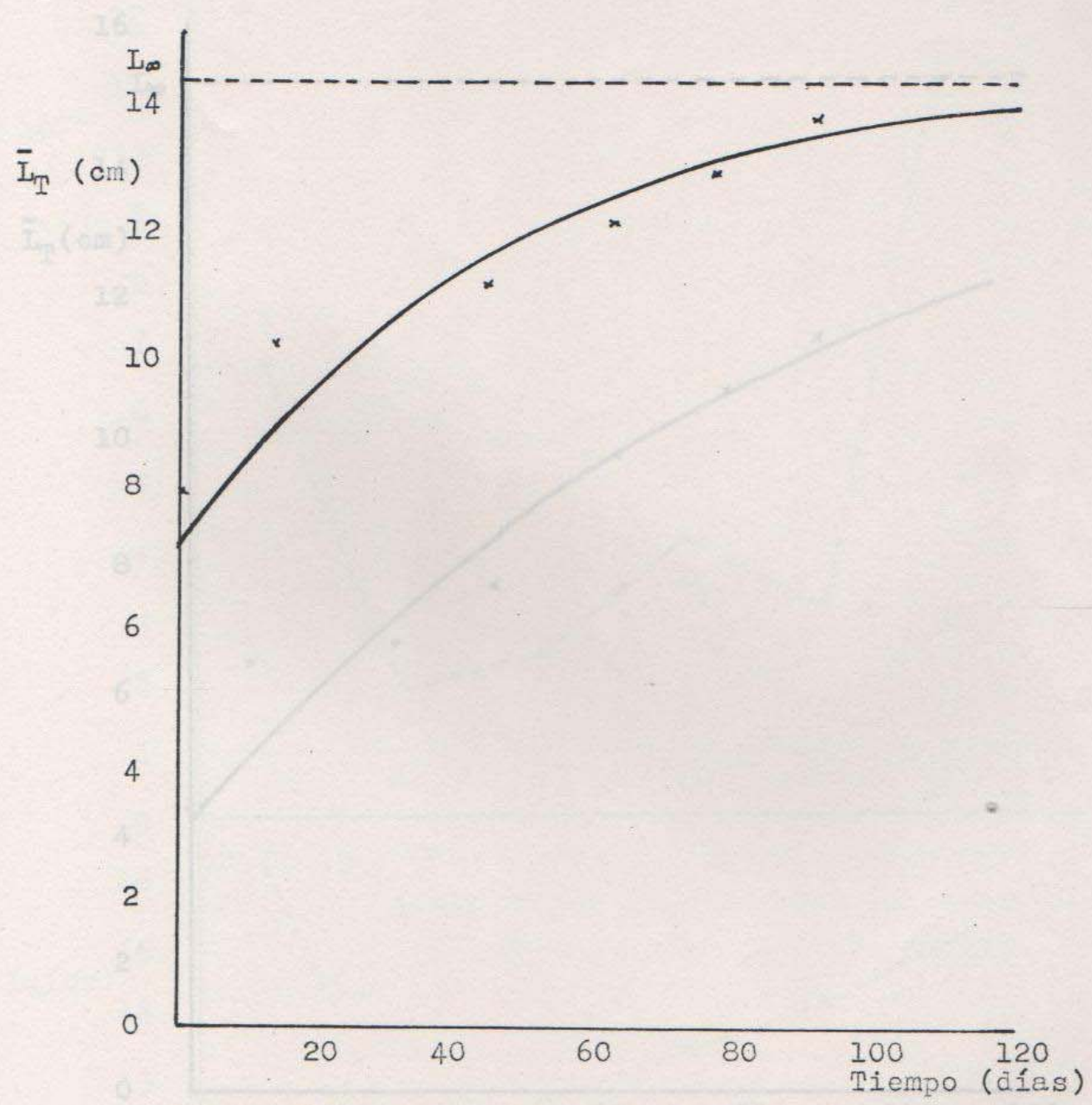
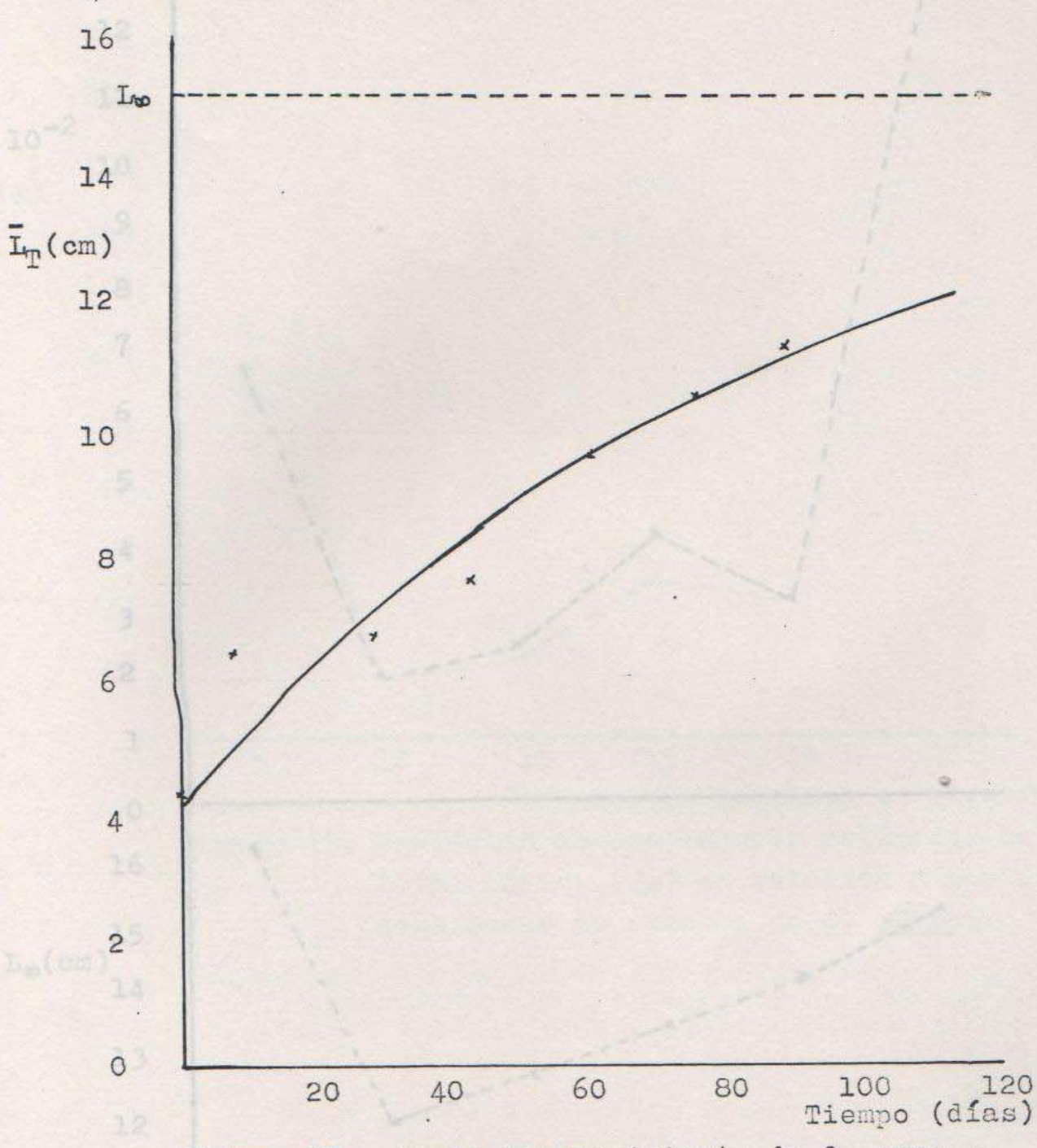


Figura 16. Curva de crecimiento de <u>O</u>. <u>aureus</u>. Ensayo N^O 2. Densidad 10 peces por metro cuadrado.



Curva de crecimiento de O. aureus. Figura 17. Ensayo Nº 2. Densidad 15 peces por metro cuacrado.

tamaño sáriso (L.) y del factor de condi-ción medio (3) en relación a las diferentes dessidades de sis tra de Q. cureus.

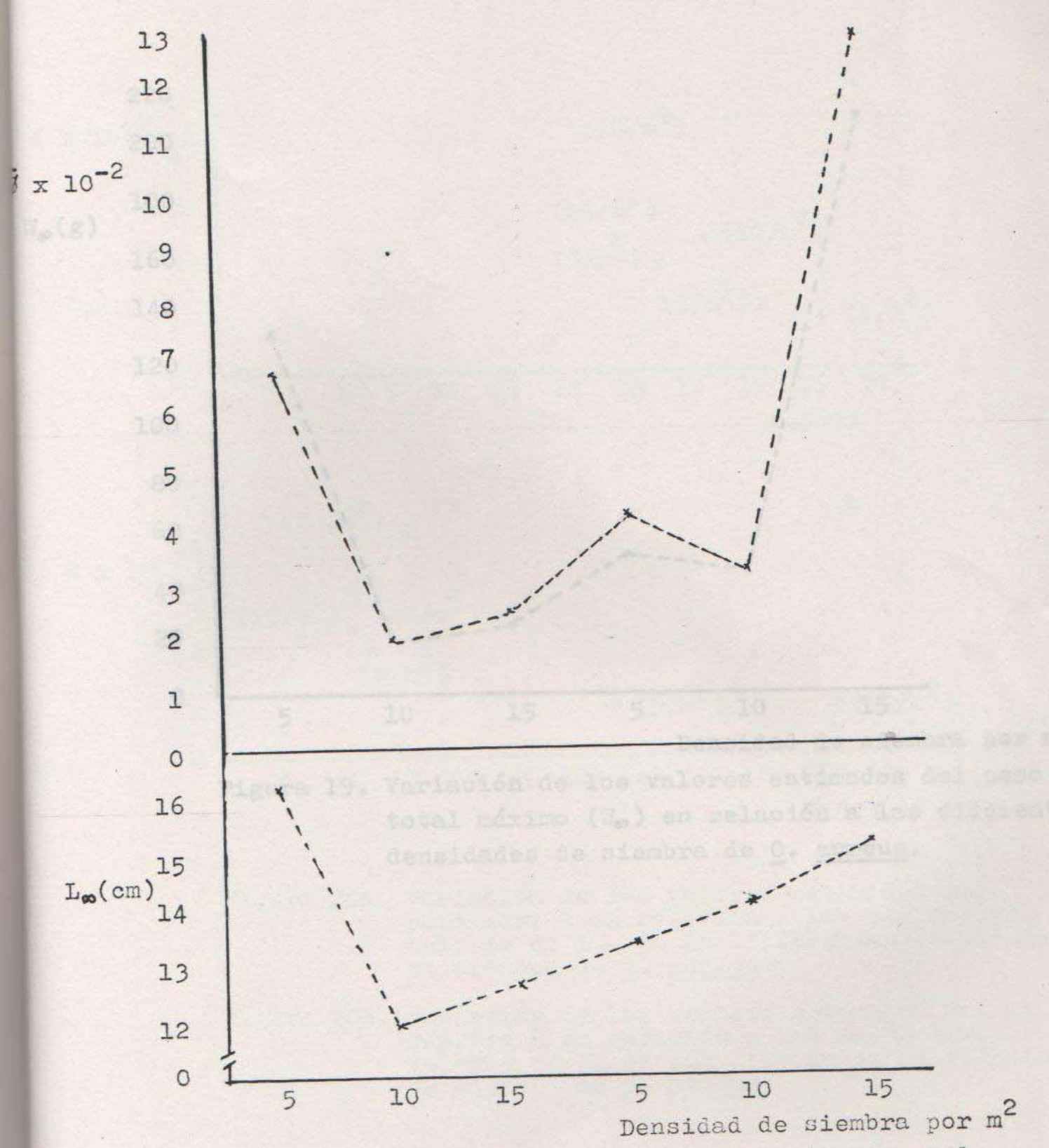


Figura 18. Variación de los valores estimados del tamaño máximo (L_∞) y del factor de condición medio (Ø) en relación a las diferentes densidades de siembra de O. aureus.

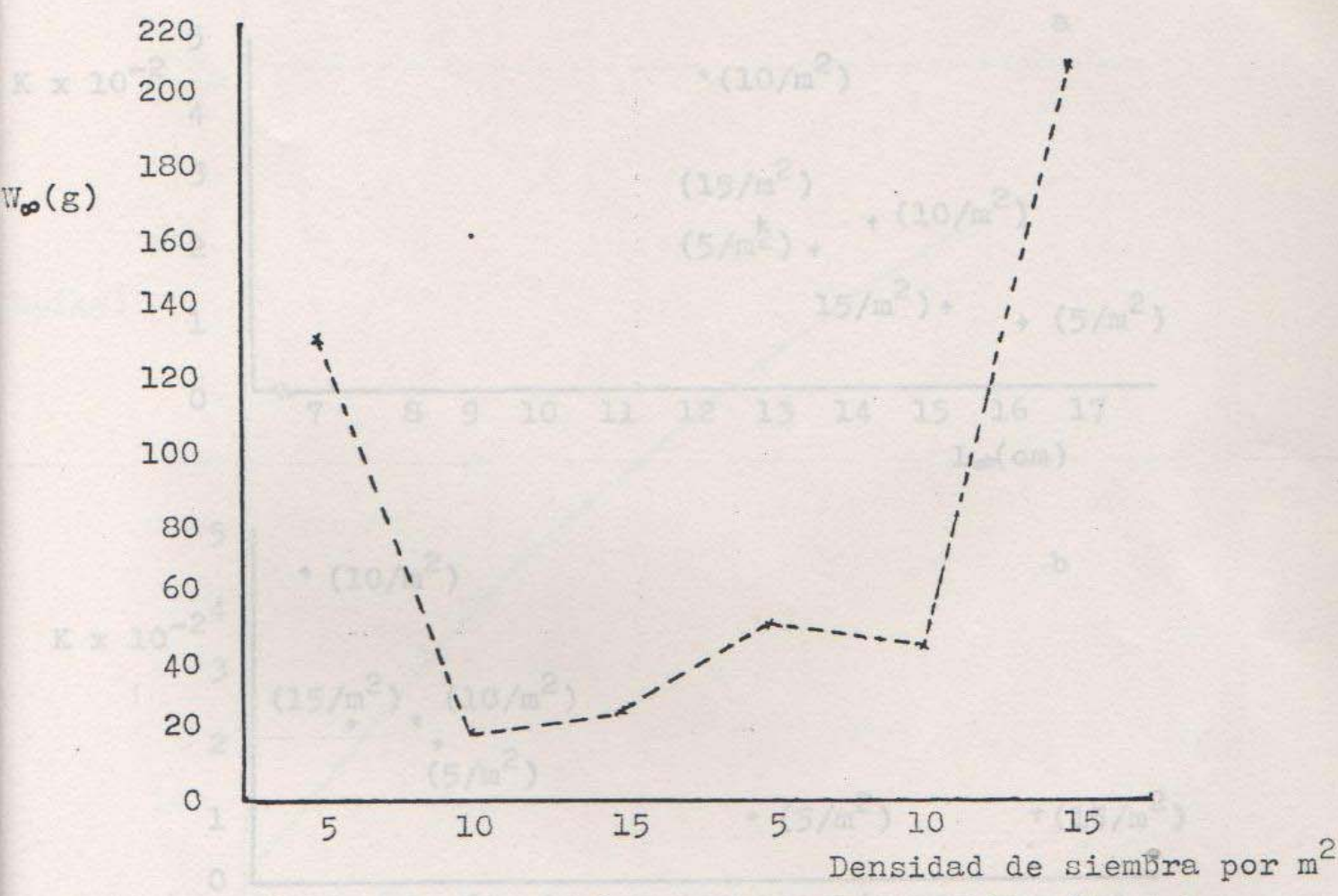


Figura 19. Variación de los valores estimados del peso total máximo (W.) en relación a las diferentes densidades de siembra de O. aureus.

parametro K en relación a los valores do Las en las diferen

rimetro K en reinción a los respectos de Valores de Va en los diferentes de

de aleabra de g. aureur

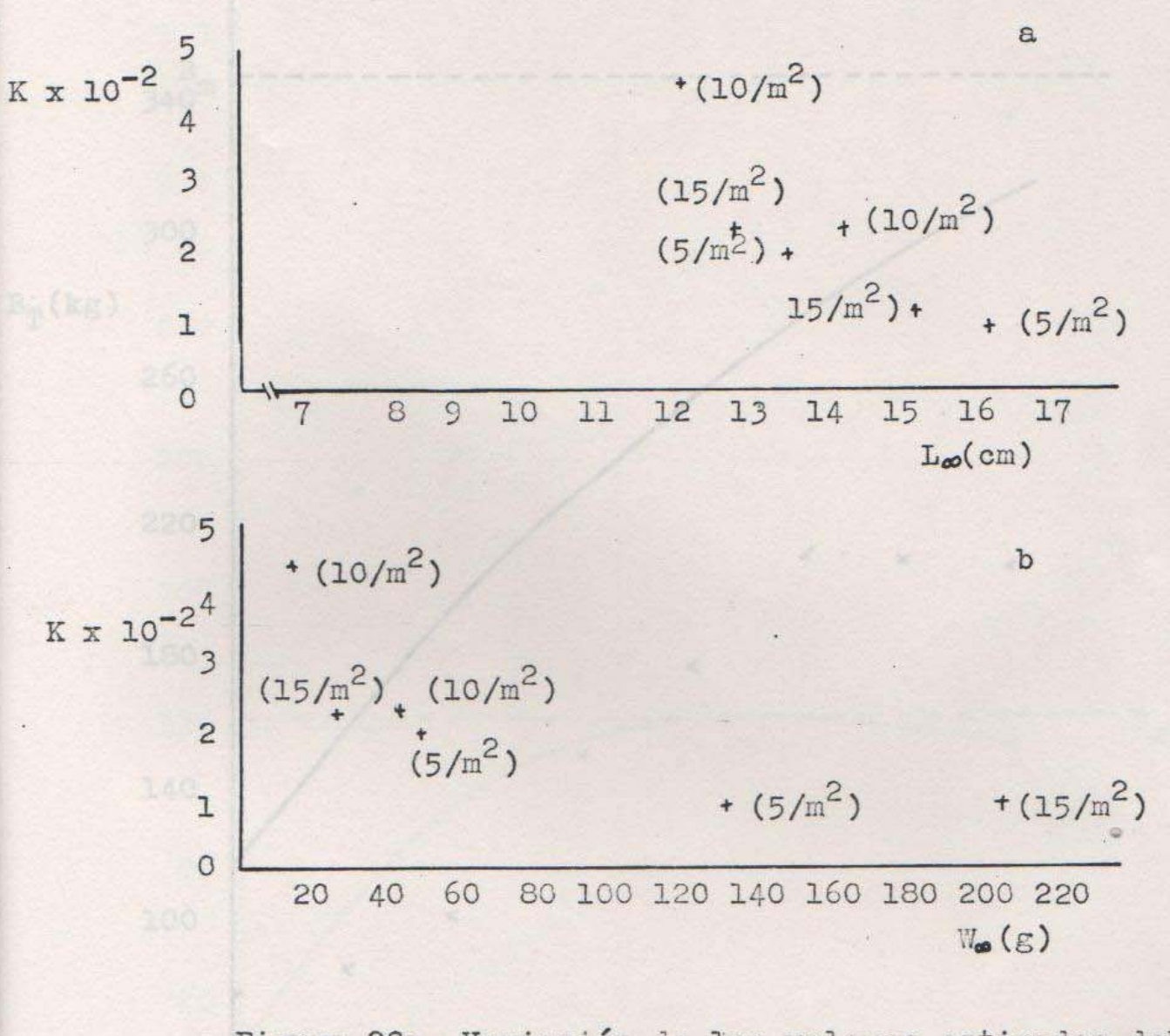


Figura 20a. Variación de los valores estimados del parámetro K en relación a los respectivos valores de L. en las diferentes densidades de siembra de O. aureus.

Figura 20b. Variación de los valores estimados del parámetro K en relación a los respectivos valores de Wo en las diferentes densidades de siembra de O. aureus

Figure 21. Curve de o

Coreyo 10 1. benzicad 5

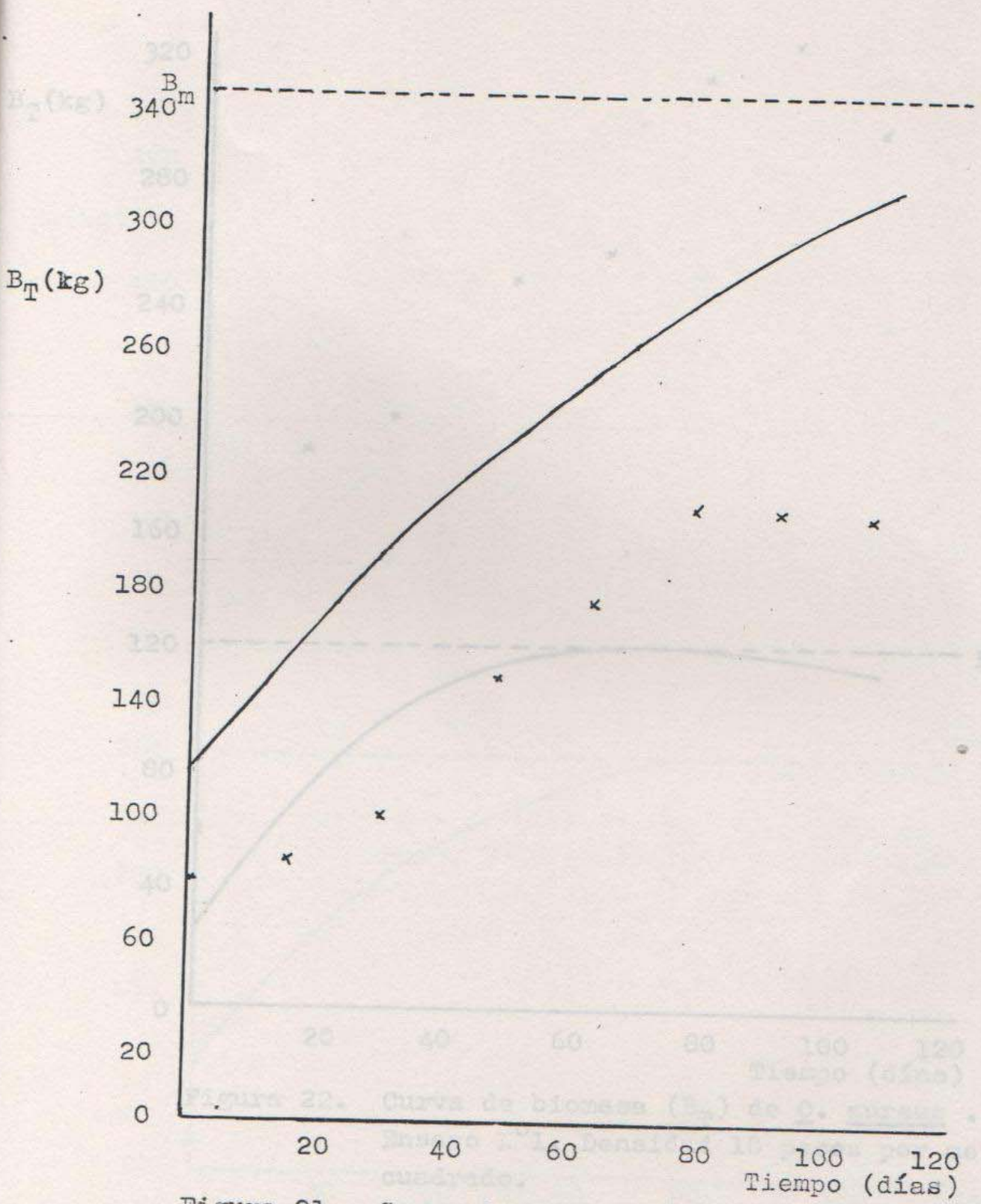
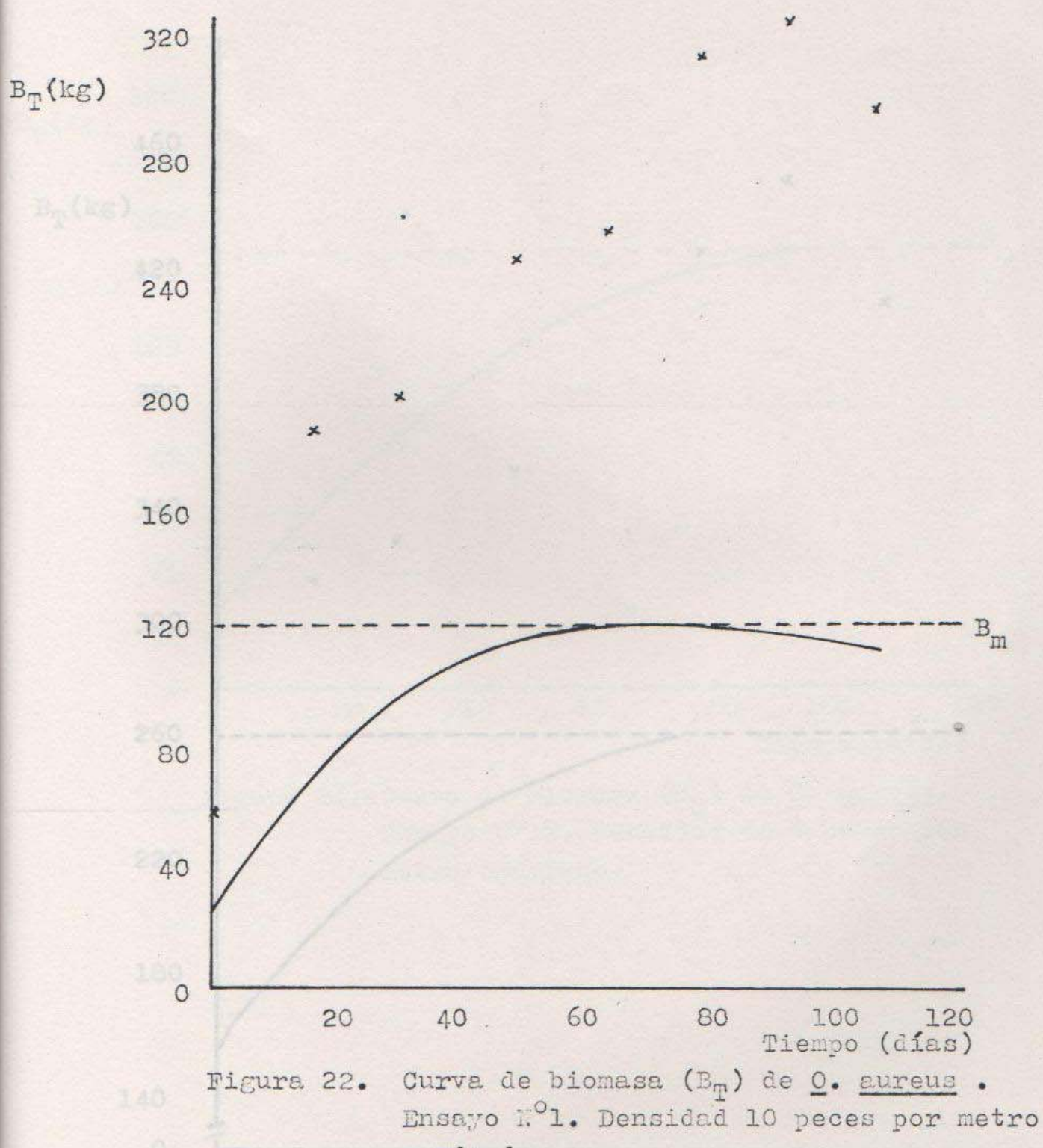


Figura 21. Curva de biomasa (B_T) de <u>O. aureus</u>.

Ensayo 1º 1. Densidad 5 peces por metro cuadrado.



cuadrado.

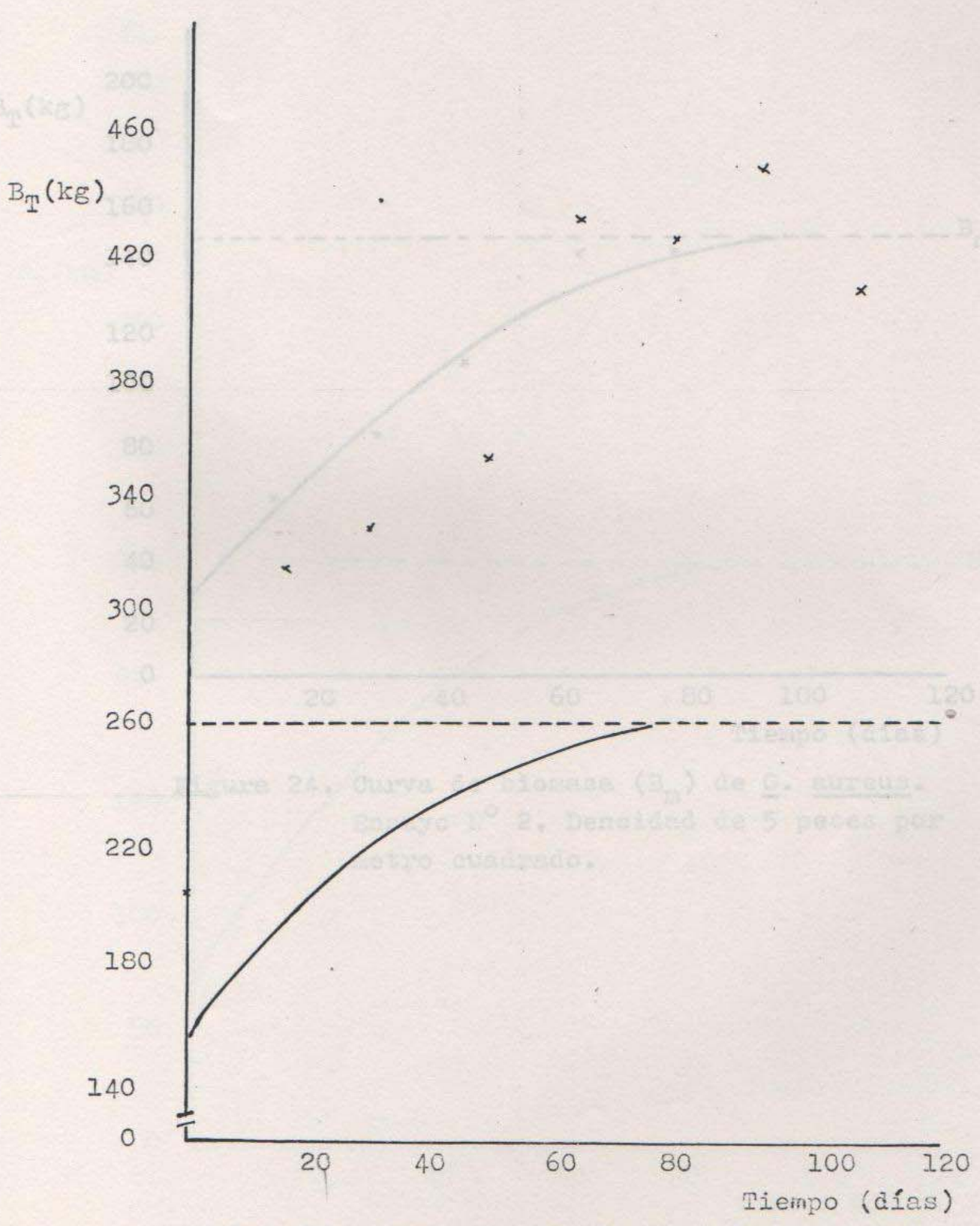


Figura 23. Curva de biomasa (B_T) de <u>O. aureus</u>.

Ensayo N^Ol. Densidad 15 peces por metro cuadrado.

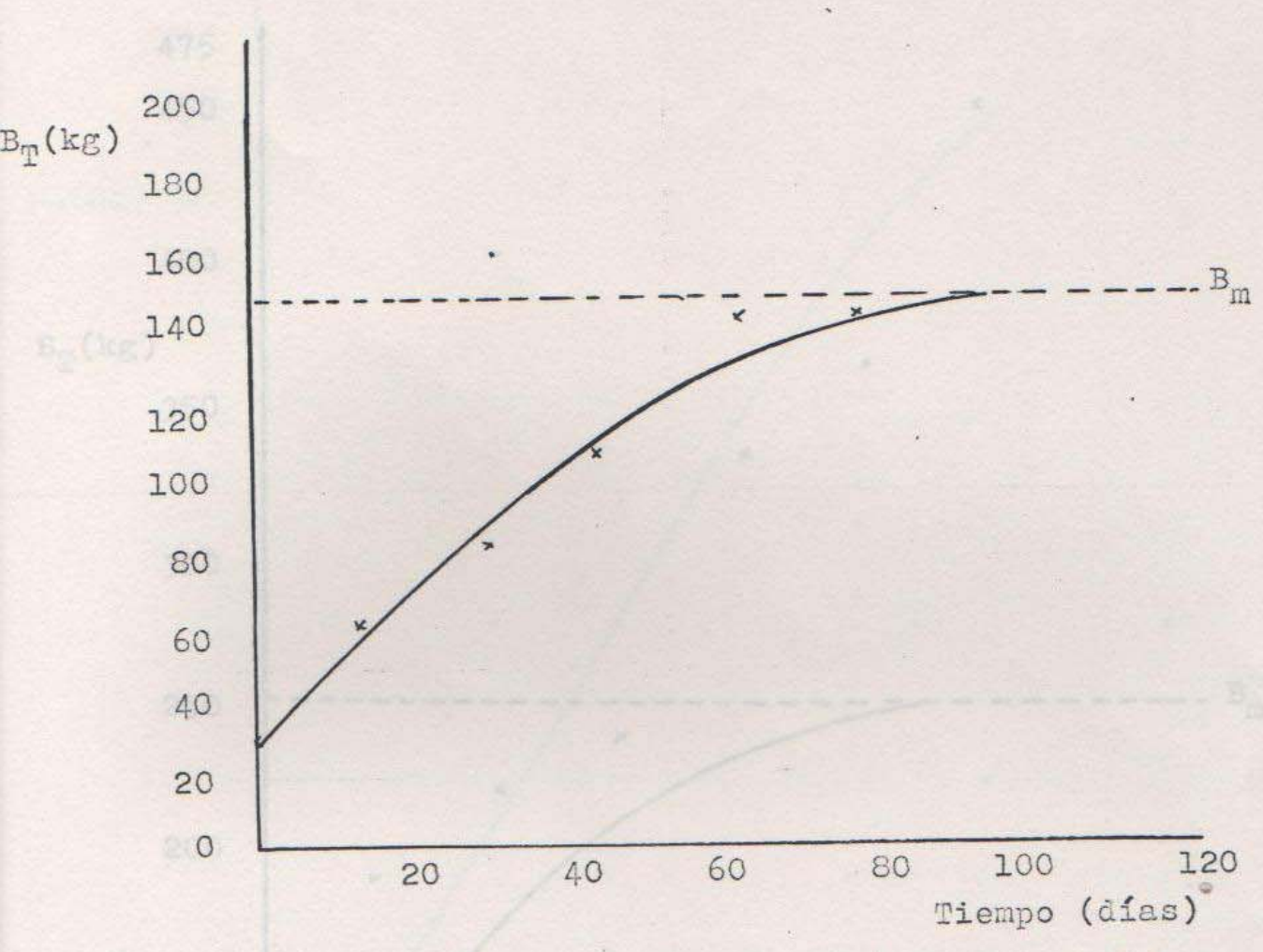


Figura 24. Curva de biomasa (Bm) de O. aureus.

Ensayo Nº 2. Densidad de 5 peces por metro cuadrado.

1.00

50

201

. Curvo do bionasa

mindrania

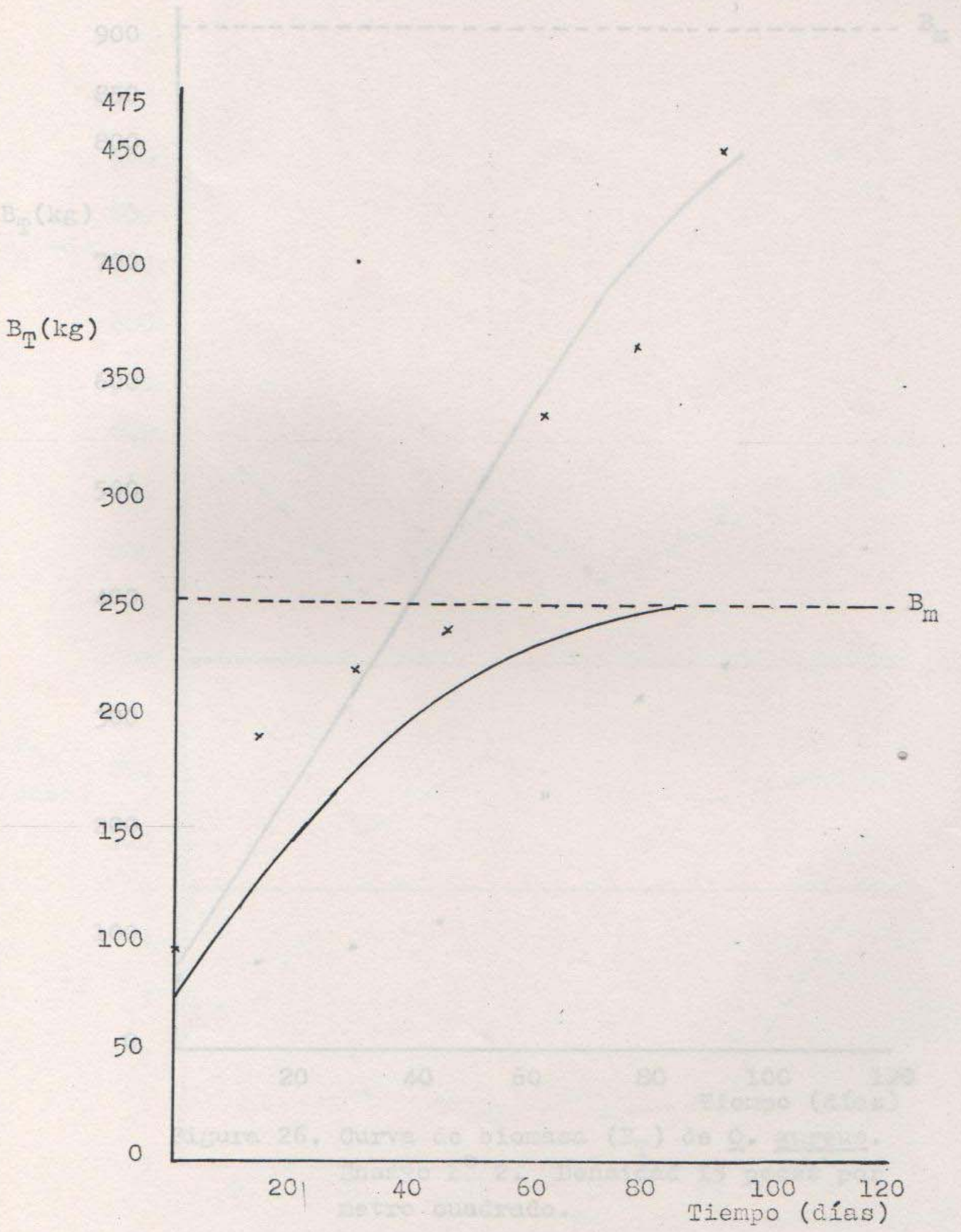


Figura 25. Curva de biomasa (B_T) de <u>O. aureus</u>.

Ensayo Nº 2. Densidad 10 peces por retro cuadrado.

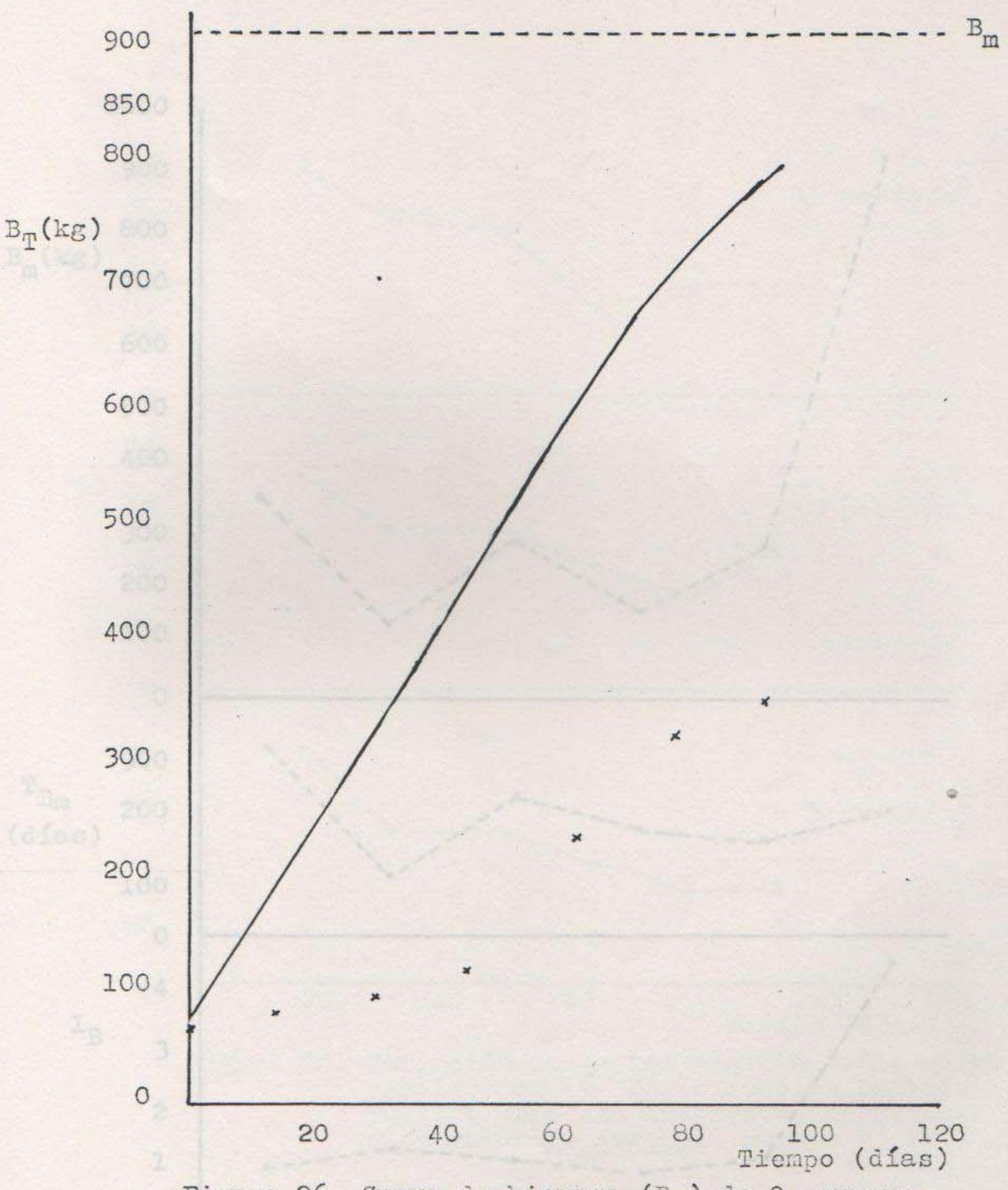


Figura 26. Curva de biomasa (B_T) de <u>O. aureus</u>.

Ensayo N^O 2. Densidad 15 peces por metro cuadrado.

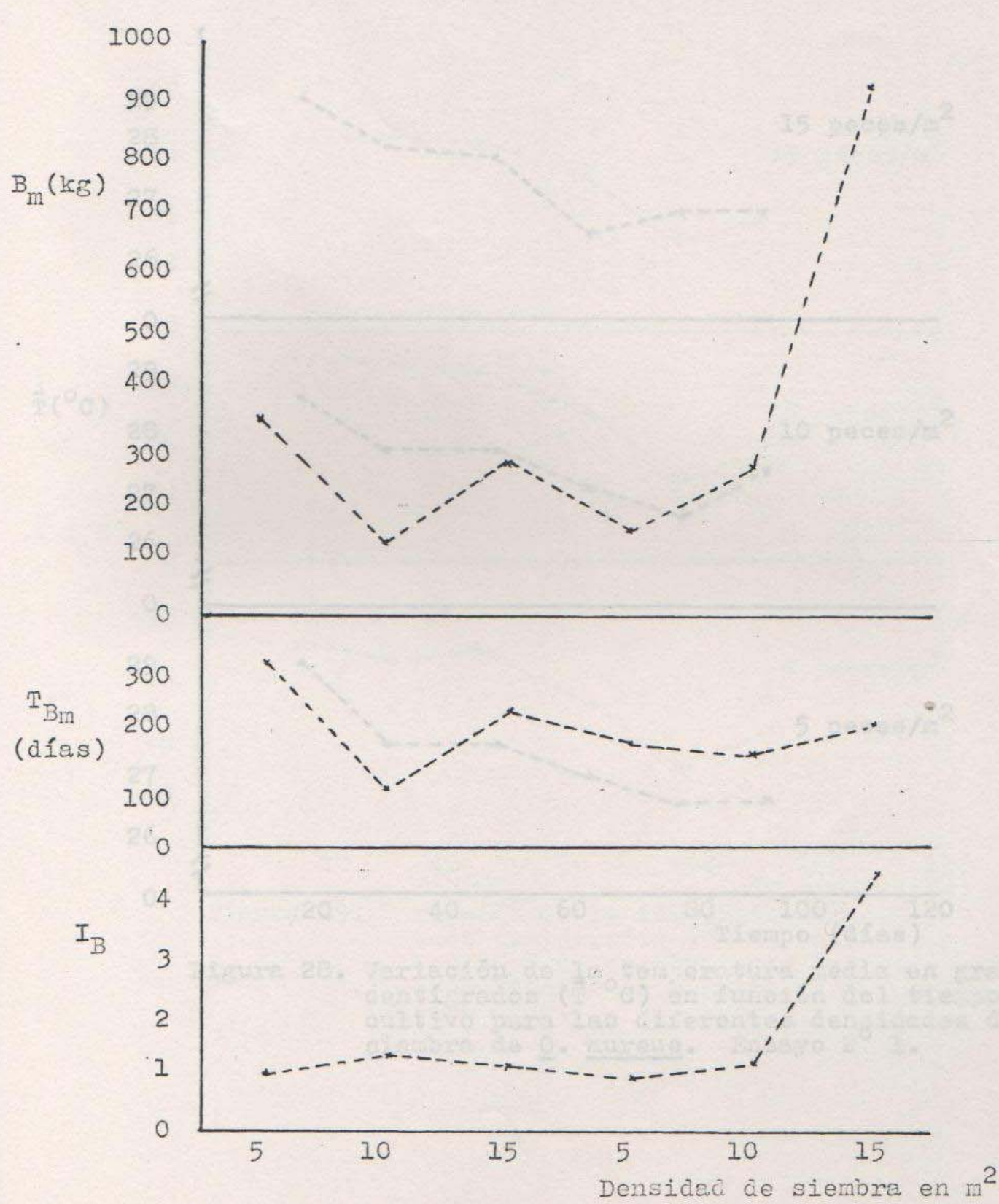


Figura 27. Variación de los valores estimados de biomasa máxima(Bm), tiempo de biomasa máxima (TBm) e índice de rendimiento en biomasa (IB) para O. aureus en las diferentes densidades de siembra.

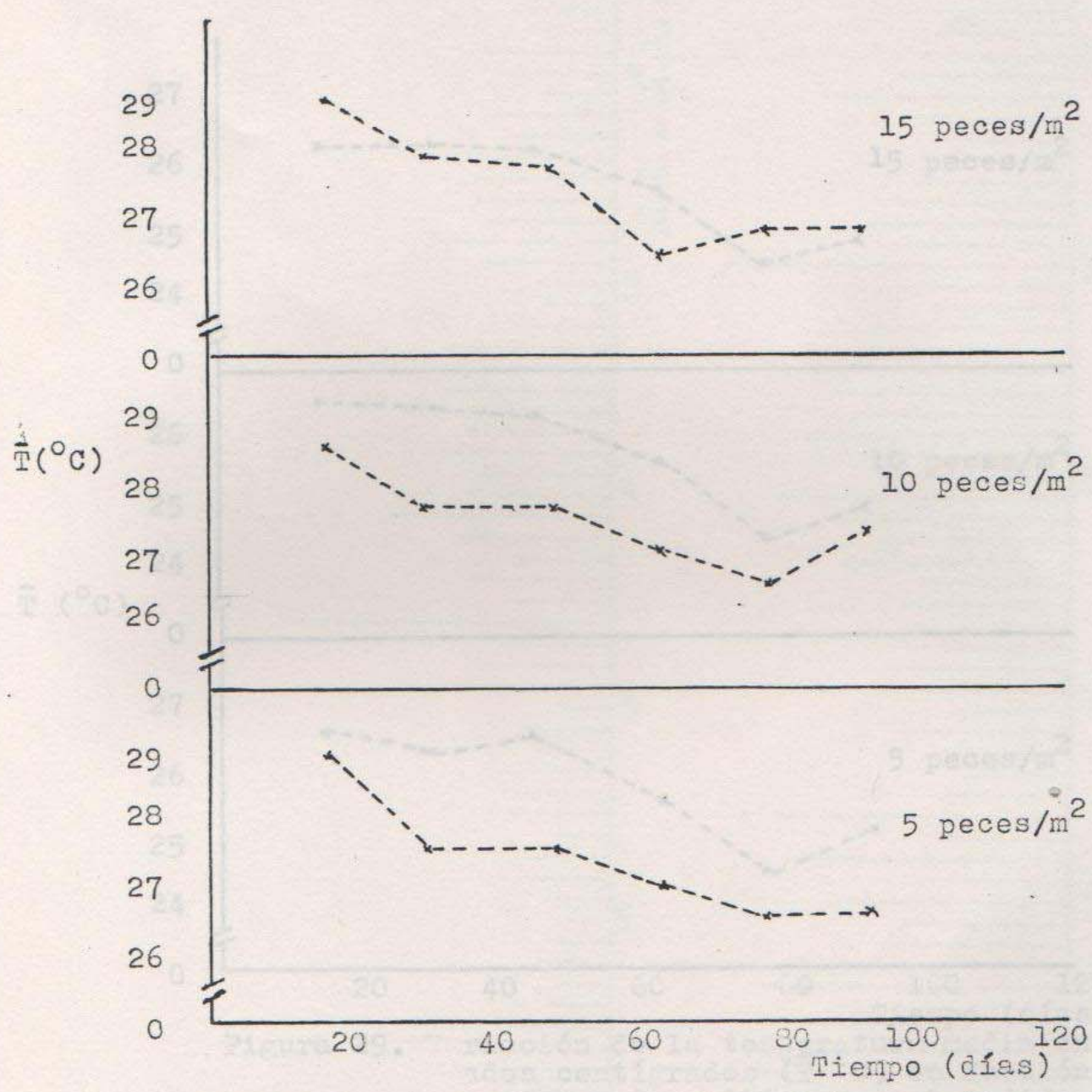


Figura 28. Variación de la temperatura media en grados centígrados (T C) en función del tiempo de cultivo para las diferentes densidades de siembra de O. aureus. Ensayo N 1.

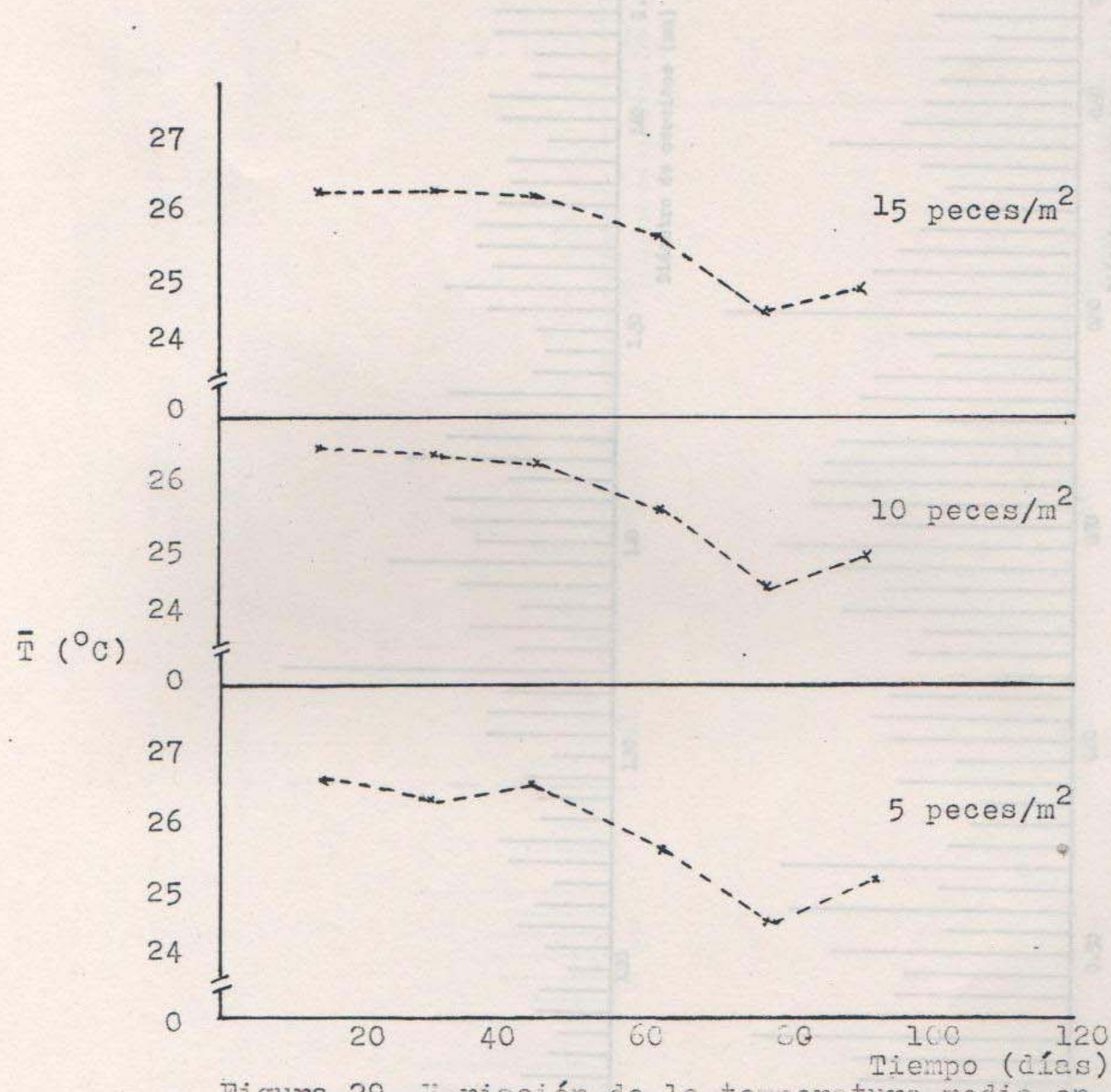
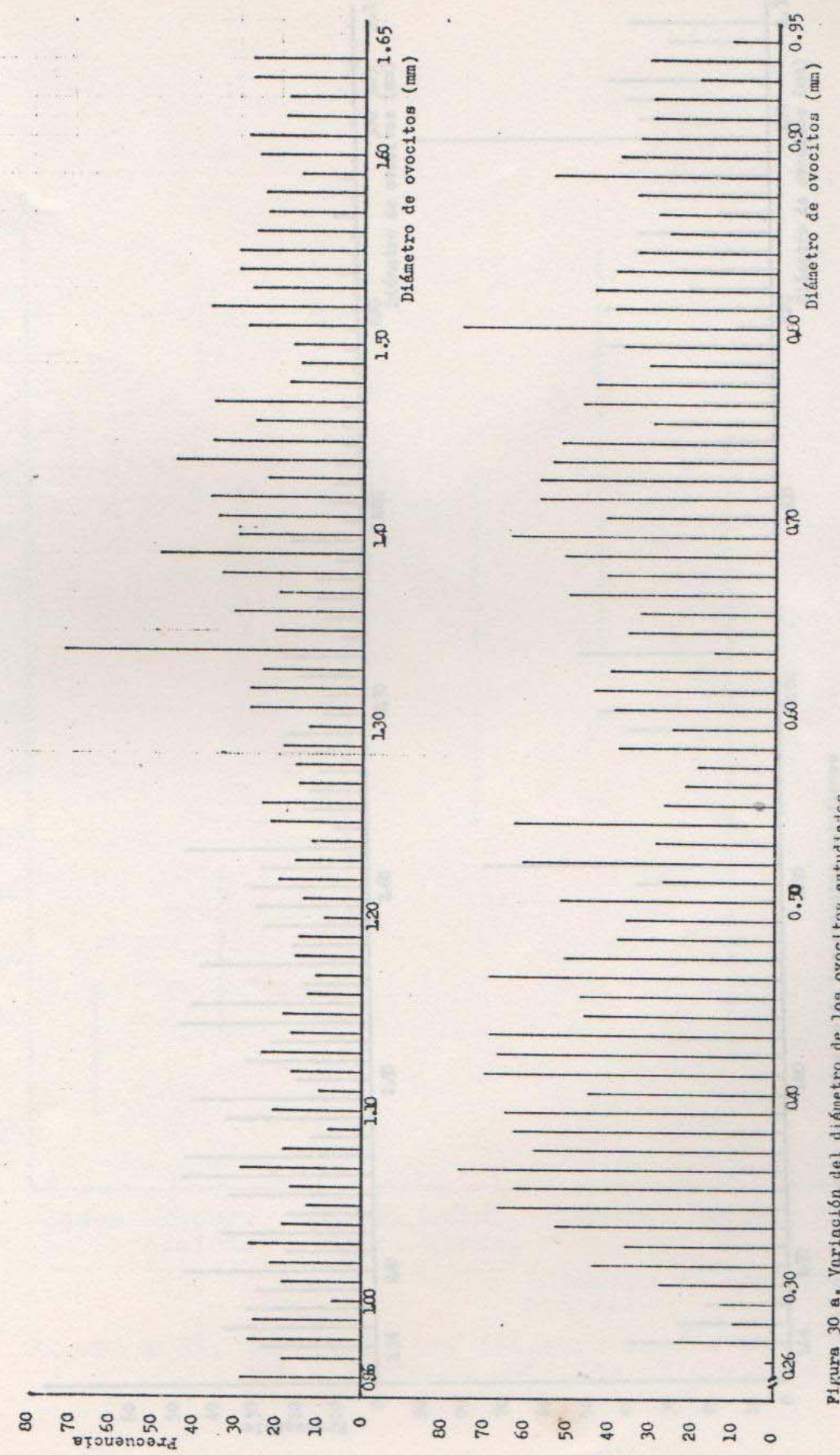
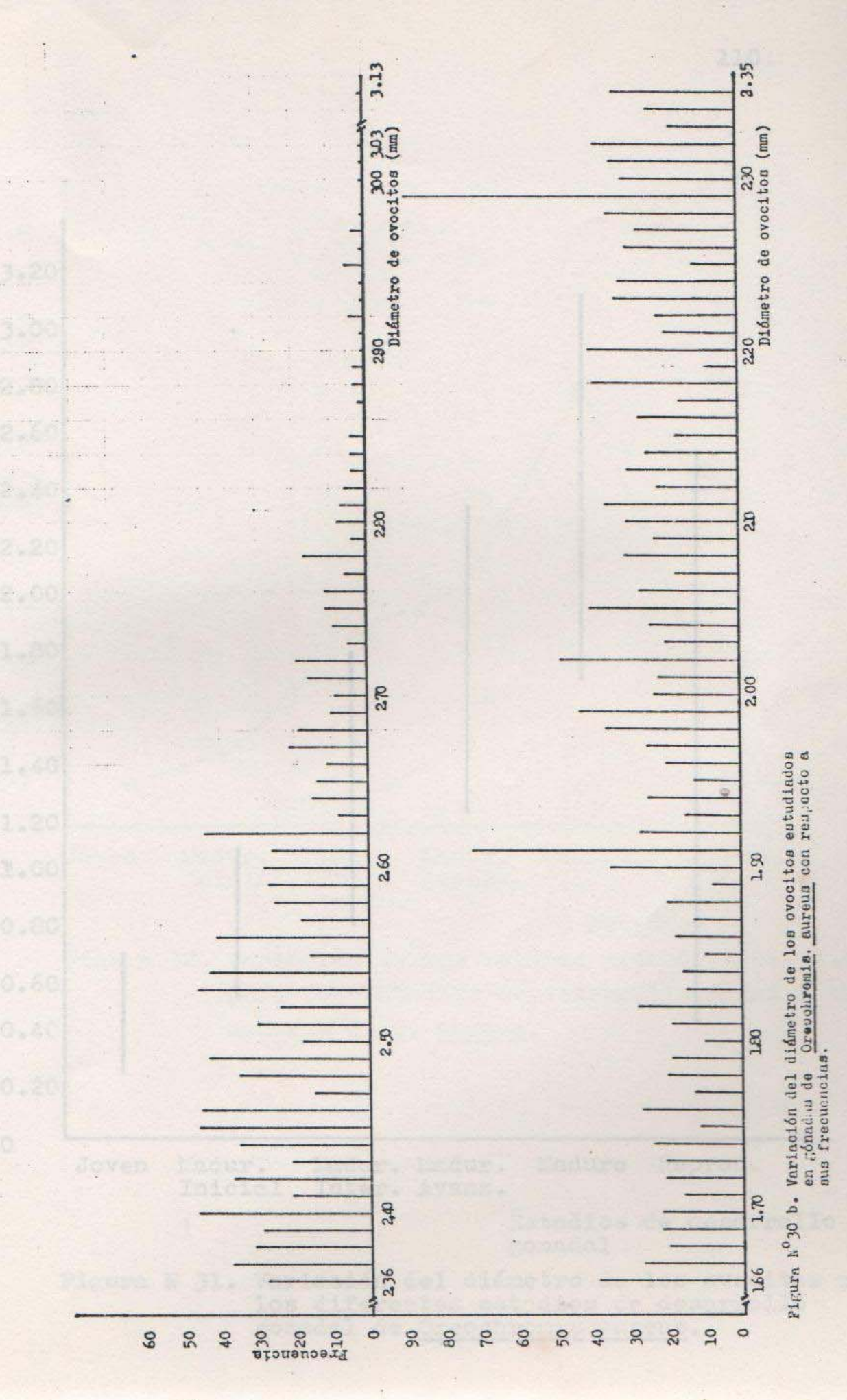


Figura 29. Triación de la temperatura media en ados centígrados (TC) en función l tiem o de cultivo para las diferen s densidades de siembra de C. aureus. Ensayo N 2.



Pigura 30 a. Variación del diámetro de los ovocitos estudiados en gónadas de Orecohrosia aureus con respecto a sus frecuen ias



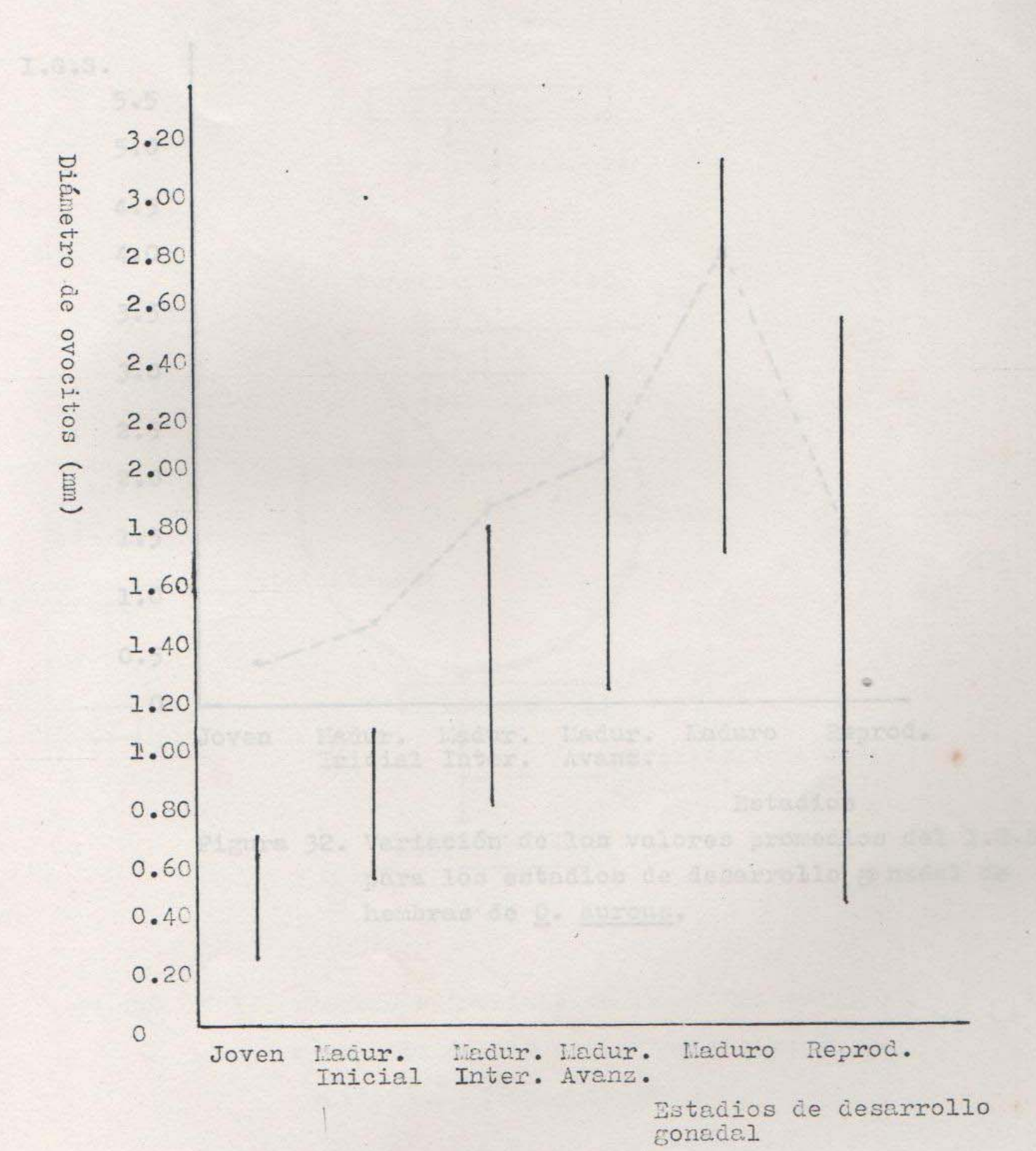


Figura N 31. Variación del diámetro de los ovocitos para los diferentes estadios de desarrollo gonadal de Oreochromis aureus.

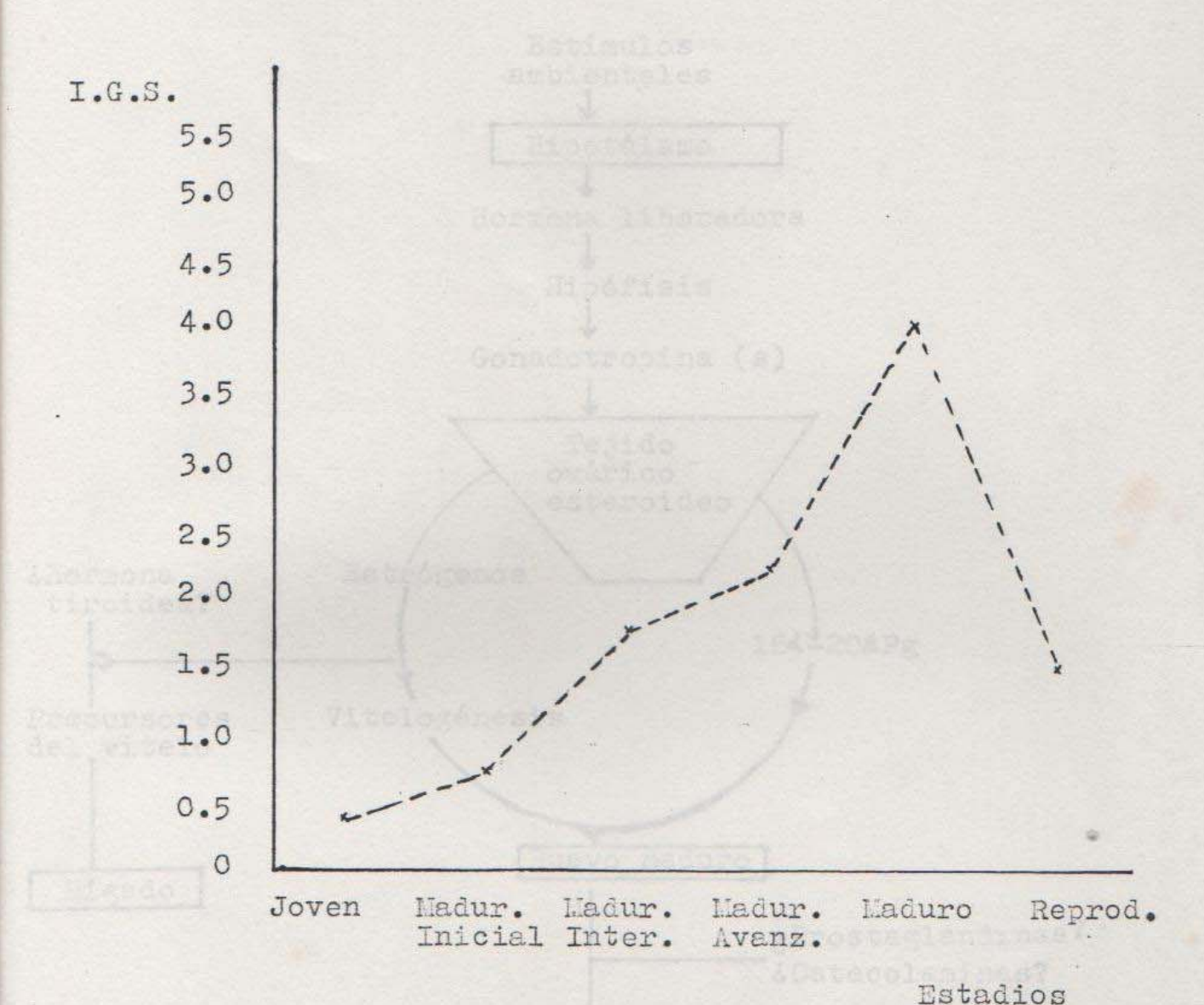


Figura 32. Variación de los valores promedios del I.G.S. para los estadios de desarrollo gonadal de hembras de Q. aureus.

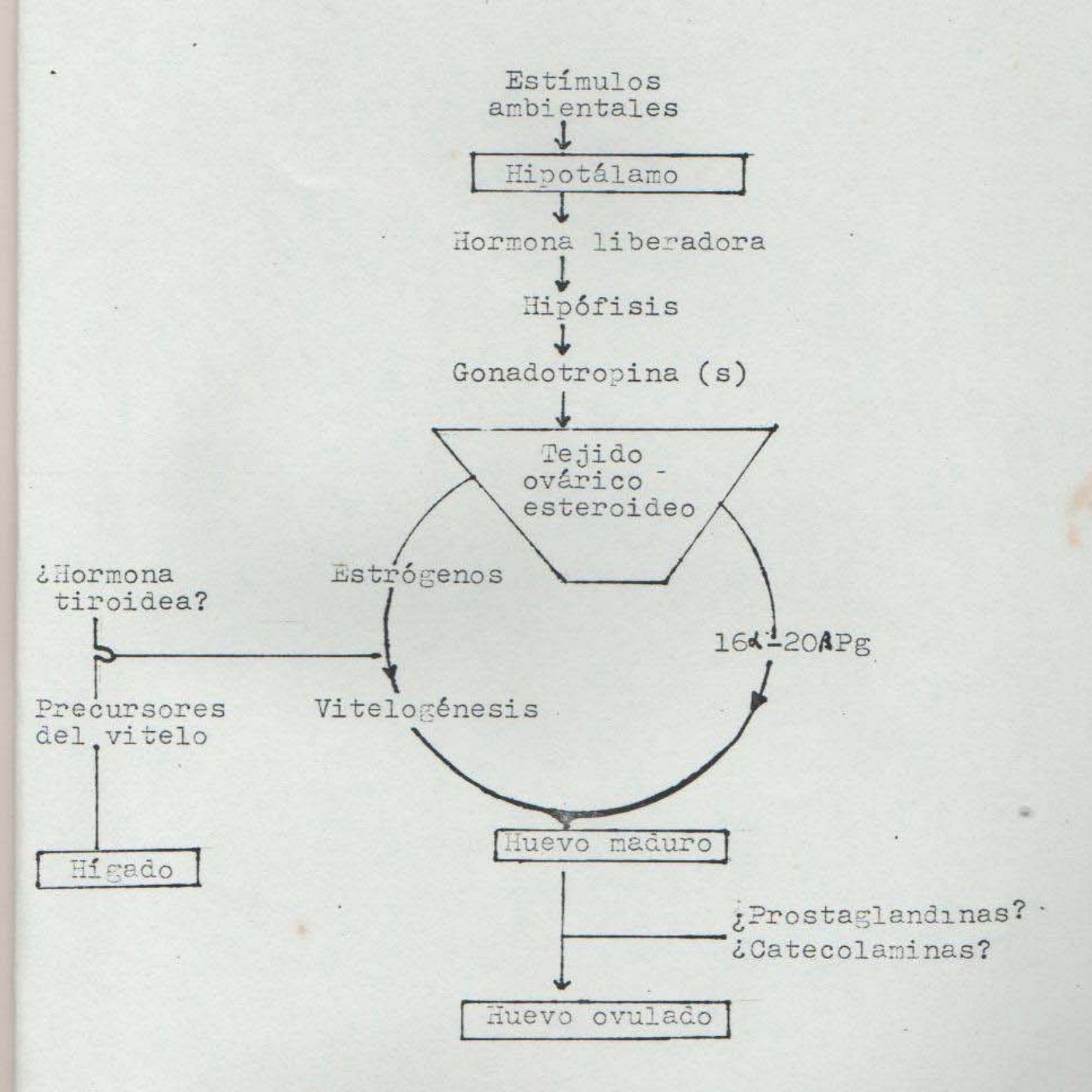


Figura Nº 33. Enlaces endocrinos de la cadena entre la recepción de los estímulos ambientales y la ovulación. Tomado de Harvey and Hoar (1980)